



hochschule mannheim

**Analyse der Netzwerkkommunikation in  
Industrie 4.0 Umgebungen und Erweiterung  
einer protoypischen Security Testumgebung  
zur Darstellung von Bedrohungsfaktoren**

Philipp Minges

Bachelor-Thesis

zur Erlangung des akademischen Grades Bachelor of Science (B.Sc.)

Studiengang Informatik

Fakultät für Informatik

Hochschule Mannheim

15.07.2018

Betreuer

Prof. Dr. Sachar Paulus, Hochschule Mannheim

Prof. Dr. Maximilian Hauske, Hochschule Mannheim

**Minges, Philipp:**

Analyse der Netzwerkkommunikation in Industrie 4.0 Umgebungen und Erweiterung einer protoypischen Security Testumgebung zur Darstellung von Bedrohungsfaktoren / Philipp Minges. –

Bachelor-Thesis, Mannheim: Hochschule Mannheim, 2018. 89 Seiten.

**Minges, Philipp:**

Analysis of network communication in Industry 4.0 environments and extension of a proto-typical security test environment for the presentation of threat factors / Philipp Minges. –

Bachelor Thesis, Mannheim: University of Applied Sciences Mannheim, 2018. 89 pages.

## **Erklärung**

Hiermit erkläre ich, dass ich die vorliegende Arbeit selbstständig verfasst und keine anderen als die angegebenen Quellen und Hilfsmittel benutzt habe.

Ich bin damit einverstanden, dass meine Arbeit veröffentlicht wird, d. h. dass die Arbeit elektronisch gespeichert, in andere Formate konvertiert, auf den Servern der Hochschule Mannheim öffentlich zugänglich gemacht und über das Internet verbreitet werden darf.

Mannheim, 15.07.2018

Philipp Minges



# Abstract

## ***Analyse der Netzwerkkommunikation in Industrie 4.0 Umgebungen und Erweiterung einer protoypischen Security Testumgebung zur Darstellung von Bedrohungsfaktoren***

Nach der Einführung des Begriffs Industrie 4.0 im Jahr 2011 und dem gleichzeitigen Start der 4. industriellen Revolution werden Kommunikationsnetze in der Industrie zur Automatisierung der Produktion von Gütern und dem unternehmensübergreifenden Datenaustausch zur Prozessabwicklung genutzt. In der Folge wurden verschiedene Referenzmodelle und Protokolle zur Standardisierung der Kommunikation in Industrie 4.0 Netzen und der Umsetzung einer sicheren Kommunikation entwickelt. Das Ziel dieser Arbeit ist es, die in der Industrie etablierten Techniken in Bezug auf die Sicherheit der Netzwerkkommunikation zu analysieren und anschließend ein Konzept zu entwickeln, welches es möglich macht anhand von Anwendungsszenarien mögliche Bedrohungen der Vernetzung der Systeme darzustellen.

## ***Analysis of network communication in Industry 4.0 environments and extension of a prototypical security test environment for the presentation of threat factors***

Following the introduction of the term Industry 4.0 in 2011 and the simultaneous launch of the 4th industrial revolution, communication networks in the Industry are used to automate the production of goods and the cross-company data exchange used for process execution. As a result, various reference models and protocols for the standardization of communication in Industrie 4.0 networks and the implementation of secure communication were developed. The aim of this thesis is to analyze the techniques established in the industry regarding the security of the network communication and subsequently to develop a concept which makes it possible to illustrate potential threats of the interconnectedness of the systems based on application scenarios.



# Inhaltsverzeichnis

<b>1</b>	<b>Einleitung</b>	<b>1</b>
<b>2</b>	<b>Grundlagen</b>	<b>3</b>
2.1	Historie . . . . .	3
2.2	Automatisierungspyramide . . . . .	6
2.3	Industrie 4.0 . . . . .	7
2.3.1	Internet of Things/Industrial Internet of Things . . . . .	7
2.3.2	Referenzarchitekturen . . . . .	8
2.3.3	Kommunikationsstrukturen . . . . .	11
2.3.4	Protokolle . . . . .	13
2.3.5	Anforderungen an die Netzwerkkommunikation . . . . .	17
2.4	Transmission Control Protocol (TCP)/Internet Protocol (IP) Referenzmodell . . . . .	20
2.5	Security by Design . . . . .	21
2.6	Testsystem . . . . .	21
<b>3</b>	<b>Analyse</b>	<b>23</b>
3.1	Bedrohungen . . . . .	23
3.2	Integrationsansätze . . . . .	24
3.2.1	Konsolidierung der Netzwerkkommunikation . . . . .	25
3.2.2	Gatewaykommunikation . . . . .	25
3.3	Netzzugangsschicht . . . . .	26
3.3.1	physikalischer Zugang . . . . .	27
3.3.2	Virtual Local Area Network (VLAN) . . . . .	27
3.3.3	vertikale Integration bestehender Komponenten . . . . .	28
3.4	Internetschicht . . . . .	29
3.4.1	Address Resolution Protocol (ARP) . . . . .	29
3.4.2	Quality of Service (QoS) . . . . .	31
3.4.3	Internet Protocol Security (IPsec) . . . . .	32
3.5	Transportschicht . . . . .	33
3.5.1	TCP . . . . .	33
3.5.2	User Datagram Protocol (UDP) . . . . .	36
3.6	Anwendungsschicht . . . . .	37
3.6.1	Domain Name System (DNS) . . . . .	38

3.6.2	Dynamic Host Configuration Protocol (DHCP)	42
3.6.3	OPC Unified Architecture (OPC UA)	44
3.6.4	Constrained Application Protocol (CoAP)	48
3.7	Zwischenfazit	49
<b>4</b>	<b>Anwendungsszenarien</b>	<b>53</b>
4.1	OPC UA Kommunikation	53
4.2	Man in the Middle (MitM)	54
4.3	Manipulation von ungesichertem Netzwerkverkehr	54
<b>5</b>	<b>Konzept</b>	<b>55</b>
5.1	Verteilungssicht	56
5.1.1	Industrienetzwerk	57
5.1.2	Monitoring-Netzwerk	57
5.1.3	Containernetzwerk	58
5.2	Bausteinsicht	58
5.2.1	Router	59
5.2.2	DHCP Server/DNS Server	60
5.2.3	CoAP Client/CoAP Server	61
5.2.4	Rogue DHCP Server	62
5.2.5	CoAP Manipulationssystem	63
5.2.6	Docker Service	63
5.3	Laufzeitsicht	64
5.3.1	Routing	64
5.3.2	DHCP	64
5.3.3	DNS	65
5.3.4	Kommunikation CoAP Client und Server	67
5.3.5	Manipulation des Netzwerkverkehrs	68
5.4	Anpassungen	69
<b>6</b>	<b>Umsetzung</b>	<b>71</b>
6.1	Softwarewahl	72
6.2	Integration	72
6.2.1	Netzwerkverwaltung	73
6.2.2	CoAP Server	76
6.3	Implementierung	76
6.3.1	OPC UA Secure Channel	77
6.3.2	CoAP Monitoringsystem	77
6.3.3	CoAP Manipulationssystem	78
6.4	Quellcode	79
6.5	Dokumentation	79
<b>7</b>	<b>Validierung</b>	<b>81</b>
<b>8</b>	<b>Fazit</b>	<b>87</b>



<b>Abkürzungsverzeichnis</b>	<b>ix</b>
<b>Tabellenverzeichnis</b>	<b>xiii</b>
<b>Abbildungsverzeichnis</b>	<b>xv</b>
<b>Quellcodeverzeichnis</b>	<b>xvii</b>
<b>Literatur</b>	<b>xix</b>



# Kapitel 1

## Einleitung

Mit der heutigen, immer weiter fortschreitenden Vernetzung von Geräten aus Unternehmensinfrastrukturen und Heimnetzen über das Internet, erfährt die Industrie und deren Wertschöpfung einen strukturellen Wandel. Im Gegensatz zur Industrie 3.0, in der die Kommunikation der Geräte nur innerhalb einer Produktionsstätte oder eines Unternehmens stattgefunden hat, erstreckt sich die Kommunikation in Industrie 4.0 Umgebungen über die Unternehmensgrenzen hinweg. Es werden Konzepte zur Einbindung aller Komponenten eines Firmenprozesses, welcher z. B. Produktion, Service- Instandhaltungsaufgaben beinhaltet, realisiert. Diese Konzepte beschreiben Systeme, welche miteinander über eine Ethernet Netzwerkwerkstruktur mit Hilfe des Protokolls IP kommunizieren. Die physikalischen Komponenten sollen in der digitalen Welt repräsentiert werden und Informationen sowie Dienstleistungen in einem standardisierten Format bereitstellen. Die Vernetzung der Systeme und die Nutzung der beschriebenen Netzwerkstruktur setzt die Systeme und Produktionsanlagen der Industrie 4.0 den gleichen potentiellen Gefahren aus, wie reguläre Büro- oder Heim-PCs (W.A. Halang 2016).

Die Sicherheit der Produktionsanlagen und deren Netzwerkkommunikation spielt für ein Unternehmen im Industrie 4.0 Umfeld eine essentielle Rolle. Das Eingreifen in das Produktionsnetzwerk und der Zugriff auf eine einzelne vernetzte Komponente können schwerwiegende Folgen für die Produktion sowie die Integrität und Vertraulichkeit der kommunizierten Nutzdaten haben. Viele Produktionsanlagen zur Energie- und Wasserversorgung nutzen automatisierte Prozesssteuersysteme, wie Industrie PC (IPC), speicherprogrammierbare Steuerungen (SPS) und Supervisory Control and Data Acquisition (SCADA), zur Steuerung der Abläufe zwischen verteilten Systemen. Die ständige Verfügbarkeit und Überwachung die-

ser Dienste ist für eine funktionierende Infrastruktur essentiell. Die Systeme der Produktionsanlagen können nicht angehalten werden, um Sicherheitsupdates und einen anschließenden Systemneustart durchzuführen. Bei vielen dieser Prozesssteuerungssystemen wurde der Aspekt der IT-Sicherheit nicht berücksichtigt, da eine Vernetzung der Systeme im heutigen Ausmaß nicht vorgesehen war (Schleupner 2016). Die Systeme bieten aufgrund von Ressourcenknappheit keine Möglichkeit der Verschlüsselung des Datenverkehrs oder der Authentifizierung der Benutzer.

Da eine abrupte Umstellung der Infrastruktur auf Industrie 4.0 konforme Komponenten in der Praxis nicht umsetzbar ist, müssen Wege geschaffen werden um vorhandene Komponenten in die Modelle der Industrie 4.0 Netze zu integrieren. Des Weiteren sind Industrienetze heterogen ausgeprägt. Es werden verschiedene Netzwerkstrukturen und Protokolle genutzt, um den bestehenden Anforderungen gerecht zu werden. Dies erschwert die Integration dieser Komponenten in ein einheitliches Netz. Um trotzdem eine externe Kommunikation der Systeme zu ermöglichen, werden Softwarekomponenten genutzt, welche den Netzwerkverkehr in eine standardisierte Form überführen.

Im Rahmen dieses Entwicklungsprozesses ergibt sich die Frage, welche Bedrohungen auf Industriesysteme durch die Vernetzung einwirken können und ob die in den Referenzmodellen beschriebenen Sicherheitsmaßnahmen sowie die Nutzung des bestehenden Netzwerkstacks einen vollständigen Schutz der Kommunikation im Netzwerk bereitstellen.

Um diese Frage zu beantworten, wird im ersten Schritt eine Literaturrecherche durchgeführt, um einen Überblick über die in der Industrie genutzten Modelle, Protokolle und Lösungen zu erhalten. Auf Basis der Recherche können die Grundlagen für eine Analyse der digitalen Kommunikation der Komponenten im Industrie 4.0 Netzwerk geschaffen und diese durchgeführt werden. Die Ergebnisse der Analyse sollen im folgenden dazu dienen, relevante Anwendungsszenarien zur Darstellung von Bedrohungen der Informationstechnik (IT)-Sicherheit in Industrie 4.0 Netzwerken zu modellieren. Diese Anwendungsszenarien werden anschließend mit Hilfe eines erstellten Konzepts, welches ein vorhandenes Testsystem erweitern soll, umgesetzt und sollen zur Demonstration von Bedrohungsfaktoren in Industrie 4.0 Netzwerken zu Lehr- und Testzwecken genutzt werden können.

## **Kapitel 2**

# **Grundlagen**

### **2.1 Historie**

Seit dem Beginn des Industriezeitalters um 1800, welches mit der Mechanisierung (Industrie 1.0) startete, befindet sich die Industrie in einem stetigen Wandel. Sie entwickelte sich um 1900 durch die Massenproduktion zur Industrie 2.0 und in den 1970er Jahren durch die Automatisierung zur Industrie 3.0. Die Einteilung der Industriezeitalter ist durch tiefgreifende Veränderungen im technologischen Fortschritt möglich, welche auch als industrielle Revolution bezeichnet werden. Aktuell befinden wir uns in der Phase der 4. industriellen Revolution.

Die 1. industrielle Revolution fand mit der Erfindung der Dampfmaschine statt. Sie ermöglichte es Eisenbahnen und Dampfschiffe sowie verschiedene Maschinen im Kohleabbau oder in Textilfabriken anzutreiben und trug massiv zur Industrialisierung und der Entstehung der Industrie 1.0 bei. Nach und nach wurden immer mehr Produktionsanlagen errichtet und somit Arbeitsplätze in Infrastruktur, Textilfabriken, Häuserbau, Kohleabbau und anderen Bereichen geschaffen.

Die Erforschung der Elektrizität im 19. Jahrhundert war der Auslöser der 2. industriellen Revolution. Nachdem ab 1830 die Gesetze der Elektrotechnik bekannt waren, fand die Elektrizität eine breite Anwendung in der Industrie und im Alltag. Im Jahr 1913 führte Henry Ford das Fließband in der Automobilbranche ein. Im Zuge dessen musste jeder Arbeiter nur noch einen Arbeitsschritt erledigen, welches einerseits die Produktion wesentlich beschleunigte und eine Massenproduktion ermöglichte und andererseits eine hohe Spezialisierung der einzelnen Arbeitskräfte für ihre bestimmten Aufgaben erforderte. Außerdem wurde es durch die Luftfahrt

möglich Produkte wie Autos, Kleidung und Lebensmittel über Kontinente hinweg immer schneller zu transportieren und zu handeln.

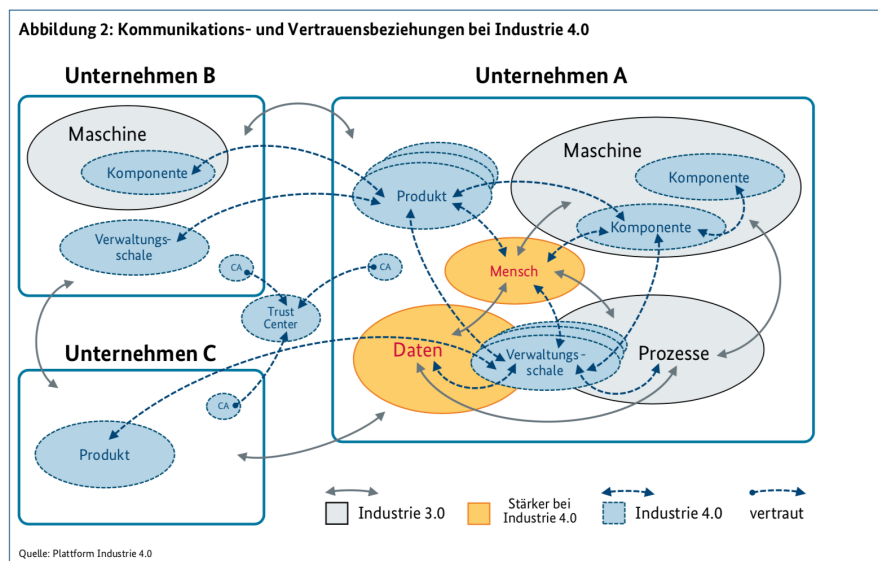
Die 3. industrielle Revolution fand in den 1970er Jahren statt. Sie ist durch eine sukzessive (Teil-) Automatisierung der Prozesse und durch den Einzug der IT in die Industrie- und Verbraucherwelt geprägt. In den 1940er Jahren wurden die ersten Rechenmaschinen und programmierbare Steuerungen in Unternehmen eingesetzt. In den 1970er Jahren zog der Computer auch in den Privatbereich ein, wurde zunehmend beliebter und schaffte einen neuen Industriezweig. Der Fertigungsprozess in Fabriken wurde mehr und mehr von Maschinen übernommen. Durch den zunehmenden Einsatz von IT in Unternehmen entstand immer mehr Kommunikation zwischen Menschen und Maschinen. Diese Kommunikation und die anfallenden Daten wurden jedoch nur unternehmensintern verarbeitet. Es gab nur wenige Schnittstellen nach außen.

Das Ende des 20. Jahrhunderts gilt als der Beginn der 4. industriellen Revolution. Das Kennzeichen dieser Phase ist die zunehmende Digitalisierung und der Einzug der Internet-Technologien in die Industrie. Mit ihr geht die technische Vernetzung physischer Gegenstände, dem Internet of Things (IoT), einher. Mehr und mehr Geräte oder Gegenstände besitzen die Möglichkeit aktiv über eine Netzwerkschnittstelle, oder passiv mit Hilfe eines Bar- oder QR-Codes mit der digitalen Welt zu kommunizieren und somit eine fortschreitende Automatisierung und Individualisierung zu ermöglichen. Diese Entwicklung macht es möglich immer schneller Informationen auszutauschen, größere Datenmengen zu analysieren und diese zu verarbeiten. In der Industrie entstehen dadurch u. a. die folgenden Chancen:

- Die Kommunikationsinfrastruktur wird in Zukunft in Produktionssystemen so preiswert sein, dass sie sinnvoll für Konfiguration, Service, Diagnose, Bedienung und Wartung genutzt werden kann.
- Die Produktionssysteme werden mehr und mehr mit einem Netz verbunden, erhalten dort eine digitale Identität, werden somit such- und analysierbar und besitzen die Möglichkeit Daten über sich selbst zu veröffentlichen.
- Maschinen und Anlagen speichern ihre Zustände in ihrer digitalen Identität im Netz. Diese Zustände sind aktuell, aktualisierbar und zunehmend vollständig. Sind im Netzwerk viele solcher Identitäten vorhanden, können die Daten effizient abgerufen und ausgetauscht werden.

- Softwaredienste werden über das Netz verknüpft und können somit automatisiert individuelle Aufgaben durch die direkte Kommunikation der Systeme erledigen. Eine solche individuelle Wertschöpfung war bisher nur unwirtschaftlich oder gar nicht möglich.

Im Gegensatz zur Industrie 3.0 sollen Maschinen autonom, auch über Unternehmensgrenzen hinweg, miteinander kommunizieren können um gesamte Geschäftsprozesse zu übernehmen. Dies setzt eine Öffnung der Unternehmen nach außen voraus und wird in Abbildung 2.1 dargestellt.



**Abbildung 2.1:** Kommunikationsbeziehungen in einer Industrie 4.0 Umgebung

### 2.2 Automatisierungspyramide

Die Automatisierungspyramide (Abbildung 2.2) stellt die beteiligten Systeme und Softwarekomponenten eines automatisierten Prozesses dar. In der Industrie 4.0 wird eine automatisierte und direkte Kommunikation zwischen allen Ebenen der Automatisierungspyramide angestrebt. Die beteiligten Systeme beginnen, ausgehend vom Kundenauftrag und der betriebswirtschaftlichen Planung der Produktion auf der Unternehmensebene beim Enterprise Resource Planning (ERP) System. Die Ergebnisse der Planung werden an das Manufacturing Execution System (MES) übergeben, welches die verschiedenen Fertigungs- oder Logistikaufträge generiert. Die Aufträge werden anschließend auf der Prozessleit- (SCADA), Steuerungs- (SPS) und Feldebene (Ein-/Ausgangssignale) mit Hilfe von Steuerungen und Sensoren bearbeitet. Während die oberen Schichten der Pyramide (ERP und MES) durch Standardkomponenten bzw. -software der IT realisiert werden, zählen die unteren Schichten (Prozessleit- bis Feldebene) zur Automatisierung, welche die Steuerung und Kontrolle der technischen Anlagen übernimmt. Sie sind durch spezielle Hard- und Softwarelösungen umgesetzt. Die Integration von Sicherheitsmaßnahmen bei der Kommunikation dieser Systeme stellt oft eine große Herausforderung dar, da besondere Anforderungen vorliegen oder wenig Ressourcen zur Verfügung stehen. (Lass Sander 2014)

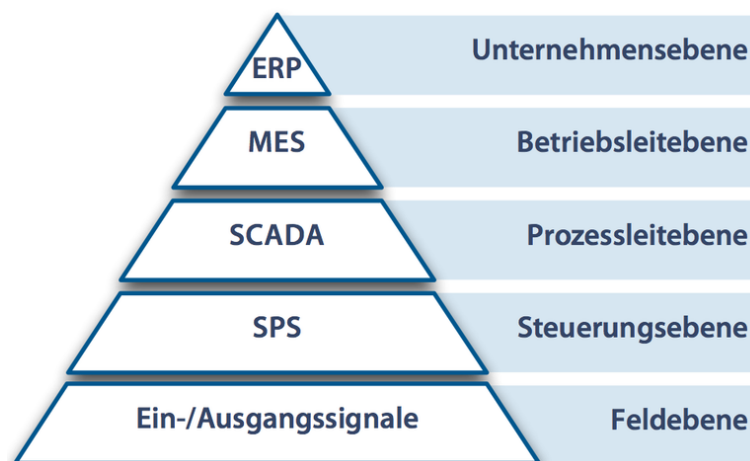


Abbildung 2.2: Automatisierungspyramide



## 2.3 Industrie 4.0

Der Begriff Industrie 4.0 wurde erstmals auf der Hannover Messe 2011 verwendet (Drath 2014) und soll das Ergebnis der 4. industriellen Revolution darstellen. Der Grundgedanke hinter Industrie 4.0 ist die flächendeckende Vernetzung von Informations- und Kommunikationstechnik zu einem Internet der Dinge, Dienste und Daten (Dieter Spath, Oliver Ganschar, Stefan Gerlach, Moritz Hämmerle, Tobias Krause, Sebastian Schlund 2013). Diese Vernetzung soll einen ständigen Informationsaustausch zwischen den Komponenten ermöglichen. Jede Komponente des IoT soll als Cyber-physisches System (CPS) arbeiten. Ein CPS besitzt neben seiner realen Identität eine digitale Identität, über welche es ständig mit anderen IoT-Geräten kommunizieren kann. Kunden- und Maschinendaten werden miteinander vernetzt (Plattform Industrie 4.0 2016a). Dieser Prozess beschreibt auch einen Wandel in der Strukturierung und Organisation der Produktion in Unternehmen. Durch die fortschreitende Automatisierung wird die Umsetzung einer immer höheren Individualisierung bei geringerer produzierter Stückzahl rentabel. Abbildung 2.3 zeigt die Vernetzung der verschiedenen Industriesektoren und Komponenten über das IoT.

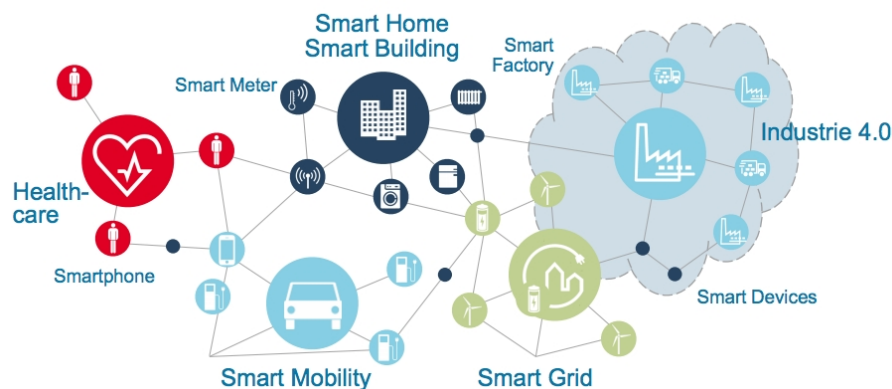


Abbildung 2.3: Das Internet der Dinge

### 2.3.1 Internet of Things/Industrial Internet of Things

Die fortschreitende Vernetzung der Komponenten spiegelt sich im IoT bzw. Industrial Internet of Things (IIoT) wieder. Das IoT beschreibt im Gegensatz zum IIoT ein verbraucherorientiertes Konzept für die Nutzung von digitalisierten und vernetzten Systemen. Hierbei werden die physischen Systeme virtuell abgebildet. Dies wird

genutzt, um die Effektivität der Systeme zu verbessern und intelligente Services zu nutzen.

Das IoT ist ein wesentlicher Bestandteil der Industrie 4.0, welche Netzwerke aus Systemen, Daten und Dienstleistungen herstellt, in denen diese Komponenten miteinander kommunizieren. Im Verbraucherbereich und für die Kommunikation zwischen Mensch und Maschine findet das Protokoll Hypertext Transfer Protocol (HTTP) und dessen Representational State Transfer (REST) Programmierparadigma breite Anwendung.

Das IIoT beschreibt den Gebrauch von IoT-Technologien im industriellen Raum. Diese Systeme können besondere Anforderung an die Kommunikation im Netzwerk wie Skalierbarkeit, Ressourcenverbrauch, Echtzeitkommunikation oder Sicherheit stellen. Des Weiteren findet in Industrie 4.0 Umgebungen Machine to Machine (M2M) Kommunikation statt. Um diesen Problemen entgegenzuwirken, wurden neue Protokolle zur Übermittlung von Daten im Netzwerk entwickelt. Hierbei erfahren vor allem die Protokolle Message Queue Telemetry Transport (MQTT) und CoAP ein hohes Maß an Beachtung. Diese Protokolle wurden für eine ressourcenschonende Kommunikation zwischen Maschinen entwickelt.

### 2.3.2 Referenzarchitekturen

Um eine flächendeckende Vernetzung der digitalen Komponenten zu ermöglichen, muss eine einheitliche Kommunikation geschaffen werden. Diese beschränkt sich nicht nur auf die Form der Nachrichten im Netzwerk und der Gewährleistung der Sicherheit, sondern beinhaltet auch die Struktur und Bereitstellung der Informationen im Netzwerk. In der Folge wurden verschiedene Referenzarchitekturmodelle entwickelt, um Standards für die Kommunikation und Interaktion von Netzwerkkomponenten innerhalb einer Industrie 4.0 Umgebung zu definieren.

#### ***Referenzarchitekturmodell Industrie 4.0 (RAMI4.0)***

Das RAMI4.0 wird in der DIN SPEC 91345 beschrieben und dient als Konzept zur strukturierten Umsetzung der grundlegenden Idee hinter dem Begriff Industrie 4.0. Die Aufgabe des Architekturmodells ist es, die Ziele einer Industrie 4.0 Umgebung, die vollständige Vernetzung der physischer Wertgegenstände, umzusetzen. Diese

Gegenstände werden im Rahmen der RAMI4.0 als *Assets* bezeichnet. Jedes *Asset* besitzt seine eigene Verwaltungsschale, welche als Schnittstelle zum Austausch von Informationen dient. Die Verwaltungsschale soll eine standardisierte Kommunikation und einfache Inbetriebnahme neuer Komponenten ermöglichen (Plattform Industrie 4.0 2016a). Mit Hilfe der RAMI4.0 soll es möglich sein, den Status eines *Assets* zu jedem Zeitpunkt im Lebenszyklus nachweisen zu können. Die RAMI4.0 ist in Abbildung 2.4 dargestellt und wird durch ein Modell aus sechs Schichten und drei Achsen dargestellt. (DIN SPEC 2016)

Auf der Architekturachse werden sechs Schichten beschrieben. Auf der untersten Schicht wird der Gegenstand der physischen Welt dargestellt. Alle zu ihm relevanten Information werden in den darüberliegenden Schichten gespeichert. Darüber stellt die *Integration* Schicht das Bindeglied zwischen der physischen und digitalen Welt bereit, indem sie die Eigenschaften des *Assets* für Computersysteme erreichbar macht (Bundesministerium für Wirtschaft und Energie 2016a). Die *Communication* Schicht beschreibt den Zugriff auf die Ressourcen und Funktionen der Komponente und stellt die Dienste einer Service Oriented Architecture (SOA) bereit. Auf der *Information* Schicht wird die Funktionalität des *Assets* gespeichert und die Datenintegrität gewährleistet. Die *Functional* Schicht beschreibt die Form, wie und mit welchen Parametern ein Funktionsaufruf stattfinden kann. In der *Business* Schicht werden die geschäftsrelevanten Daten gehalten. (DIN SPEC 2016)

Die Hierarchieachse zeigt die Anlagen, Maschinen sowie das Endprodukt, welche miteinander vernetzt sind. Die in Abschnitt 2.2 beschriebene Automatisierungspyramide findet sich in der Hierarchieebene der RAMI4.0 wieder. Sie wurde dort auf der niedrigsten Ebene um das Produkt (*Product*) sowie auf der höchsten Ebene um die Stufe *Connected World* erweitert. Die *Connected World* beschreibt den Zusammenhang zwischen einem Asset oder einer Assetkombination und einem anderen Asset oder einer Assetkombination, also einem Fabrikverbund. (DIN SPEC 2016)

Der Produktlebenszyklus wird im Gegensatz zur Industrie 3.0 in das Netzwerk mit eingebunden. Der gesamte Prozess der Produktion, Wartung bis hin zur Verschrottung wird digital erfasst. Somit könnten ständig Informationen über vorhandene *Assets* gesammelt und zur Optimierung des Wertschöpfungsprozesses analysiert werden. (DIN SPEC 2016)

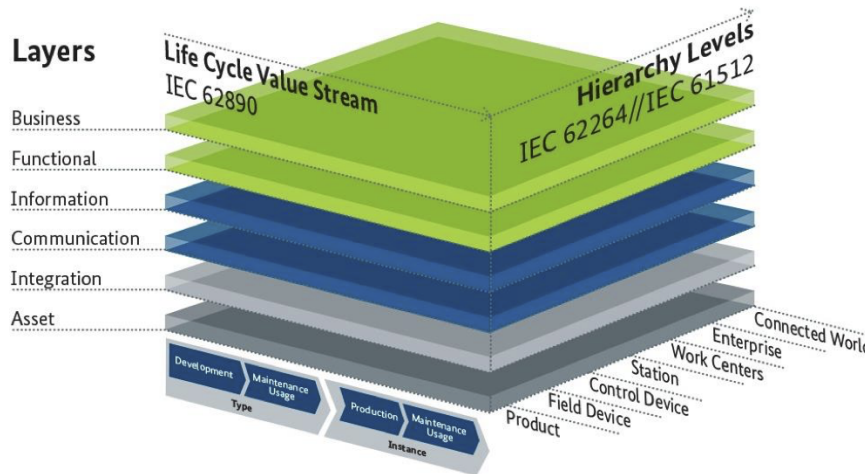


Abbildung 2.4: RAMI 4.0

### IIRA

Das Industrial Internet Consortium (IIC) veröffentlichte im Jahr 2015 die Industrial Internet Reference Architecture (IIRA). Die IIRA beschreibt eine standardbasierte, offene Referenzarchitektur für IIoT, welches auf dem Industrial Internet Architecture Framework (IIAF) basiert. Das IIAF unterstützt die Unternehmen bei der Entwicklung, Dokumentation, Kommunikation und Bereitstellung von Systemen im IIoT Bereich (Industrial Internet Consortium 2017a). Die Beschreibung der Architektur findet mit einem hohen Maß an Abstraktion statt, um das breite Feld der verschiedenen Industrielösungen abdecken zu können und standardisierte Vorgehensweisen zu ermöglichen. Das IIAF folgt der Vorgehensweise des ISO/IEC/IEEE Standard 42010:2011<sup>1</sup>. Hieraus werden die grundlegenden Architekturbeschreibungskonstrukte *Concern*, *Stakeholder* und *Viewpoint* übernommen. Die *Viewpoints* sind die grundlegenden Ebenen beim Aufbau der IIRA. Dabei werden vier *Viewpoints* für die Beschreibung festgelegt. Die Struktur der IIRA und deren *Viewpoints* wird in Abbildung 2.5 dargestellt. (Dr.-Ing. Mike Heidrich, Dr. Jesse Jijun Lui 2016)

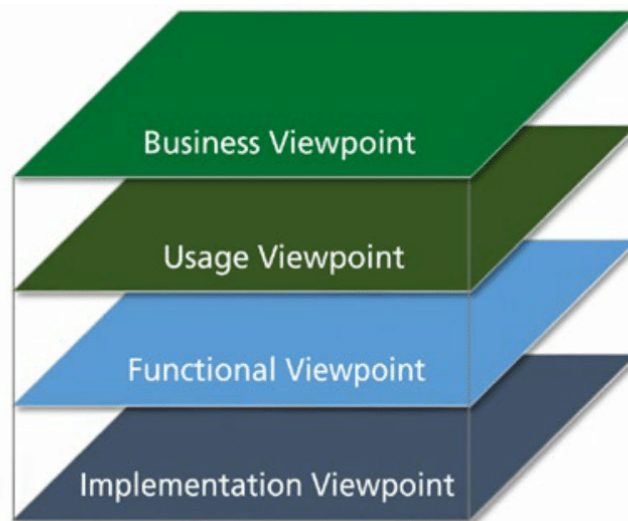
Der *Business Viewpoint* beinhaltet die betriebswirtschaftlichen *Concerns* bei der Umsetzung eines Industrial Internet Systems (IIS) sowie die entstehenden Rahmenbedingungen. Es werden die Systemeigenschaften definiert, welche an die Geschäftsziele gekoppelt sind. Die *Stakeholder* dieses *Viewpoints* bestehen aus Führungskräften, Produktmanagern und Systemingenieuren.

<sup>1</sup>ISO/IEC/IEEE Standard 42010:2011 - Systems and Software Engineering—Architecture Description

Im *Usage Viewpoint* werden die *Concerns* bei der Nutzung eines IIS beschrieben. Dies beinhaltet die Beschreibung der Bedienabläufe.

Der *Functional Viewpoint* beschreibt die funktionalen Komponenten des IIS. Es werden Zusammenhänge, Struktur, Schnittstellen und Interaktionen mit Systemen im Netzwerk sowie der Außenwelt beschrieben.

Der *Implementation Viewpoint* beinhaltet die Technologien zur Umsetzung des IIS. Es werden die funktionalen Komponenten, deren Vernetzung, Kommunikationsschnittstellen sowie deren Produktlebenszyklen dargestellt. Diese *Concerns* sind wichtige Ansatzpunkte für Komponentendesigner, Systementwickler und Integratoren.



**Abbildung 2.5:** Die Grundebenen der IIRA

Die Anforderungen des Referenzarchitekturmodells beinhalten niedrige Latenzen und Schwankungen, einen hohen Durchsatz, Skalierbarkeit, Ausfallsicherheit, Datensicherheit und QoS. Die IIRA stellt einen softwaretechnischen Ansatz der Darstellung einer Referenzarchitektur bereit.

### 2.3.3 Kommunikationsstrukturen

Da die grundlegende Netzwerkstruktur der vorhandenen Netze, welche auf IP basieren, für die Industrie 4.0 weiterhin genutzt werden sollen, kann davon ausgegangen

werden, dass auch in Zukunft der wesentliche Teil der Kommunikation mit Hilfe des TCP/IP Referenzmodells stattfinden wird. Die Transportprotokolle TCP und UDP basieren auf dem Protokoll IP. Sie ermöglichen es Daten, je nach Anforderungen, zuverlässig oder unzuverlässig im Netzwerk zu verteilen. Hierbei muss ein Augenmerk auf die Sicherheit der Kommunikation und deren Effizienz gelegt werden. Das verwendete Anwendungsprotokoll sowie der genutzte Kommunikationsstack müssen entsprechende Sicherheitsmechanismen bereitstellen, um eine Identifikation und Authentifizierung des Kommunikationspartners durchzuführen. (Plattform Industrie 4.0 2017)

### **End2End**

Die Komponenten der Industrie 4.0 Umgebung können mit Hilfe des Protokolls TCP über einen direkten Kanal miteinander kommunizieren. Dies setzt voraus, dass sich beide Teilnehmer in einem Netzwerk befinden, welches die benötigten Dienste zur Herstellung der Verbindung bereitstellt. Anschließend können die in der Verwaltungsschale gespeicherten Informationen über die logischen Schnittstellen im Netzwerk verfügbar gemacht werden und zwischen den Komponenten ausgetauscht werden.

### **Gateways**

Damit bereits existierende Systeme in die Industrie 4.0 Welt überführt werden können, werden Gateways genutzt, welche eine Industrie 4.0 konforme Kommunikation dieser Systeme bereitstellen. In der Industrie sind Systeme vorhanden, welche keine Ressourcen oder Schnittstellen für die Umsetzung einer Industrie 4.0 konformen Kommunikation haben oder aus Gründen der Leistungsoptimierung proprietäre Protokolle nutzen. Die Gateways müssen auf diese Systeme und deren Protokolle individuell konfiguriert werden, um die Übersetzung der Kommunikation bereitstellen zu können.

Durch die Nutzung von Gateways können die Systeme im Netzwerk in verschiedene Domänen getrennt werden und der Datenfluss an zentraler Stelle kontrolliert und analysiert werden.

### ***Publish-Subscribe***

Das Publish-Subscribe Modell bietet die Möglichkeit Informationen an mehrere Teilnehmer zu verteilen. Hierbei melden sich die Empfänger beim Verteiler an und wählen aus, über welche Nachrichtentypen sie informiert werden möchten. Diese Verteildienste nutzen zur besseren Skalierung und Reduzierung der Netzlast das Datagramm UDP. Durch die Nutzung dieses Transportprotokolls geht die Fehlertoleranz während der Übertragung verloren. Es muss entweder dafür gesorgt werden, dass eine zuverlässige Netzwerkinfrastruktur vorhanden ist und hohe Bandbreitenreserven geschaffen werden, um die Dienstgüte (QoS) sicherzustellen oder dieses Modell nur für fehlertolerante Kommunikation wie z. B. Audio- und Video-Anwendungen zu nutzen.

### ***Kommunikation mit Netzwerk als Partner***

Zeitkritische Automatisierungsanwendungen verlangen besondere Netzwerkeigenschaften. Sie können auf geringe Latenzen oder Jitter angewiesen sein. Um diese Eigenschaften sicherzustellen, ist es sinnvoll in diese Netze eine Industrie 4.0 Schnittstelle zu integrieren. Somit ist es den Teilnehmern möglich, über die Verwaltungsschale der Schnittstelle im Netzwerk sicherzustellen, dass das Netzwerk die erforderlichen Anforderungen bereitstellt. (Plattform Industrie 4.0 2017)

### **2.3.4 Protokolle**

Die Kommunikation in Industrie 4.0 Umgebungen findet nicht mehr über einzelne, vorgegebene Schnittstellen der verschiedenen Ebenen der Automatisierungspyramide statt, sondern direkt von den Produktionssystemen. Um dies zu ermöglichen, ist es notwendig, eine einheitliche Kommunikation durch Normen und Standards herzustellen. Durch die in der Industrie 4.0 benötigte M2M Kommunikation wurde die Entwicklung neuer Protokolle zum effizienten Informationsaustausch vorangetrieben, welche es ermöglichen sollen, eine Standardisierung bereitzustellen und somit eine herstellerübergreifende und plattformunabhängige Kommunikation zu ermöglichen. Hierbei haben sich bzgl. der Referenzarchitekturen RAMI4.0 und IIRA die Protokolle Open Platform Communications Unified Architecture (OPC UA) und Data Distribution Services (DDS) etabliert.

### **OPC UA**

OPC UA ist in der International Electrotechnical Commission (IEC) 62541<sup>2</sup> als offener Standard definiert und erstreckt sich über die Schichten *Communication* und *Information* des RAMI4.0. Es vereint Daten- und Informationsdienste und stellt einen sicheren, zuverlässigen und plattformübergreifenden Informationsaustausch zwischen unterschiedlichen Geräten und Systemen der Industrie bereit. Die OPC UA ermöglicht die Kommunikation über die verschiedenen Schichten der Automatisierungspyramide von der Feldebene bis zur Unternehmensebene.

OPC UA stellt ein Informationsmodell mit Hilfe einer SOA bereit, erfüllt die Anforderungen des RAMI4.0, etabliert sich zunehmend im Maschinen- und Anlagenbau und bietet einen vielversprechenden Ansatz für einen standardisierten Informationsaustausch über Unternehmensgrenzen hinweg (OPC Foundation 2014). Aufgrund dessen stellt es auch ein attraktives Ziel für Industriespionage und die Sabotage von Industrienetzen bereit (OPC Foundation 2018b).

OPC UA wird in 14 geschichteten Spezifikationen beschrieben, welche sich in die Bereiche *Core*, *Access Type* und *Utility* unterteilen lassen. Dabei stellen die Spezifikationen 1-7 sowie 14 die Kernfunktionalitäten des Architekturmodells dar. Sie beschreiben die Struktur des OPC Addressraums und der Dienste, die darauf operieren. Die Spezifikationen 8-11 wenden diese Kernfunktionalitäten auf spezifische Open Platform Communications (OPC COM) Spezifikationen, wie Data Access (DA), Alarms and Events (A&E) und Historical Data Access (HDA) an. Die Teile 12 und 13 beinhalten Mechanismen zur Discovery von Systemen und beschreiben Möglichkeiten der Datenaggregation. Eine Übersicht der OPC UA Spezifikation wird in Abbildung 2.6 dargestellt.

Das Lesen- und Schreiben von Daten und die Kommunikation in Industrie 4.0 Umgebungen findet nach RAMI4.0 durch die Verwaltungsschale der Komponenten statt. Diese wird im OPC UA Stack durch den Adressraum beschrieben. Der Adressraum wird zur Speicherung von Knoten, deren Attribute und Referenzen zu anderen Knoten genutzt. Der Addressraum und das Informationsmodell von OPC UA werden in den Spezifikationen 3 OPC Foundation 2018c und 5 OPC Foundation 2018d definiert.

OPC UA ermöglicht die Kommunikation der Assets über ein Client-Server Pattern. Die Architektur setzt sich dabei aus einem OPC UA Client und einem OPC UA

---

<sup>2</sup>IEC 62541 - OPC Unified Architecture



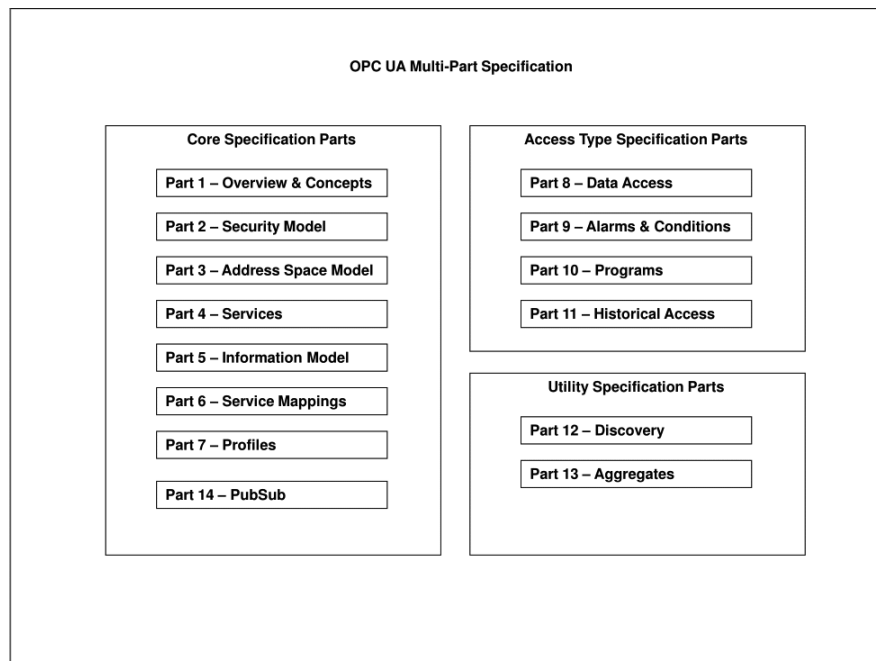


Abbildung 2.6: OPC UA Spezifikation

Server zusammen. Der OPC UA Server stellt verschiedene Funktionen bereit, auf welche der OPC UA Client mit Hilfe eines Request zugreifen kann. Des Weiteren ist es möglich durch einen Request des OPC UA Clients ein Element des Servers beobachten zu lassen, um bei Änderungen vom Server benachrichtigt zu werden. Um die Kommunikation zwischen OPC UA Servern zu gewährleisten, wird ein OPC UA Client in einen OPC UA Server integriert. In der Grafik Abbildung 2.7 wird das Client-Server Pattern der OPC UA Spezifikation schematisch dargestellt. Die linke Seite der Grafik beschreibt die Kommunikation zwischen einem Client und einem Server mit eingebettetem Client. In der rechten Seite der Grafik findet die Kommunikation zwischen dem eingebetteten Client und einem OPC UA Server statt.

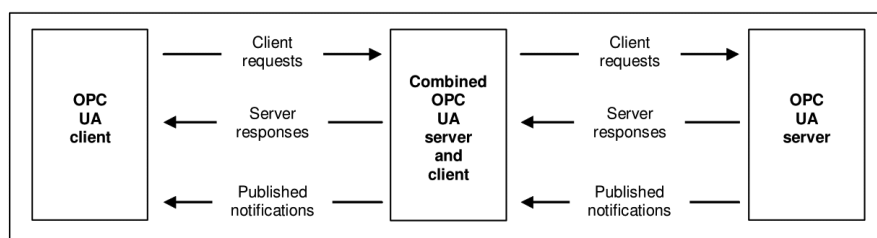


Abbildung 2.7: OPC UA Client-Server Architektur

OPC UA wurde ursprünglich als Client-Server Architektur entwickelt. Um OPC UA besser in Systemen der unteren Ebenen der Automatisierungspyramide, wie Kleinsteuerungen, Sensoren und Low-End /textitembedded Systemen, einsetzen zu können, werden meist geringe Latenzen in den Netzwerken und ein geringer Overhead aufgrund von Ressourcenmangel sowie die Kommunikation mit mehreren Partnern benötigt. Diese Anforderungen wurden von dem im Jahr 2018 veröffentlichten 14. Teil der OPC UA Spezifikation *Publish Subscribe* adressiert (Hoppe 2018). Das Publish-Subscribe Modell ermöglicht die Nutzung von OPC UA in Wide Area Network (WAN) Umgebungen und die Verwendung von Protokollen wie MQTT und Advanced Message Queuing Protocol (AMQP), während die Ende-zu-Ende Sicherheit und die standardisierte Datenmodellierung erhalten bleiben. Es wird das fehlertolerante Datagramm UDP als Transportprotokoll verwendet, wodurch geringe Latenzen bei der Kommunikation sowie Broad- und Multicast Funktionalitäten ermöglicht werden. Das *Publish Subscribe* Modell bietet sich zur Übertragung von kleinen Datenmengen zum *Logging* oder *Monitoring* im Netzwerk an. Dabei muss das Netzwerk durch die Nutzung von UDP nicht bei jeder Datenübertragung durch einen TCP Verbindungsaufbau belastet werden (OPC Foundation 2018a).

### **DDS**

DDS ist ein weiterer offener Standard der Open Management Group (OMG) und stellt eine Message oriented Middleware (MOM) zur Kommunikation in hochdynamischen verteilten Systemen dar. Er wurde für niedrige Latenzzeiten, einen hohen Datendurchsatz und eine skalierbare, belastbare und sichere Datenverteilung entwickelt, um die Kommunikation in Steuerungs- und Kontrollaufgaben zu realisieren. Der beschriebene Standard deckt alle Anforderungen der IIRA ab und hat sich bereits in industriellen Systemen etabliert. Gegenüber OPC UA beschreibt DDS eine dezentralisierte Architektur. Es bietet ein Konnektivitäts-Framework, welches ein Kommunikationsparadigma basierend auf einem Shared Data Model, einen Standard für die Definition domain-spezifischer Informationsmodelle, ein starkes Sicherheitsmodell, Discovery und reichhaltige APIs beinhaltet. Die Kommunikation findet direkt vom Publisher zum Subscriber statt. Dabei werden Latenzzeiten reduziert und durch die Nutzung von Broad- und Multicast die Netzlast beim Bereitstellen von Informationen an viele Empfänger gering gehalten. Es ist möglich

die MOM DDS in eine OPC UA Architektur zu integrieren und mit dem von der RAMI4.0 bereitgestellten Informationsmodell zu nutzen.

### 2.3.5 Anforderungen an die Netzwerkkommunikation

Aufgrund der unterschiedlichen Einsatzbereiche von Industrie 4.0 Systemen, unterscheiden sich auch dementsprechend deren Anforderungen. Um die Anforderungen einer Industrie 4.0 Anwendung zu erfüllen, müssen die Anforderungen „anwendungsgerecht“ beschrieben und umgesetzt werden. Dies bedeutet, dass die Sicherheit der Netzwerkübertragung aufgrund von Ressourcenbelastung in einem gesunden Maß vorhanden sein soll. Es gibt keine festgeschriebenen Standards zur Herstellung der Kommunikationssicherheit. Die Anforderungen müssen für jedes System neu abgewogen werden (Bundesministerium für Wirtschaft und Energie 2016b). In der Industrie 4.0 ist ein sicherer Informationsaustausch entlang des gesamten Wertschöpfungsprozesses essentiell. Als Grundlage der Bereitstellung der Sicherheit im Netzwerk dienen die Grundprinzipien der sicheren Kommunikation (Schleupner 2016). Diese setzen sich aus den folgenden Schutzzielen zusammen und werden in International Organization for Standardization (ISO)/IEC 27000<sup>3</sup> und dessen untergeordneten Standards beschrieben.

- Vertraulichkeit/Zugriffsschutz
- (Daten)-Integrität/Änderungsschutz
- Authentizität/Fälschungsschutz
- Verbindlichkeit/Nichtabstreitbarkeit

Die Grundprinzipien der sicheren Kommunikation beschreiben die Schutzziele im Bereich der Informationssicherheit. Diese verdeutlichen den Anspruch an die Sicherheit an ein zu implementierendes System oder ein Netzwerk. Sie stellen einen vereinbarten Umfang gegen Bedrohungen dar, welcher von den Kommunikationspartnern gewährleistet wird und nachgewiesen werden kann. Diese klassischen Schutzziele sind auch für Industrie 4.0 Umgebungen zutreffend. Die weitreichende Vernetzung der Systeme in der Industrie 4.0 erfordert jedoch weitere Schutzziele, um einen rechtskonformen Umgang der Daten sicherzustellen und besonderen Anforderungen gerecht zu werden. Die Referenzmodelle RAMI4.0 und IIRA beschreiben

<sup>3</sup>ISO/IEC 27000 - Information technology — Security techniques — Information security management systems

Industrie 4.0 Referenzszenarien. Aus diesen Szenarien lassen sich weitere Anforderungen der Kommunikation in einem Industrie 4.0 Netzwerk ableiten. Diese Anforderungen an den Übertragungskanal werden in die Kategorien Sicherheit, Verfügbarkeit und QoS unterteilt (Bundesministerium für Wirtschaft und Energie 2016a).

### **Sicherheit**

Der Bereich Sicherheit umfasst die Netz- und Datensicherheit, die Verwaltung sicherer Identitäten und die funktionale Sicherheit. Diese neu definierten Schutzziele unterstützen bzw. erweitern die Grundprinzipien der sicheren Kommunikation. (Bundesministerium für Wirtschaft und Energie 2016a)

Die Netzsicherheit umfasst die Planung, Ausführung und Überwachung der Sicherheit in Netzwerken. Diese Maßnahmen beziehen sich auf die Organisation, den Betrieb und das Umfeld, in welchem die Netzwerkkommunikation stattfindet. Die Datensicherheit verfolgt das technische Ziel der Sicherung der Daten mit Betracht der Anforderungen gegen Verlust, Manipulation und andere Bedrohungen. Sie basiert auf der Umsetzung der Netzsicherheit.

Sichere Identitäten beschreiben die Authorisierung und Authentifizierung der Teilnehmer im Netzwerk. Diese können durch unterschiedliche Formen ausgeprägt werden. Industrie 4.0 Komponenten identifizieren sich je nach Möglichkeit mit einem Zertifikat, mit Hilfe eines Tokens, QR-Codes, mit einem Benutzernamen oder anderen Authentifizierungsverfahren. Eine sichere Identität ist der Ausgangspunkt für die Sicherheitskette, welche die Datenerhebung, den -transport und die -verarbeitung auf Hardware-, Software und Prozessebene absichert. Durch das unbefugte Erlangen einer Identität im Netzwerk werden alle daraus folgenden Sicherheitsmaßnahmen wie der Zugriffsschutz ausgehebelt. Sichere Identitäten unterstützen die klassischen Schutzziele Vertraulichkeit, Integrität und Verfügbarkeit. (Plattform Industrie 4.0 2016b)

Funktionale Sicherheit bezeichnet den Schutz des Menschen vor den Gefahren von Maschinen. In der klassischen Industrie werden gesetzliche Vorschriften in Normen wie der EN ISO 13849<sup>4</sup> und IEC/EN 62061<sup>5</sup> getroffen, welche erfüllt werden müssen, um eine ausreichende Sicherheit zu gewährleisten. Wird dies durch technische

---

<sup>4</sup>EN ISO 13849 - Sicherheit von Maschinen – Sicherheitsbezogene Teile von Steuerungen

<sup>5</sup>IEC/EN 62061 - Safety of machinery: Functional safety of electrical, electronic and programmable electronic control systems

Maßnahmen sichergestellt, so wird von funktionaler Sicherheit gesprochen. Diese Systeme, welche die Sicherheit der Produktivsysteme gewährleisten sollen, müssen ebenfalls geschützt werden. Mit der Vernetzung aller Systeme in Industrie 4.0 Umgebungen werden auch Überwachungssysteme und Anlagensteuerungen in das Netzwerk mit aufgenommen und bieten durch Manipulation der Steuerungen eine Angriffsfläche im Produktionsprozess.

### **Verfügbarkeit**

Die ständige Verfügbarkeit von Daten und Diensten spielt in der Industrie 4.0 eine bedeutende Rolle, um den Datenaustausch zwischen zwei Kommunikationspartnern im Netz jederzeit zu ermöglichen. Als Verfügbarkeit wird die Wahrscheinlichkeit bezeichnet, dass ein System innerhalb eines bestimmten Zeitraumes erreichbar ist. Ein System gilt als verfügbar, wenn es erreichbar ist und die für es vorgesehenen Aufgaben erledigen kann.

Die Verfügbarkeit wird in Verfügbarkeitsklassen gegliedert. Diese beschreiben die Verfügbarkeitswahrscheinlichkeiten, welche die Dauer der Erreichbarkeit eines Systems im Jahr in Prozent darstellen. Damit die Anforderungen der Verfügbarkeit ermittelt werden können, teilt die Harvard Research Group (HRG) in ihrer Availability Environment Classification (AEC) die Formen der Hochverfügbarkeit in sechs Klassen ein. Diese werden in Tabelle 2.1 beschrieben. (Harvard Research Group, Inc. 2003)

**Tabelle 2.1:** Availability Environment Classification nach Harvard Research Group

HRG Klasse	Name	Beschreibung
AEC-0	Conventional	Funktionen können unterbrochen werden, die Datenintegrität ist nicht essentiell
AEC-1	Highly Reliable	Funktionen können unterbrochen werden, solange die Datenintegrität gewährleistet wird
AEC-2	High Availability	Funktionen erlauben minimale Unterbrechungen der Bereitstellung ihrer Dienste
AEC-3	Fault Resilient	Funktionen müssen ununterbrochen verfügbar sein, Verbindung kann zurückgesetzt werden
AEC-4	Fault Tolerant	Funktionen müssen ununterbrochen verfügbar sein, Datenintegrität muss gewährleistet, Verbindung muss aufrechterhalten werden
AEC-5	Disaster Tolerant	Funktionen müssen unter allem Umständen verfügbar sein

### **QoS**

Die Entwicklung neuer Technologien und die Erschließung neuer Einsatzgebiete mit Hilfe von M2M Kommunikation in der Industrie 4.0 stellt neue Anforderungen an die Güte der Kommunikation im Netzwerk bereit. Die Anforderungen des QoS in Industrie 4.0 Umgebungen können in drei Bereiche Latenz, Zuverlässigkeit der Verbindung (Packet Error Rate (PER)<sup>6</sup>) und Datenrate gegliedert werden. Die beschriebenen Anforderungen müssen, um den geforderten QoS während der Kommunikation im Industrie 4.0 Netzwerk bereitzustellen, bzgl. des RAMI4.0 in der Verwaltungsschale der Komponenten repräsentiert werden. (Bundesministerium für Wirtschaft und Energie 2016a)

### **2.4 TCP/IP Referenzmodell**

Die technische Umsetzung beschriebenen Referenzmodelle und deren Netzwerkkommunikation findet mit Hilfe des TCP/IP Referenzmodells statt. Dieses stellt die Basis für moderne Kommunikationsnetze dar (Plattform Industrie 4.0 2017). Es ist ein Schichtenmodell, beschreibt die vier Schichten der Internetprotokollfamilie und beinhaltet die Bestandteile der Kommunikation auf Basis des IP Protokolls. Diese setzen sich aus Anwendungs-, Transport-, Internet- und Netzzugangsschicht zusammen und werden in Tabelle 2.2 dargestellt. Das TCP/IP Referenzmodell stellt eine vereinfachte Form des ISO/Open Systems Interconnection Model (OSI) Referenzmodells dar. Die Schichten des TCP/IP Referenzmodells überlagern sich mit den Schichten des ISO/OSI Referenzmodells.

Da die Kommunikation der Komponenten in einer Industrie 4.0 Umgebung über das Protokoll IP stattfindet, ist es für die Analyse der Netzwerkkommunikation sinnvoll die vereinfachte Darstellung des TCP/IP Referenzmodells im Gegensatz zum in der ISO/IEC 7498-1<sup>7</sup> standardisierten ISO/OSI Referenzmodell zu nutzen und deren Bestandteile zu untersuchen.

---

<sup>6</sup>Packet Error Rate - Anzahl der korrupten Pakete im Verhältnis zur Gesamtanzahl der Pakete

<sup>7</sup>ISO/IEC 7498-1 - Information technology - Open Systems Interconnection - Basic Reference Model: The Basic Model

**Tabelle 2.2:** Schichten des TCP/IP Referenzmodells

#	Name	Protokollbeispiele
1	Netzzugangsschicht	Ethernet
2	Internetschicht	IP
3	Transportschicht	TCP, UDP
4	Anwendungsschicht	HTTP, Simple Mail Transfer Protocol (SMTP), OPC UA, CoAP

## 2.5 Security by Design

In der Vergangenheit wurden Sicherheitsmechanismen üblicherweise nachträglich und reaktiv in die Entwicklung von Komponenten mit einbezogen. Industrie 4.0 Umgebungen erfordern umfassende Maßnahmen, um die in Unterabschnitt 2.3.5 beschriebenen Schutzziele zu erfüllen und eine sichere Kommunikation zu gewährleisten. Dies gilt vor allem für Maschinenbau- und Fertigungsunternehmen, welche häufig proprietäre Individualsoftware zur Steuerung der Maschinen einsetzen (DTAG 2016). Aus der Notwendigkeit, Sicherheitsaspekte bereits in die Softwareentwicklung mit einzubeziehen und einen Schutz der Kommunikation zu gewährleisten, hat sich der Begriff *Security by Design* entwickelt.

Die Methoden und Ziele der Angreifer stehen unter einem ständigen Wandel. Somit ist es nicht möglich, eine Sicherheitsimplementierung zu entwickeln und diese wiederholt einzusetzen. Vielmehr ist es notwendig, die Sicherheit durch *Security by Design* so weit als möglich proaktiv herzustellen und gleichzeitig im Schadensfall flexibel zu reagieren, um das Schadensausmaß zu begrenzen. Es sind Maßnahmen zur Prävention, Detektion und Reaktion erforderlich (Plattform Industrie 4.0 2015).

Das Konzept *Security by Design* wird von RAMI4.0 und IIRA sowie von den darin genutzten Protokollen OPC UA und DDS verfolgt. Die Absicherung der Kommunikation im Netzwerk gehört zu den Kernbestandteilen der Referenzarchitekturen (Industrial Internet Consortium 2017b und OPC Foundation 2018b).

## 2.6 Testsystem

Als Grundlage dieser Arbeit dient ein vorhandenes, prototypisches Industrie 4.0 Testsystem<sup>8</sup> (Weber 2018). Das Testsystem wurde in einer virtuellen Umgebung umgesetzt. Es basiert auf dem RAMI4.0 und stellt einen vollständigen Industrie-

<sup>8</sup>Industrie 4.0 Testsystem - <https://github.com/sneppa/i40-testbed>

prozess anhand des Anwendungsszenarios einer Druckerei dar. Darin werden aktive und passive Industrie 4.0 Komponenten beschrieben, welche Informationen im Netzwerk mit Hilfe ihrer Verwaltungsschale bereitstellen und somit einen automatisierten Produktionsprozess mit Hilfe von M2M Kommunikation durchführen können. Die Komponenten dieses Systems wurden durch Container als eigenständige, virtuelle Systeme realisiert. Die Kommunikation zwischen den Komponenten findet über das Protokoll OPC UA statt, welches die Anforderungen der Industrie 4.0 und RAMI4.0 erfüllt.

Eine genaue Beschreibung der Komponenten und Funktionsweise des Testsystems kann der dieser Arbeit zugrundeliegenden Ausarbeitung in Weber 2018 entnommen werden. Das beschriebene System wird im weiteren Verlauf der Thesis als Testsystem bezeichnet.



## Kapitel 3

# Analyse

Im folgenden Kapitel wird die Analyse der Netzwerksicherheit in Industrie 4.0 Umgebungen durchgeführt. Zuerst wird eine Beschreibung der Bedrohungen von Industrie 4.0 Systemen durchgeführt. Anschließend werden, aufgrund der bestehenden Infrastruktur und der Heterogenität der Netzwerklandschaft der Industrie, verschiedene Integrationsansätze für einen standardisierten Datenaustausch beschrieben. Die dabei etablierten Techniken und Protokolle des IoT und IIoT sowie neue M2M Kommunikationswege der Industrie 4.0 werden nach den Schichten des TCP/IP Referenzmodells untersucht, um eine strukturierte Vorgehensweise zu ermöglichen und ein ganzheitliches Bild der Netzwerkkommunikation zu erhalten. Dabei werden beispielhaft *Mis-Use-Cases* der etablierten Technologien beschrieben und deren Auswirkung auf die Kommunikation im Netzwerk dargestellt.

### 3.1 Bedrohungen

Die vierte industrielle Revolution, das IIoT und dessen Vielzahl an aktiven und passiven Elementen stellen in ihrer Komplexität eine große Herausforderung für die IT-Sicherheit dar. Einerseits muss die Sicherheit der laufenden Software, der Infrastruktur, Anwendungs- und Rechnersysteme gewährleistet werden, andererseits muss die Betriebssicherheit der Geräte und Anlagen, welche mit dem Internet verbunden sind sichergestellt werden. Das Management der IT-Sicherheit in Industrie 4.0 Netzen geht über Unternehmensgrenzen hinweg, da Netze und Systeme für Kunden, Lieferanten und Partner bereitgestellt werden (DTAG 2016). Somit hat sich auch die Bedrohungslage der Netze geändert. Das Bundesamt für Sicherheit

in der Informationstechnik (BSI) beschreibt die Top 10 Bedrohungen und deren Folgen für Industrial Control System (ICS) in Bundesamt für Sicherheit in der Informationstechnik 2016.

1. Social Engineering und Phishing
2. Einschleusen von Schadsoftware über Wechseldatenträger und externe Hardware
3. Infektion mit Schadsoftware über Internet und Intranet
4. Einbruch über Fernwartungszugänge
5. Menschliches Fehlverhalten und Sabotage
6. Internet-verbundene Steuerungskomponenten
7. Technisches Fehlverhalten und höhere Gewalt
8. Kompromittierung von Extranet und Cloud Komponenten
9. Denial of Service (DoS) und Distributed Denial of Service (DDoS)
10. Kompromittierung von Smartphones im Produktionsumfeld

Die Auswirkungen dieser Bedrohungen sollen im weiteren Verlauf der Analyse beispielhaft mit Bezug auf die in Unterabschnitt 2.3.5 genannten Schutzziele und der aktuellen Industriestandards dargestellt werden. Für eine sichere Kommunikation ist es notwendig einen größtmöglichen Schutz gegen diese Bedrohungen bereitzustellen. Die Sicherheit eines Gesamtsystems kann nicht nur an einer einzigen Stelle im Netzwerk hergestellt und gewährleistet werden. Es muss auf allen Ebenen des Netzwerkstacks für Sicherheit gesorgt werden (Plattform Industrie 4.0 2017). Dafür muss die Netzwerkinfrastruktur und die eigentliche Kommunikation im Netzwerk gesichert werden. Dies geschieht durch die Abschottung von Systemen, die Einschränkung von Zugangsberechtigungen, die Härtung der Sicherheit der genutzten Komponenten sowie den Einsatz von geeigneten Netzwerkprotokollen und Verschlüsselungsverfahren.

### **3.2 Integrationsansätze**

Die Grundlage der Industrie 4.0 Kommunikation ist ein standardisierter Datenaustausch über alle Schichten der Automatisierungspyramide (Abschnitt 2.2) hinweg.

Dafür müssen bestehende Systeme in die Industrie 4.0 Kommunikation integriert werden. Dies führt häufig zu Problemen, da diese Systeme proprietäre Protokolle nutzen, besondere Anforderungen besitzen oder gar keine digitalen Schnittstellen bereitstellen. Es bestehen für kommunikative Systeme grundsätzlich zwei Ansätze zur Integration in die Netze der Industrie 4.0.

### **3.2.1 Konsolidierung der Netzwerkkommunikation**

Bestehende Systeme können, wenn möglich, erweitert oder ersetzt werden, um den in Unterabschnitt 2.3.5 beschriebenen Anforderungen gerecht zu werden. Dies ist mit einem hohen technischen und betriebswirtschaftlichen Aufwand verbunden. Die Konsolidierung der Netzwerkkommunikation muss als stetiger Prozess verstanden werden. Dabei stellt die digitale Kommunikation und Vernetzung der Systeme bei der Integration neuer Komponenten oder dem Austausch bestehender Systeme eine zentrale Rolle. Die Referenzarchitekturmodelle RAMI4.0 (Abschnitt 2.3.2) und IIRA (Abschnitt 2.3.2) stellen die Grundlage zur Konzeption neuer Industrie 4.0 Netze bereit.

### **3.2.2 Gatewaykommunikation**

Eine Alternative zur Umstellung der bestehenden Systeme stellt die Kommunikation über Gateways dar. Hierbei gibt es mehrere Softwarelösungen, welche unterschiedliche Ziele verfolgen. Es werden Systeme zur Anlagenoptimierung (SePiA.Pro<sup>1</sup>), der Bereitstellung einer offenen, branchenübergreifenden Plattform mit diversen Smart Services wie Datenanalyse und Flottenmanagement (Siemens Mindsphere<sup>2</sup> und DeviceInsight<sup>3</sup>) und dem herstellerübergreifenden Gerätemanagement (AXOOM<sup>4</sup>) entwickelt (Prof. Dr. Henning Kagermann, Frank Riemensperger, Dr. Peter Weckesser, Prof. Dr. Gesche Joost, Bernd Leukert, Prof. Dr. Wolfgang Wahlster 2016). Neben der Sammlung, Verwaltung und Bereitstellung der Daten, bieten sie Schnittstellen für vorhandene Systeme, um diese in Industrie 4.0 Netze zu integrieren. Die Einsatzmöglichkeiten dieser Softwarelösungen sind von den vorhandenen Schnittstellen der Anlagen abhängig und benötigen eine individuelle Konfi-

---

<sup>1</sup>SePiA.Pro - <http://projekt-sepiapro.de/>

<sup>2</sup>Siemens Mindsphere - [www.siemens.com/Mindsphere](http://www.siemens.com/Mindsphere)

<sup>3</sup>DeviceInside - <https://www.device-insight.com/de/iot-home.html>

<sup>4</sup>AXOOM - <https://www.axoom.com/en/>

guration um den unterschiedlichen Anforderungen der Industrielandschaft gerecht zu werden. Diese werden in Absprache mit dem Hersteller erarbeitet, oder wenn möglich, über Plug-Ins bereitgestellt und besitzen somit eine gewisse Herstellerabhängigkeit.

Die beschriebenen Softwarelösungen und deren Implementierungen können Softwarefehler besitzen und Schwachstellen bereitstellen. Die weitere Betrachtung dieser Systeme ist im Rahmen der Thesis aufgrund ihrer Proprietarität nicht weiter möglich.

Das in Abschnitt 2.6 beschriebene Testsystem implementiert die Form der Gatewaykommunikation im Industrie 4.0 Netz mit Hilfe des Protokolls OPC UA. Das Anwendungsszenario des Buchdrucks ermöglicht die Kommunikation eines Industrie 4.0 Netzes auf Basis von OPC UA mit einer nicht Industrie 4.0 kompatiblen Druckerkomponente. Der OPC UA Server agiert als Gateway für seine Netzwerkkomponente. Bei der selbstständigen Implementierung dieser Funktionalitäten ist nach dem Prinzip *Security by Design* (Abschnitt 2.5) vorzugehen, um nicht das Netzwerk durch die Integration der neuen Komponente zu gefährden. Das genutzte Protokoll OPC UA basiert auf dem abstrakten OPC UA Connection Protocol (UACP). Dieses bietet mehrere konkrete Implementierungen der Nachrichtenübermittlung und dessen Sicherheitsprofile, um den unterschiedlichen Anforderungen der Industrie 4.0 Netze und deren Komponenten gerecht zu werden. Das Protokoll OPC UA wird in Unterabschnitt 3.6.3 untersucht.

### 3.3 Netzzugangsschicht

Die Netzzugangsschicht stellt die erste Instanz der Kommunikation im Netzwerk dar. Sie beinhaltet das Übertragungsmedium sowie die Topologie, in welcher die Kommunikation stattfindet. Das Übertragungsmedium bestimmt die Form der Signalübertragung. In Industrie 4.0 Netzen können neben der klassischen Kabelverbindung auch andere (instabile) Kanäle wie Mobilfunk oder Satelliten in Frage kommen. Um die Kommunikation über alle Medien sicher und zuverlässig zu gestalten, müssen auf technischer Ebene Protokolle genutzt werden, welche es ermöglichen die gegebenen Schutzziele zu realisieren und die Integrität der Daten bei der Übertragung über große Entfernungen zu gewährleisten. Dominante Technologien dieser Schicht sind Institute of Electrical and Electronics Engineers (IEEE) 802.3

(Ethernet), IEEE 802.11 (Wireless LAN) und IEEE 802.15.4 (Plattform Industrie 4.0 2017).

Im weiteren Verlauf dieser Arbeit wird sich, aufgrund der weiten Verbreitung in Industrienetzen, auf kabelgebundene, Ethernet-basierte Netze als Grundlage der Signalübertragung beschränkt. Eine Analyse weiterer Übertragungsmedien wie Funk, Licht oder Infrarot und deren Protokolle wird nicht durchgeführt.

### **3.3.1 physikalischer Zugang**

Die Netzzugangsschicht beinhaltet als einzige Schicht des TCP/IP Referenzmodells nicht nur die verwendeten Protokolle zur Signalübertragung, sondern auch die physikalischen Gegebenheiten des Übertragungsmediums. Die Sicherheit dieser Netzwerkschicht beinhaltet somit nicht nur die verwendeten Techniken, sondern auch die physische Sicherheit der Systeme. Sie wird durch den Zugang zur Hardware dargestellt und besitzt eine große Bedeutung, um unbefugte Eingriffe in das Netzwerk zu verhindern. Die Sicherheit dieser Systeme wird durch die physikalische Abschottung mit Hilfe von abschließbaren Serverschränken, genereller Zugangskontrolle sowie der Abschaltung von Ports an Netzwerkkomponenten oder Endsyste-men gewährleistet. (Plattform Industrie 4.0 2017)

Die Infektion von Systemen stellt nicht nur eine Bedrohung für die Kommunikation im Netzwerk dar, sondern für alle vernetzten Prozesse im Unternehmen. Die Schadsoftware kann direkt über die Netzwerkkomponenten oder auch durch Zugriff auf externe Schnittstellen der Clients wie Universal Serial Bus (USB) Ports oder andere Wechselmedien im Netzwerk verbreitet werden und Einfluss auf die im Netzwerk vorhandenen IIoT Systeme nehmen. Da der physikalische Zugang zu den Clients nicht durch Zugangs- oder Zutrittskontrolle verhindert werden kann, muss die Sicherheit vor diesen Eingriffen durch Authentifizierung und Autorisierung mit Hilfe von Access Control List (ACL) oder Verzeichnisdiensten wie *Samba* oder *Active Directory* auf der Anwendungsschicht gewährleistet werden.

### **3.3.2 VLAN**

Eine weitere Sicherheitsmaßnahme zur Prävention von Manipulation des Netzwerks durch physikalischen Eingriff, stellt die logische Trennung der Netze durch die Ver-

wendung von VLAN dar. VLANs arbeiten auf der Netzzugangsschicht des TCP/IP Referenzmodells. Die Netzwerksegmente werden mit einem *TAG* versehen. Das physikalische Netz wird in logische VLAN Teilnetze gegliedert. Die Technologie des VLAN unterteilt sich in die Ausprägungen statisches- und dynamisches-VLAN. Das statische VLAN wird am Switch konfiguriert und ordnet einen Port einem VLAN zu. Beim dynamischen VLAN wird die Zuordnung des VLANs anhand von Inhalten im eintreffenden Netzwerksegment getroffen. Das statische VLAN bietet im Gegensatz zum dynamischen VLAN eine höhere Sicherheit gegenüber Manipulation, da die Zuordnung des Netzwerks über einen statischen Port stattfindet und nicht über Software manipuliert werden kann. Jedoch erfordert es einen erhöhten Administrationsaufwand, bei Änderungen im Netzwerk entweder die Konfiguration des Switch angepasst oder die physikalische Verkabelung geändert werden muss.

Da zwischen den Schichten im TCP/IP Referenzmodell keine Kommunikation stattfindet, werden VLANs auch genutzt, um QoS für Dienste der höheren Schichten bereitzustellen. Im Netzwerk könnten Ressourcen für das VLAN reserviert werden und somit die Sicherheit der Kommunikation gewährleistet werden.

#### **3.3.3 vertikale Integration bestehender Komponenten**

Bisher werden in der Industrie, je nach Anwendungsfall, verschiedene Umsetzungen von Netzwerktopologien, wie Punkt-zu-Punkt-, Bus-, Stern- oder auch Hybride genutzt. Jede dieser Netzstrukturen bietet Vor- und Nachteile bzgl. Durchsatz, Administrationsaufwand und Skalierbarkeit (Burke 2013). Um die Grundidee der Industrie 4.0, die unternehmensübergreifende, intelligente Vernetzung von Produktionsressourcen umzusetzen, ist jedoch eine einheitliche, vertikale Kommunikation über alle Ebenen der Automatisierungspyramide notwendig. Industrie 4.0 Netze kommunizieren über TCP/IP Verbindungen und basieren auf dem *Ethernet* Protokoll. Die Integration bestehender Komponenten findet wie in Unterabschnitt 3.2.2 beschrieben über Gateways statt, welche in beide Netze integriert werden und somit die Kommunikation zwischen dem bestehenden Netzwerk und dem Industrie 4.0 *End2End* Netzwerk bereitstellen.

Die Systeme der Unternehmens- und Betriebsleitebene werden durch komplexe ERP und MES Systeme beschrieben und in Standardkomponenten und Software umgesetzt, welche nach dem TCP/IP Referenzmodell kommunizieren. Die unteren Ebenen der Automatisierungspyramide (Steuerungs- und Feldebene) werden

durch spezielle Hard- und Softwarelösungen dargestellt. Die vorhandenen Ressourcen dieser Systeme sind begrenzt und deren Kommunikation ist u. a. für spezielle Anwendungsfälle wie harte Echtzeitkommunikation mit Verzögerungen  $<1\text{ms}$  ausgelegt. Die Integration einer Kommunikationsschnittstelle für die digitale Vernetzung ist in der Praxis nur mit erheblichem Aufwand oder gar nicht möglich. Somit muss die Integration der bestehenden Komponenten auf der Prozessleitebene der Automatisierungspyramide stattfinden. Die Systeme besitzen die benötigten Ressourcen und müssen als Schnittstelle zwischen der (meist proprietären) Kommunikation der Steuerungs- und Feldebene und den oberen Schichten der Automatisierungspyramide dienen. Die Prozessleitebene stellt das Bindeglied zwischen den Industrieanlagen und der einheitlichen Kommunikation in Industrie 4.0 Umgebungen dar.

### **3.4 Internetschicht**

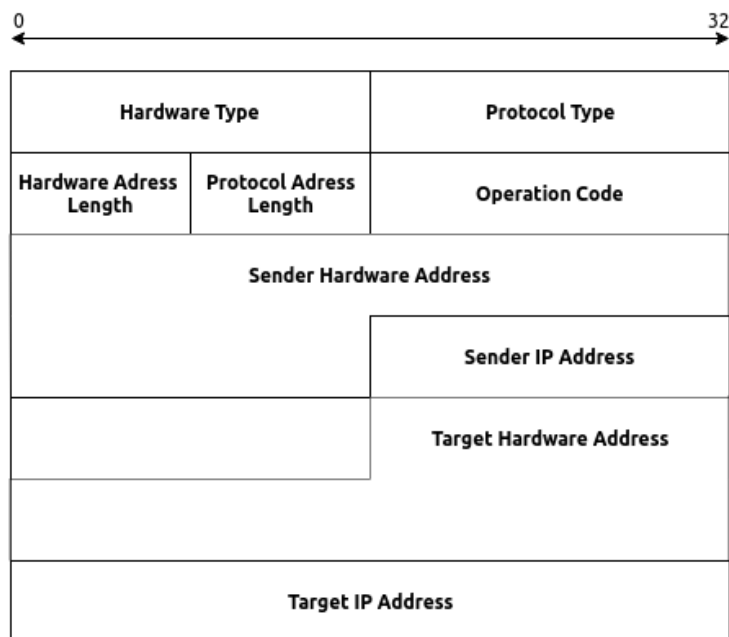
Auf der Internetschicht findet die Vermittlung der Datenpakete zwischen den Teilnehmern im Netzwerk statt. Auf dieser Schicht hat sich IP zum Standard für Netzwerkübergreifende Rechnerkommunikation durchgesetzt. Dies gilt auch für die immer komplexer werdenden Industrienetzwerke und die Industrie 4.0. (Christoph Meinel 2011)

Zu den Aufgaben der Internetschicht gehört das Bereitstellen von Adressen, das Routing, die Fragmentierung von Datenpaketen zur Übertragung im Netzwerk sowie die Sicherstellung der Dienstgüte. Um Routing und Adressvergabe in IP-Netzen zu realisieren, werden die Dienste DNS (Unterabschnitt 3.6.1) und DHCP (Unterabschnitt 3.6.2) genutzt. Das IP Adress Management (IPAM) und die Zuordnung der physikalischen Hardware zur logischen IP-Adresse erfolgt mit Hilfe des ARP. Da die Kommunikation in einem IP-Netz ohne diese Dienste und Protokolle nicht möglich ist, stellen sie einen wichtigen Bestandteil im Netzwerk dar und müssen vor Sabotage geschützt werden.

#### **3.4.1 ARP**

ARP dient der Zuordnung einer physikalischen Hardwareadresse einer Netzwerkschnittstelle zu einer logischen IP Adresse. Diese Zuordnung wird mit Hilfe ei-

ner Tabelle, des ARP-Cache, ermöglicht. Jeder Client im Netzwerk verwaltet einen ARP-Cache. Abbildung 3.1 stellt das Format eines ARP Pakets dar. Während des ARP Request wird ein ARP Paket gesendet, welches die MAC- und IP-Adresse des Absenders sowie die IP-Adresse des Empfängers enthält. Der Request wird über die Broadcast MAC-Adresse des Netzes an alle Teilnehmer gesendet. Empfängt ein Teilnehmer das Paket mit seiner IP Adresse, sendet er einen ARP Reply mit seiner MAC-Adresse zum Absender. Dieser trägt die MAC-Adresse in seinem ARP Cache ein.



**Abbildung 3.1:** ARP Paketformat

Die simple Architektur des ARP ermöglicht es, die Kommunikation im Netzwerk zu manipulieren und einen MitM Angriff im Netzwerk durchzuführen. Da im Protokoll keine Mechanismen zur Überprüfung der empfangenen Daten wie Checksum o. Ä. vorhanden sind und die Pakete über die Broadcast Adresse im Netzwerk verteilt werden, können die Pakete von jedem Teilnehmer im Netzwerk eingesehen und darauf geantwortet werden. Die Angriffsform des *ARP Spoofing* nutzt diese Schwachstelle im Protokoll aus. Der Angreifer versendet gefälschte ARP Pakete im Netzwerk. Diese beinhalten die MAC-Adresse der Netzwerkschnittstelle des Angreifers als Zuordnung zu den IP Adressen im Netzwerk. Der angegriffene Host sendet die Netzwerkpakete zur im Paket angegebenen IP Adresse zukünftig über den Host des Angreifers. Dies lässt den Angreifer die Pakete zwar empfangen, stellt aber die Funktionalität des Netzwerks ein. Um dies zu verhindern, muss der An-



greifer die Pakete nun mit Hilfe seiner ARP Tabelle zum eigentlichen Empfänger weiterleiten.

Moderne Intrusion Detection System (IDS) können *ARP Spoofing* anhand von Mustererkennung identifizieren und Maßnahmen zur Sperre dieser Netzwerkpakete einleiten. Aufgrund der geringen Gültigkeitsdauer des ARP Cache ist eine effiziente Erkennung und Vermeidung eines Angriffs in der Praxis nur schwer umzusetzen. Eine weitere Schutzmaßnahme gegen diese Form des Eingriffs in das Netzwerk kann durch das Arbeiten mit statischen Tabellen erreicht werden. Dies kann jedoch aufgrund des hohen Administrationsaufwands nur in kleinen Netzwerkinfrastrukturen zum Einsatz kommen.

### 3.4.2 QoS

Eine Industrie 4.0 Netzwerkinfrastruktur kann aufgrund der unterschiedlichen Anforderungen an die Systeme auf verschiedenste Weisen ausgeprägt sein. Die Heterogenität der Komponenten im Netzwerk und deren Anforderungen an die Kommunikation auf der vertikalen Ebene der Automatisierungspyramide Abschnitt 2.2 stellen eine Herausforderung für die Sicherheit der Datenübertragung dar und können die Umsetzung eines Netzwerks beeinflussen. Industrie 4.0 Umgebungen können sich über weite Distanzen (Metropolitan Area Network (MAN), WAN und Global Area Network (GAN)) erstrecken und sind somit auch von physikalischen Gegebenheiten wie Latenz und Jitter betroffen. Diese Erscheinungen müssen berücksichtigt werden, um eine fehler- und verlustfreie, sichere Kommunikation zu gewährleisten (Torscht 2014).

Für die Beurteilung und Bereitstellung der Dienstgüte in IP-Netzen müssen die Übertragungsgüte der Netzzugangsschicht sowie die übertragungstechnischen Parameter der Internetschicht (IP-Ebene) betrachtet werden. In IP-Netzen wird der Einfluss auf die QoS in den folgenden Parametern beschrieben:

- Latenzzeit: Dauer der Paketübertragung
- Jitter: Abweichung der Latenzzeit von ihrem Mittelwert
- Paketverlustrate: Wahrscheinlichkeit des Verlusts von IP-Paketen während der Übertragung
- Durchsatz: gemittelte Datenmenge pro Zeiteinheit

All diese Faktoren haben in einem paketorientierten Netzwerk, in welchem die Datenpakete nach dem *Best-Effort-Prinzip* versendet werden, auf die fehlerfreie Kommunikation aufgrund der durch *Ethernet* und IP bereitgestellten Fehler- und Flusskontrolle wenig Einfluss. Sie spielen jedoch bei zeitkritischen Anwendungen der Industrie 4.0 eine wichtige Rolle. Auf den niedrigeren Schichten des TCP/IP Referenzmodells ist es nicht möglich zwischen verschiedenen Datenpaketen der höheren Schichten zu unterscheiden. Um dieses Problem zu lösen werden Dienste mit besonderer Güte in VLANs aufgenommen und somit deren Pakete bereits auf der Netzzugangsschicht kenntlich gemacht (Unterabschnitt 3.3.2), um die Dienstqualität sicherzustellen. Des Weiteren müssen, um QoS in einem Netzwerk anzuwenden, diese Mechanismen auf der gesamten Übertragungsstrecke implementiert werden. Der Transport von Daten unterschiedlicher Priorität in Netzwerken wird in IEEE 802.1p und IEEE 802.1Q<sup>5</sup> beschrieben.

#### 3.4.3 IPsec

Die Internet Engineering Task Force (IETF) beschreibt im Request for Comments (RFC) 4301<sup>6</sup> die Architektur von IPsec. IPsec ermöglicht es die Schutzziele Vertraulichkeit, Authentizität und Integrität bereits auf der Internetschicht des TCP/IP Referenzmodells umzusetzen. Um alle Schutzziele umzusetzen, wird das Protokoll IP um die Bestandteile Authentication Header (AH), Encapsulating Security Payload (ESP) und IKE<sup>7</sup> erweitert.

IPsec wurde in der Industrie zur Bereitstellung von dauerhaften Site-to-Site Virtual Private Network (VPN) Verbindungen genutzt. Aufgrund der immer weiteren Öffnung der Unternehmen und der direkten Kommunikation der Komponenten miteinander finden diese Verbindungsformen in Industrie 4.0 Umgebungen jedoch immer seltener Anwendung. Seit der Verbreitung der Verschlüsselung der Anwendungsdaten über Transport Layer Security (TLS) werden für die Bereitstellung von getunneltem Netzwerkverkehr aufgrund der besseren Handhabbarkeit und der einfacheren Konfiguration für Administrator und Anwender bevorzugt Secure Sockets Layer (SSL)-VPN Lösungen verwendet.

---

<sup>5</sup>IEEE Std 802.1Q - IEEE Standard for Local and metropolitan area networks—Bridges and Bridged Networks

<sup>6</sup>RFC 4301 - Security Architecture for the Internet Protocol

<sup>7</sup>IKE - Protokoll zur Verwaltung der Security Association

Aufgrund der geringen Relevanz der Technik in Industrie 4.0 Netzwerken wird die Kommunikation über das Protokoll IPsec im weiteren Verlauf der Thesis nicht weiter untersucht.

### 3.5 Transportschicht

Während auf der Netzwerkschicht allein das Protokoll IP die Basis für die Vernetzung und Adressierung von Industrie 4.0 Systemen darstellt, wird das Protokoll der Transportschicht durch die Anforderungen an das Netzwerk bestimmt. Die Kommunikation in der Industrie 4.0 erfolgt über ein IP Netzwerk, welches zum Datentransport das Protokoll TCP für *End2End* (Abschnitt 2.3.3) Kommunikation nutzt (Plattform Industrie 4.0 2017). Wie in Unterabschnitt 2.3.3 beschrieben, bieten sich in der Praxis bei besonderen Anforderungen wie der Verteilung von Informationen im Netzwerk oder zeitkritischen Automatisierungsanwendungen jedoch auch andere Strukturen für die Kommunikation wie *Publish-Subscribe* (Abschnitt 2.3.3) in Verbindung mit dem Datagramm UDP an.

Das Protokoll TCP sowie das Datagramm UDP sind für die Übertragung der Segmente im Netzwerk sowie das Multi-/Demultiplexing verantwortlich. Dabei spielt der Inhalt des zu übertragenden *payload* keine Rolle. Die Analyse der Sicherheit im Netzwerk auf dieser Schicht des TCP/IP Referenzmodells beschränkt sich ausschließlich auf die Form der Datenübertragung sowie der dafür genutzten Netzlast.

#### 3.5.1 TCP

Das Protokoll TCP verfolgt das Prinzip eines *guaranteed delivery* und stellt eine zuverlässige Datenübertragung zwischen zwei *Hosts* (*Unicast*) bereit. Hierzu werden verschiedene Mechanismen zur Segmentierung der Daten, dem Verbindungsmanagement sowie der Fehler- und Flusskontrolle bereitgestellt. Diese Mechanismen, welche durch den Aufbau des des TCP Headers und die Nutzung von Timeouts und Algorithmen realisiert werden, sind für den Erfolg des Protokolls für zuverlässige, paketerorientierte *End2End* Kommunikation verantwortlich.

Ein wichtiger Bestandteil des TCP Verbindungsmanagements und der Fehlerkontrolle stellt der 3-Wege-Handshake beim Verbindungsaufbau sowie -abbau dar. Er wird mittels der *Sequence-* und *Acknowledgementnumber* sowie den zugehörigen

*Flags* des TCP Headers (synchronise (SYN), synchronise-acknowledge (SYN-ACK), acknowledge (ACK), final (FIN)) realisiert. Während des Verbindungsaufbaus werden die Adresse des Clients sowie der Status der Verbindung im Speicher gehalten. Die folgende Abbildung zeigt schematisch den Ablauf eines TCP Verbindungsaufbaus zwischen Client und Server. Der Client sendet zuerst ein Paket mit SYN-Flag zum Server. Dieser bestätigt das eingetroffene Paket des Clients mit dem SYN-ACK Flag, inkrementiert die Sequenznummer  $x$  in seinem *acknowledgment number* Segment und erzeugt eine neue Sequenznummer für das Antwortpaket. Der Verbindungsaufbau wird durch die Bestätigung des SYN-ACK Pakets durch den Client und den Empfang des ACK Pakets vom Server abgeschlossen. Die initiale Sequenznummer  $x$  des SYN Pakets sowie die initiale Sequenznummer  $y$  des SYN-ACK Pakets können von den Beteiligten frei bestimmt werden. Der 3-Wege-Handshake wird in Abbildung 3.2 an einem Verbindungsaufbau von Client zu Server dargestellt.

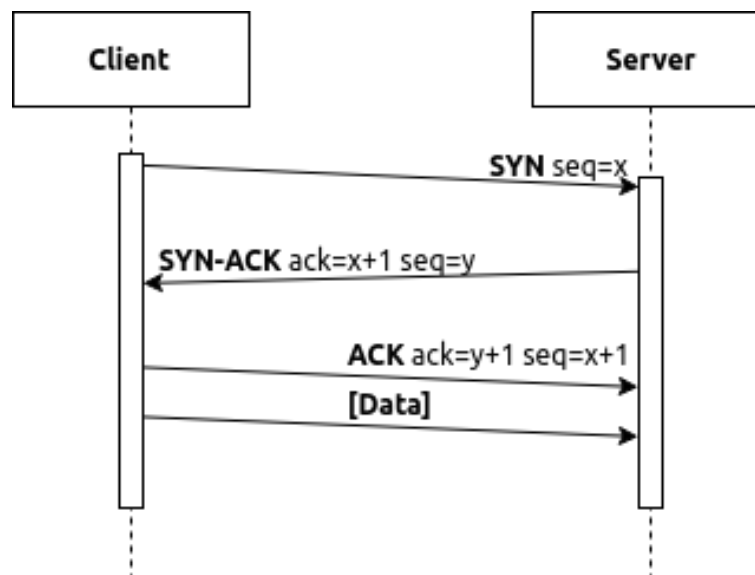


Abbildung 3.2: TCP Verbindungsaufbau

#### **SYN-Flood**

Der Mechanismus des 3-Wege-Handshakes kann durch einen SYN-Flood Angriff ausgenutzt werden und somit die Netz- und Systemlast manipuliert werden. Der SYN-Flood stellt eine Form des DoS bzw. DDoS Angriffs dar. Dabei werden zu einem gezielten TCP Dienst große Menge an Paketen mit gesetztem SYN *Flag* ge-

sendet, um einen Verbindungsaufbau zum Server vorzutäuschen. Nach Erhalt des Pakets sendet der Server dem Client ein SYN-ACK Paket um den Verbindungsaufbau zu initiieren und wartet auf Bestätigung. Diese Bestätigung wird vom Angreifer unterschlagen. Somit bleiben auf dem angegriffenen System Ressourcen dieser halb offenen Verbindung bis zum Erreichen eines Timouts belegt. Ein verteilter Angriff auf ein System kann dessen Ressourcen schnell komplett beanspruchen und somit zur Ablehnung jeglicher weiterer Verbindungen führen.

Die Kritikalität dieses Angriffs liegt in der Unausgewogenheit der benötigten Ressourcen zwischen Angreifer und Opfer. Es benötigt nur wenig Rechenaufwand und Bandbreite um ein 20 Byte großen TCP-SYN Header mit entsprechender *payload* zu erzeugen und zu versenden, jedoch viele Ressourcen um sich durch eine Echtzeitanalyse der Pakete durch eine Firewall oder SYN-Cookies vor diesen Angriffen zu schützen. Diese werden aufgrund ihrer Ressourcenbelastung aus wirtschaftlichen Gründen meist nur minimal oder gar nicht umgesetzt.

Der Mechanismus der SYN-Cookies wird auf dem Server implementiert. Hierbei werden die Informationen Zeitstempel, IP Adresse und Port von Client und Server in die initiale Sequenznummer des vom Server gesendeten SYN-ACK Pakets kodiert. Diese müssten normalerweise in einer Tabelle im Speicher gehalten werden. Ein Überlaufen der Tabelle ist somit unmöglich, da sie nicht vorhanden ist. Jedoch benötigt jede Kodierung und Dekodierung Systemressourcen. Ein ausreichend großer Angriff auf das System kann somit trotzdem die gesamten Systemressourcen beanspruchen und das Ziel eines DDoS Angriffs, der Negierung eines Dienstes, erfüllen.

Dedizierte Firewalls können mit Hilfe von IDS die Pakete beim Eintreffen im Netzwerk analysieren, Angriffe erkennen und Verbindungen dieser Quelladressen blockieren.

### **Sockstress**

Eine weitere Angriffsform, welche den 3-Wege-Handshake des TCP Protokolls als Mis-Use-Case nutzt, wurde im Jahr 2008 von den Sicherheitsforschern Jack C. Louis und Robert E. Lee von Outpost24<sup>8</sup> entdeckt und mit dem Namen *sockstress* bezeichnet. Der Angriff stellt eine einfache Form eines DoS Angriffs dar. Das Ziel

---

<sup>8</sup><http://www.outpost24.com>

dieses Angriffs ist, ähnlich wie beim SYN-Flood, eine Negierung eines Dienstes oder des gesamten Systems mit Hilfe asymmetrischer Ressourcenauslastung bei Angreifer und Opfer zu erzielen.

Im Gegensatz zum SYN-Flood stellt *sockstress* eine vollständige Verbindung zum Server über den 3-Wege-Handshake her. In der einfachsten Form des Angriffs wird das *Receive Window* Flag des TCP Headers im ersten TCP Segment, welches vom Client zum Server nach dem Verbindungsaufbau übertragen wird, auf 0 gesetzt. Dies bedeutet, dass der Client dem Server mitteilt, dass er im Moment keine weiteren Daten empfangen kann. Der Server wird durch den abgeschlossenen Verbindungsaufbau gezwungen, die Verbindung im Speicher zu halten und den Client periodisch zu prüfen, ob dieser Daten empfangen kann. Dies belegt Systemressourcen und kann genutzt werden, um einen Dienst oder ein System zum Ablehnen aller Verbindungen oder zum Absturz zu bewegen. Der Ablauf des Angriffs wird in Abbildung 3.3 in Anlehnung an ein Unified Modeling Language (UML)-Sequenzdiagramm schematisch dargestellt. Die Nutzung von SYN-Cookies bietet keinen Schutz gegen diese Form des Angriffs, da die Verbindung vom Client zum Server vollständig aufgebaut wird. Industrieanlagen müssen mit Hilfe externer DDoS Serviceanbieter wie Akamai<sup>9</sup> oder Cloudflare<sup>10</sup>, Firewalls und IDS Systeme oder spezieller Appliances, welche den Netzwerkverkehr Netzwerk-, Transport- und Anwendungsschicht überwachen, geschützt werden.

#### 3.5.2 UDP

Das von der IETF im RFC 768<sup>11</sup> definierte Datagramm UDP ist ein verbindungsloses, nicht-zuverlässiges Übertragungsprotokoll. Der UDP Header ist im Gegensatz zum TCP Header (20 Bytes) nur 8 Byte lang und bietet somit einen sehr geringen *Overhead* beim Versenden von IP Paketen. UDP wurde als Alternative zu TCP entwickelt, um die Kommunikation mit niedrigeren Latenzen für Dienste wie Simple Network Management Protocol (SNMP) oder DNS oder Voice over IP (VoIP) zu ermöglichen (Olsen 2003). Es wird auf den für die Latenz kritischen 3-Wege-Handshake verzichtet und das *Fire-and-Forget* Prinzip angewandt, wobei keine Verbindung zwischen zwei Kommunikationspartnern hergestellt wird, sondern die Pakete ohne Flusskontrolle von Sender zu Empfänger gesendet werden.

---

<sup>9</sup>Akamai - <https://www.akamai.com>

<sup>10</sup>Cloudflare - <https://www.cloudflare.com>

<sup>11</sup>RFC 768 User Datagram Protocol - <https://tools.ietf.org/html/rfc768>

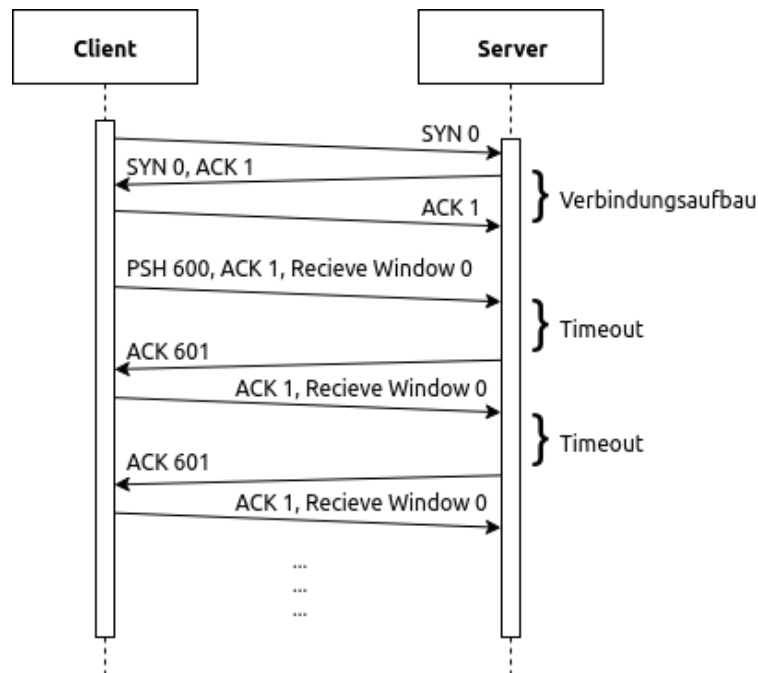


Abbildung 3.3: Sockstress Sequenzdiagramm

UDP findet in vielen Industrienetzen Einsatz als Transportprotokoll. Es bietet sich, vor allem durch seine Simplizität und den geringen Overhead im Netzwerk für die Informationsverteilung mit niedrigen Latenzzeiten an. Durch die Broad- und Multicast Funktionalitäten des UDP ist es möglich über das in Abschnitt 2.3.3 beschriebene *Publish Subscribe* Muster zu kommunizieren und somit die Netzlast bei einer großen Anzahl von Empfängern gering zu halten.

UDP führt keine Validierung der Absenderadresse im Paketheader durch (Olsen 2003). Dies ermöglicht die Anwendung von IP Spoofing. IP Spoofing kann genutzt werden, um DoS bzw. DDoS Angriffe auf ein System durchzuführen. Eine Untersuchung des Netzwerkdienstes DNS, welcher auf der Nutzung des Transportprotokolls UDP basiert, wird in Unterabschnitt 3.6.1 beschrieben und durchgeführt.

### 3.6 Anwendungsschicht

Die Netzwerkkommunikation der Anwendungsschicht in Industrie 4.0 Umgebungen basiert auf dem IP der Internetschicht. Um die Integration und Verwaltung der Netzwerkteilnehmer zu erleichtern, werden IP basierende Dienste wie DNS für die Namensauflösung sowie DHCP für die Adressvergabe und das Routing genutzt.

Die Anwendungsschicht des TCP/IP Referenzmodells wird durch eine Vielzahl von Protokollen beschrieben. Bestehende Lösungen des IoT nutzen Protokolle wie HTTP, Extensible Messaging and Presence Protocol (XMPP) oder SMTP zur Kommunikation über das Netzwerk. In der M2M Kommunikation des IIoT haben sich die Protokolle und Standards OPC UA, DDS, MQTT und CoAP für unterschiedliche Anforderungen an die Netze und deren Teilnehmer hervorgerufen.

### 3.6.1 DNS

DNS wird von der IETF in den RFC 1034<sup>12</sup>, 1035<sup>13</sup>, 2181<sup>14</sup> und 2782<sup>15</sup> beschrieben und verwaltet. Es stellt einen hierarchischen Verzeichnisdienst für IP-Netze zur Verfügung.

Eine der Hauptaufgaben des DNS ist der *forward lookup*. Hierbei werden Domain- bzw. Hostnamen in IP-Adressen übersetzt. Das Zusammenspiel eines hierarchischen Verzeichnisdienstes und der Namensauflösung bietet Angriffsfläche zum Eingriff auf die Kommunikation im Netzwerk. Im den folgenden Abschnitten werden bekannte Angriffsformen auf den DNS Dienst und deren Auswirkungen auf das Netzwerk beschrieben.

#### ***DNS Spoofing***

Die Angriffsmethode des DNS Spoofing verfolgt, ähnlich wie *Cache Poisoning*, das Ziel gefälschte Resource Record (RR) in den DNS Cache des Opfers einzuschleusen. Während das *Cache Poisoning* aus einer Softwareschwachstelle hervorging, bei der zusätzliche, gefälschte DNS Einträge zu korrekten DNS Antworten hinzugefügt wurden und somit der Cache eines Nameservers kompromittiert wurde, befindet sich der Angriffsvektor beim DNS Spoofing in der Fälschung von DNS Antworten. Die Header der Netzwerkpakete werden mit Hilfe von *IP Spoofing*<sup>16</sup> so manipuliert, dass sie vorgeblich vom *authorativen* Nameserver stammen.

---

<sup>12</sup>Domain Names – Concepts and Facilities

<sup>13</sup>Domain Names – Implementation and Specification

<sup>14</sup>Clarifications to the DNS Specification

<sup>15</sup>A DNS RR for specifying the location of services (DNS SRV)

<sup>16</sup>IP Spoofing bezeichnet das Versenden von IP Paketen mit gefälschter Absender IP



Um DNS Spoofing erfolgreich durchzuführen muss die gefälschte DNS Response des Angreifers vor der Antwort des zuständigen Nameservers beim angegriffenen DNS Resolver eintreffen. Sobald der physikalische Zugang zum Netzwerk gewährleistet ist, können die Latenzzeiten der gefälschten Pakete im Netzwerk sehr gering gehalten werden. Ist dies nicht möglich, kann mit Hilfe eines DoS bzw. DDoS Angriffs auf den zuständigen Nameserver, dessen Antwortzeit beeinflusst werden. Des weiteren muss die ID im DNS Header mit der des Request übereinstimmen. Dies wird in Abbildung 3.4 dargestellt und kann mit Hilfe des Netzwerkanalysertools Wireshark in einer beliebigen Netzwerkumgebung mit zuständigem DNS Server nachgewiesen werden. Auf der linken Seite ist ein DNS Request eines Hosts im Netzwerk und dessen DNS Header mit ID zu erkennen. Auf der rechten Seite ist die Antwort des im Netzwerk vorhandenen DNS Nameservers zu sehen. Request und Response müssen die gleiche ID besitzen, um als gültig betrachtet zu werden.

No.	Time	Source	Destination	No.	Time	Source	Destination
10	0.383177036	172.18.0.2	10.0.150.1	10	0.383177036	172.18.0.2	10.0.150.1
11	0.383492183	10.0.150.1	172.18.0.2	11	0.383492183	10.0.150.1	172.18.0.2

<p>Frame 10: 75 bytes on wire (600 bits), 75 bytes captured (600) on interface 0</p> <p>Ethernet II, Src: 02:42:ac:12:00:02 (02:42:ac:12:00:02), Dst: 02:42:ac:12:00:01 (02:42:ac:12:00:01)</p> <p>Internet Protocol Version 4, Src: 172.18.0.2, Dst: 10.0.150.1</p> <p>User Datagram Protocol, Src Port: 54031, Dst Port: 53</p> <p>Domain Name System (query)</p> <p>Transaction ID: 0xa85d</p> <p>Flags: 0x0100 Standard query</p> <p>Questions: 1</p> <p>Answer RRs: 0</p> <p>Authority RRs: 0</p> <p>Additional RRs: 0</p> <p>Queries</p> <p>discoveryserver: type A, class IN</p> <p>Name: discoveryserver</p> <p>[Name Length: 15]</p> <p>[Label Count: 1]</p> <p>Type: A (Host Address) (1)</p> <p>Class: IN (0x0001)</p> <p>[Response in 11]</p> <p>0000 02 42 58 54 18 25 02 42 ac 12 00 02 08 00 45 00 .BXT.4</p> <p>0010 00 3d 83 6c 40 00 40 11 6b 2e ac 12 00 02 0a 00 .=.18.4</p> <p>0020 96 01 d3 0f 00 35 00 29 4c 50 a8 5d 01 00 00 01 .....5</p>	<p>Frame 11: 91 bytes on wire (728 bits), 91 bytes captured (728) on interface 0</p> <p>Ethernet II, Src: 02:42:58:54:18:25 (02:42:58:54:18:25), Dst: 02:42:ac:12:00:02 (02:42:ac:12:00:02)</p> <p>Internet Protocol Version 4, Src: 10.0.150.1, Dst: 172.18.0.2</p> <p>User Datagram Protocol, Src Port: 53, Dst Port: 54031</p> <p>Domain Name System (response)</p> <p>Transaction ID: 0xa85d</p> <p>Flags: 0x8580 Standard query response, No error</p> <p>Questions: 1</p> <p>Answer RRs: 1</p> <p>Authority RRs: 0</p> <p>Additional RRs: 0</p> <p>Queries</p> <p>Answers</p> <p>discoveryserver: type A, class IN, addr 172.18.0.7</p> <p>Name: discoveryserver</p> <p>Type: A (Host Address) (1)</p> <p>Class: IN (0x0001)</p> <p>Time to live: 1</p> <p>Data length: 4</p> <p>Address: 172.18.0.7</p> <p>[Request in 10]</p> <p>[Time: 0.000315147 seconds]</p>
---	--

Abbildung 3.4: Wireshark - ID im DNS Header

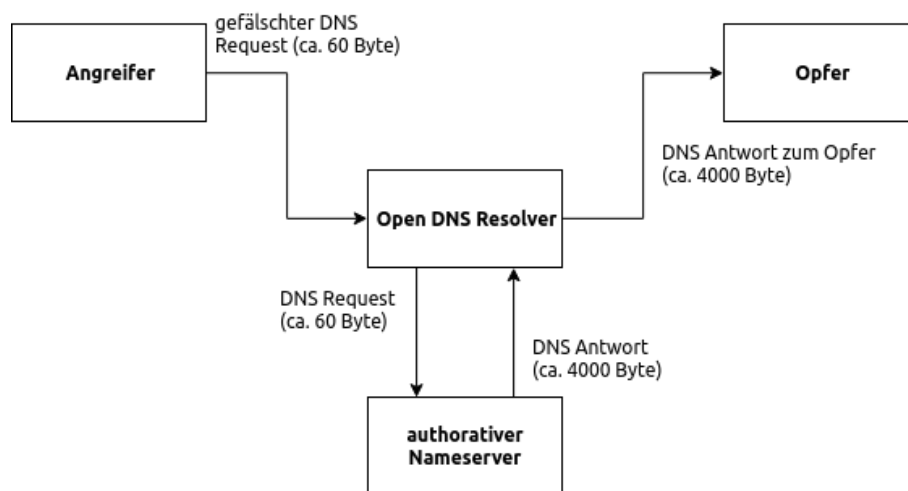
### DNS Amplification

Eine Form eines DDoS Angriffs ist über DNS möglich und wird DNS Amplification genannt. Bei der DNS Amplification werden DNS Anfragen an offene Nameserver gesendet und mit Hilfe von IP Spoofing als Quell-IP die Adresse des Angreifers genutzt. Somit treffen die DNS Antworten beim anzugreifenden System ein und belasten dieses durch erhöhten Rechenaufwand sowie dessen Netzwerk durch Traffic. Ein weiterer Seiteneffekt dieses Angriffs ist eine hohe Last der Nameserver, welches durch das rekursive Verhalten der DNS Namensauflösung hervorgerufen

wird. DNS Amplification beschreibt eine Form des Distributed-Reflected-Denial-of-Service (DRDoS).

Mit der Erweiterung des DNS in der IETF RFC 2617<sup>17</sup> wurde es notwendig, die Größe der DNS Antworten von 512 Byte auf einen dynamischen Puffer bis über 4000 Bytes zu erhöhen, um zusätzliche Informationen und Flags über den DNS übertragen zu können. Dies wird sich vom Angreifer zunutze gemacht, da an den Nameserver Requests mit einer Paketgröße von 60 Bytes gesendet werden können, welche eine Antwort mit 4000 Bytes und mehr provozieren und somit einen Base Amplification Factor (BAF)<sup>18</sup> von ca. 66 im Netz haben (Ledermüller 2009). Dieser wird bei DNS Amplification durch die Paketgröße der Anfrage sowie der Antwort dargestellt.

Abbildung 3.5 stellt die Funktionsweise eines mit Hilfe von DNS Amplification durchgeführten DDoS Angriffs dar. Der Angreifer (links) sendet zum offenen Nameservern gefälschte DNS Anfragen mit Quelladresse des Opfers (rechts). Der Nameserver erfragen beim *authorativen* Nameserver die Zone, dieser stellt die erfragten RR bereit, anschließend sendet der Nameserver dem Opfer die Antworten zu.



**Abbildung 3.5:** Schematisches Beispiel: DNS Amplification

Diese Form des Angriffs kann aus dem internen Netz sowie von extern auf öffentlich zugängliche Systeme durchgeführt werden. DoS Attacken stellen besonders für Industrie 4.0 Netzwerke, deren komplexe Kommunikation und Anforderungen eine hohe Bedrohung dar. Durch den erheblichen BAF können diese Angriffe mit wenig Bandbreite beim Angreifer durchgeführt werden und gleichzeitig das Netzwerk des

<sup>17</sup>RFC 2617 Extension Mechanisms for DNS (EDNS0) - <https://www.ietf.org/rfc/rfc2671.txt>

<sup>18</sup>BAF - Verhältnis von Eingangs- zum Ausgangssignal

Opfers voll auslasten. Wie in Abbildung 3.6 dargestellt, kann durch die Abfrage der Zone *isc.org* eine 3385 Byte große Antwort vom Nameserver provoziert werden. Dies führt zu einem BAF von ca. 56. Abbildung 3.7 beschreibt die Netzlast während eines DNS Amplification Angriffs im Quell- und Zielnetz. Auf der X-Achse wird die Anzahl der gesendeten Pakete pro Sekunde dargestellt, die Y-Achse zeigt die Netzlast in Gigabit pro Sekunde. Es ist eine lineare Steigerung der Netzlast in beiden Netzen zu erkennen, entscheidend ist jedoch der BAF. Beim Versandt von 10000 Paketen pro Sekunde müssen im Quellnetz nur ca. 4,8 Megabit/s an Daten transferiert werden, im Zielnetzwerk wird mit 287 Megabit/s eine wesentlich höhere Last erzeugt. Es ist möglich, mit einer vergleichsweise geringen Bandbreite im Quellnetz ein Netzwerk mit hoher Bandbreite im Zielnetz auszulasten.

Der DNS bietet weitere Angriffsmöglichkeiten wie DNS Fast Fluxing oder DNS Information Leakage. Diese Angriffe dienen zum *Phishing* von Daten oder der Spionage der Netzwerkstruktur. Sie nehmen initial keinen Einfluss auf den Netzwerkverkehr und dienen der Vorbereitung von Folgeangriffen und dem Sammeln von Informationen. Die Analyse der Sicherheit der Netzwerkkommunikation beschränkt sich auf Angriffe, welche direkten Einfluss in die Kommunikation im Netzwerk haben.

Das DNS kann um zusätzliche Sicherheitsmechanismen wie Transaction Signature (TSIG) und Domain Name System Security Extensions (DNSSEC) erweitert werden, um einen Schutz vor Eingriffen in die Namensauflösung zu gewährleisten. Diese bieten die Möglichkeit die Kommunikation zwischen Nameservern und Resolvern zu sichern, die Authentizität sowie die Validität der Zonen sicherzustellen. Bei TSIG werden symmetrische Schlüssel während der Übertragung der Domainzonen genutzt, DNSSEC benötigt die Verwendung von Extended DNS und erweitert die Zonen der Domains um zusätzliche RR. Diese beinhalten den öffentlichen Schlüssel eines asymmetrischen Schlüsselpaars. Der private Schlüssel liegt beim *authorativen* Nameserver der Zone. Durch die Signierung der Zonen ist deren Authentizität geschützt. Alle im Internet vorhandenen Root-Nameserver nutzen die DNS Erweiterung DNSSEC. In internen Netzen werden diese Sicherheitsmaßnahmen aufgrund von zusätzlichem Aufwand meist nicht umgesetzt (Ledermüller 2009).

### 3 Analyse

```
; <<>> DiG 9.13.0 <<>> -t any isc.org
;; global options: +cmd
;; Got answer:
;; ->HEADER<- opcode: QUERY status: NOERROR, id: 45468
;; flags: qr rd ra; QUERY: 1, ANSWER: 32 AUTHORITY: 0, ADDITIONAL: 1

;; OPT PSEUDOSECTION:
; EDNS: version: 0, flags:; udp: 1280
;; QUESTION SECTION:
;isc.org. IN ANY

;; ANSWER SECTION:
isc.org. 7200 IN SPF "v=spf1 a mx ip4:204.1
isc.org. 7200 IN CAA 0 issue "letsencrypt.o
isc.org. 60 IN A 149.20.64.69
isc.org. 7200 IN MX 20 mx.ams1.isc.org.
isc.org. 7200 IN TXT "google-site-verificat
isc.org. 7200 IN CAA 0 iodef "mailto:hostma
isc.org. 7200 IN NS ams.sns-pb.isc.org.
isc.org. 7200 IN NS ord.sns-pb.isc.org.
isc.org. 7200 IN CAA 0 issue "comodoca.com"
isc.org. 7200 IN MX 10 mx.pao1.isc.org.
isc.org. 7200 IN SOA ns-int.isc.org. hostma
isc.org. 7200 IN DNSKEY 257 3 5 BEAAAA0hHQDBrh
isc.org. 7200 IN CAA 0 issue "Digicert.com"
isc.org. 7200 IN DNSKEY 256 3 5 AwEAAcdkaRUlsR
isc.org. 7200 IN NS ns.isc.afiliat-nst.inf
isc.org. 7200 IN TXT "v=spf1 a mx ip4:204.1
isc.org. 3600 IN NSEC _adsp._domainkey.isc.o
isc.org. 7200 IN NAPTR 20 0 "S" "SIP+D2U" ""
isc.org. 7200 IN NS sfba.sns-pb.isc.org.
isc.org. 60 IN AAAA 2001:4f8:0:2::69
isc.org. 7200 IN RRSIG SOA 5 2 7200 201807112
isc.org. 7200 IN RRSIG NS 5 2 7200 2018071123
isc.org. 60 IN RRSIG A 5 2 60 2018071123340
isc.org. 7200 IN RRSIG MX 5 2 7200 2018071123
isc.org. 7200 IN RRSIG TXT 5 2 7200 201807112
isc.org. 60 IN RRSIG AAAA 5 2 60 2018071123
isc.org. 7200 IN RRSIG NAPTR 5 2 7200 2018071
isc.org. 3600 IN RRSIG NSEC 5 2 3600 20180711
isc.org. 7200 IN RRSIG DNSKEY 5 2 7200 201807
isc.org. 7200 IN RRSIG DNSKEY 5 2 7200 201807
isc.org. 7200 IN RRSIG SPF 5 2 7200 201807112
isc.org. 7200 IN RRSIG CAA 5 2 7200 201807112

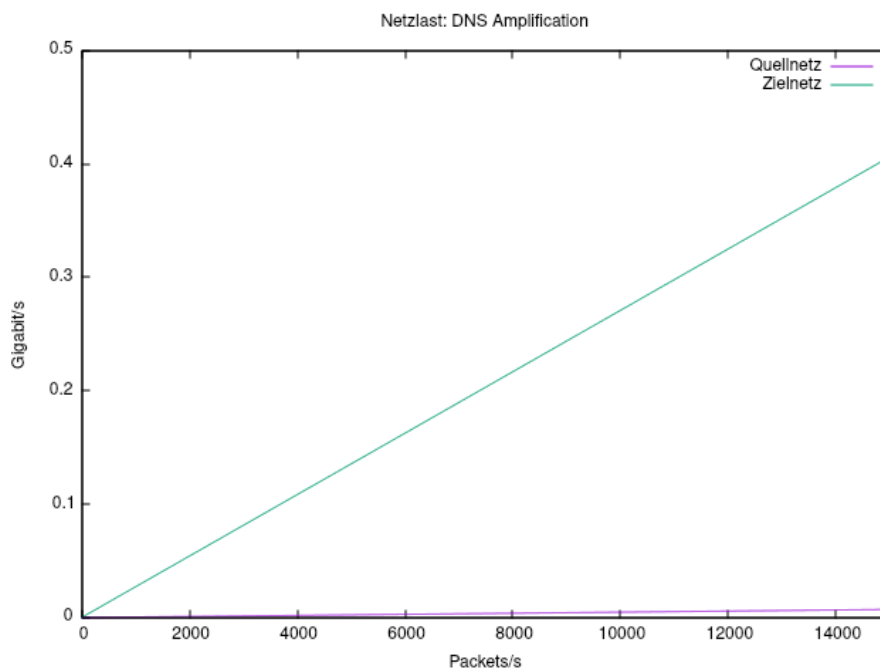
;; Query time: 596 msec
;; SERVER: 10.0.150.1#53(10.0.150.1)
;; WHEN: Mo Jun 18 18:04:45 CEST 2018
;; MSG SIZE rcvd: 3385
```

Abbildung 3.6: DNS Amplifikation am Beispiel von isc.org

#### 3.6.2 DHCP

DHCP ist von der IETF im RFC 2131<sup>19</sup> definiert. Es stellt ein Framework zur Bereitstellung von Host-Konfigurationsparametern in einem TCP/IP Netzwerk dar. Dazu gehören die IP Adresse, Netzmaske, Gateway sowie zuständiger DNS des Clients. Da ein neuer Client im Netzwerk keine Informationen über die vorhandenen Clients und dessen Topologie besitzt, muss er, um die Konfigurationsparameter für das Netzwerk zu erhalten (DHCP Discover), über einen Broadcast im Netzwerk nach

<sup>19</sup>RFC 2131 Dynamic Host Configuration Protocol - <https://www.ietf.org/rfc/rfc2131.txt>



**Abbildung 3.7:** Netzlast bei DNS Amplification

Adressangeboten fragen. Der DHCP Discover findet über das Transportprotokoll UDP statt.

Der Mangel an Informationen bei der initialen Verbindung eines Clients im Netzwerk, kann von einem Angreifer genutzt werden, um die Netzwerkkonfiguration zu manipulieren. Da der Broadcast des Clients an das gesamte Netzwerk versandt wird, ist es dem Angreifer möglich selbst auf diese Anfrage zu antworten. Hierzu wird die Technik des Spoofing in Verbindung mit ARP Poisoning oder einem zusätzlichen DHCP Server (Rogue DHCP), welcher vom Angreifer kontrolliert wird, im Netzwerk genutzt. In diesem Fall muss es dem Angreifer nur gelingen schneller auf den DHCP Discover bzw. DHCP Request des Clients zu antworten als der zuständige DHCP Server. Somit kann die Netzwerkkonfiguration des Clients manipuliert werden.

Ein Angriff auf das DHCP in Netzwerken kann weitreichende Folgen für die Netzwerksicherheit mit sich bringen. Durch die Änderung der Client-Adressen und Subnetze kann es zu IP Adresskonflikten im Netzwerk kommen und die Kommunikation beschränkt bzw. stillgelegt werden. Größere Auswirkungen auf die Netzwerksicherheit stellt das Umlenken des Datenverkehrs durch Manipulation der DNS- bzw. Gateway-Parameter dar. Hierbei kann der gesamte Netzwerkverkehr eines Clients

umgelenkt werden, um einen MitM Angriff durchzuführen und den Netzwerkverkehr auszulesen.

Da das IP Hilfsprotokoll DHCP keine Sicherheitsmaßnahmen zur Verhinderung dieser Angriffe mit sich bringt, ist es notwendig sich vor diesen Bedrohungen schon auf den unteren Schichten des TCP/IP Referenzmodells zu schützen. Eine in der Industrie weit verbreitete Technik zum Verhindern von Angriffen auf das DHCP wird bereits in der Netzzugangsschicht umgesetzt. Netzwerkkomponenten wie Router und Switches werden mit Hilfe von DHCP Snooping konfiguriert, welches es ermöglicht DHCP Nachrichten zu überwachen und diese nur von vertrauenswürdigen Ports in das Netzwerk weiterzuleiten. Somit werden DHCP Pakete, welche von einem im Netzwerk eingeschleusten Rogue DHCP Server verteilt werden direkt verworfen und nehmen keinen Einfluss auf das bestehende Netzwerk.

#### 3.6.3 OPC Unified Architecture (OPC UA)

Die OPC UA beschreibt ein mehrschichtiges, generisches Sicherheitskonzept, welches *Transport Layer*, *Communication Layer* und *Application Layer* umfasst. Die Kommunikation des Protokolls OPC UA wird während des Nachrichtenaustauschs über eine Unified Architecture (UA) *Secure Conversation* durchgeführt. Diese wird vom Netzwerkstack, dem in der Transportschicht genutzten Protokoll, dem *Secure Channel* sowie der *Session* der Anwendungsschicht (Abbildung 3.8) bestimmt. (OPC Foundation 2018b)

In der *Session* werden die Sicherheitsbestandteile Benutzerauthentifizierung und Benutzerautorisierung umgesetzt sowie die Nutzdaten übertragen (OPC Foundation 2018b). Die auftretenden Daten werden zur Übertragung an den *Communication Layer* übergeben. Die Sicherheit der *Session* basiert somit auf den Gegebenheiten des *Secure Channel* im *Communication Layer*. Die Form der Nachrichten im *Secure Channel* wird durch die *Security Policy* im gewählten *Message Security Mode* bestimmt.

Aufgrund der verschiedenen Anforderungen der Industrie an ihre Systeme werden von OPC UA mehrere *Security Policies* im *Secure Channel* zur Informationsübertragung zur Verfügung gestellt. Dies ist notwendig, da die Verwendung von Verschlüsselungsalgorithmen und Kodierungsverfahren Ressourcen benötigt und Latenzen verursacht, welche unter Umständen nicht vorhanden sind oder nicht geleis-

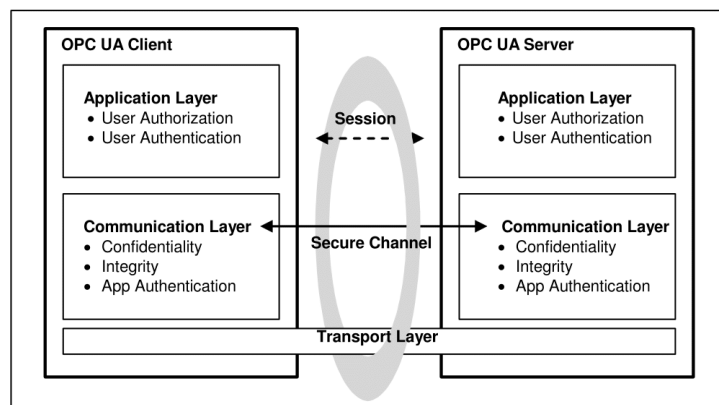


Abbildung 3.8: OPC UA Security Architecture

tet werden können. Eine Fehlkonfiguration des Protokolls kann jedoch Auswirkungen auf den Betrieb des Netzwerks und der Komponenten haben sowie die Integrität der Daten gefährden. Die Bezeichnungen der geöffneten Verbindungen können irreführend sein, da bei der Verwendung der *Security Policy* „none“ zwar ein *Secure Channel* hergestellt wird, welcher jedoch keine Sicherheitsprofile bereitstellt und somit die unverschlüsselte Kommunikation der Komponenten zulässt (OPC Foundation 2018e).

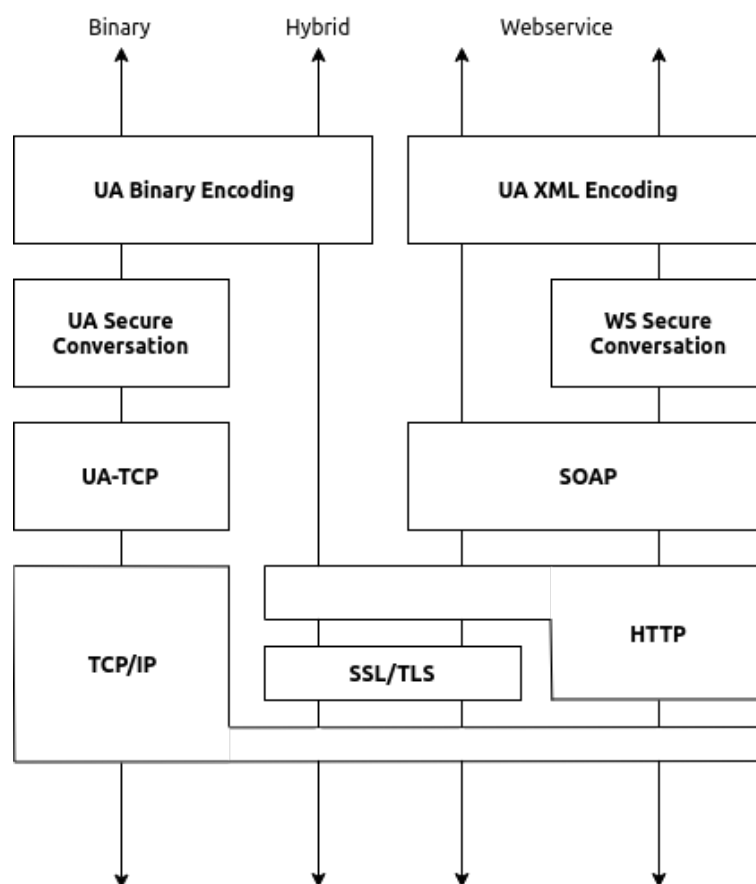
Auf der Transportschicht beschreibt die Spezifikation von OPC UA mit dem UACP ein abstraktes Protokoll zur Herstellung einer Vollduplexverbindung in einer Client-Server Architektur. Implementierungen dieses Protokolls können über jede Middleware, welche den Austausch von Nachrichten im Vollduplexverfahren über TCP/IP und *Websockets* unterstützt, durchgeführt werden. Somit ist das von OPC UA spezifizierte Protokoll für die Zukunft flexibel. Die Spezifikation des abstrakten Protokolls UACP wird im 5. Teil der OPC UA Spezifikation<sup>20</sup> (OPC Foundation 2018d) beschrieben und beinhaltet die Form der Nachricht, den Verbindungsaufbau, die Kommunikation und die Fehlerbehandlung.

Die *Transport Layer Security* stellt die Sicherheit auf Nachrichtenebene her und erfüllt die Schutzziele Authentifizierung, Integrität und Vertraulichkeit. Um dies zu ermöglichen, werden verschiedene Transport- sowie Anwendungsprotokolle im Verbund genutzt. Die Sicherheitsmechanismen der Anwendungsschicht dienen der Bereitstellung der Authorisierung und Authentifizierung der Benutzer.

In Abbildung 3.9 werden die von OPC UA bereitgestellten Protokollstacks beschrieben. Diese bestehen aus einer Verbindung von TCP auf Transportebene und dem

<sup>20</sup>OPC Unified Architecture Specification Part 6: Mappings

UA Binary Protokoll zur Kodierung der Nachrichten, einem Webservice über HTTP bzw. Hypertext Transfer Protocol Secure (HTTPS) und Simple Object Access Protocol (SOAP) mit Extensible Markup Language (XML) Encoding oder einer hybriden Form aus beiden. Alle Kommunikationsformen beinhalten mit UA Secure Conversation, TLS und Webservice (WS) Secure Conversation ein Sicherheitsmodell auf Transport- oder Nachrichtenebene. Die Nutzung von Webtechnologien sowie eines binären Protokolls ermöglicht eine hohe Kompatibilität und flexible Anwendungsmöglichkeiten des Protokolls in Umgebungen mit unterschiedlichen Anforderungen.



**Abbildung 3.9:** OPC UA Kommunikationswege

Die beschriebenen Protokollstacks (Abbildung 3.9) bilden mit ihren Sicherheitsmechanismen die Grundlage für eine sichere Datenübertragung. Die Form der Datenübertragung über SOAP/HTTP wurde ab Version 1.03 der Spezifikation als veraltet angesehen, da es in der Industrie nicht umgesetzt wurde (OPC Foundation 2018d) und wird im weiteren Verlauf der Thesis nicht beschrieben. Die Protokolle UA Bi-



nary über TCP und die Hybridform aus den Protokollen UA Binary und HTTPS Webservice werden produktiv genutzt und im folgenden näher erläutert.

### ***UA Binary über TCP***

Das UA Binary Protokoll über TCP wird für Kommunikation mit optimierter Geschwindigkeit und Durchsatz genutzt. Es besitzt den geringsten Overhead sowie Ressourcenverbrauch, da kein zusätzlicher Parser für HTTP oder XML genutzt werden muss und somit die Systemlast gering gehalten werden kann. Die sichere Kommunikation wird erst auf Nachrichtenebene durch die UA Secure Conversation hergestellt. Für die Transportebene gelten durch das genutzte Protokoll TCP weiterhin die Bedrohungen von Unterabschnitt 3.5.1.

### ***UA Binary über HTTPS***

Die Hybridform der Kommunikation über einen HTTPS Webservice mit Hilfe der UA Binary Protokolls vereint die Vorteile des Ressourcenschonenden UA Binary Protokolls über TCP und die weitreichende Kompatibilität eines Webservices. Die Sicherheit der Netzwerkkommunikation wird auf der Transportebene mit Hilfe von TLS hergestellt.

In der aktuellen Version des OPC UA Protokolls wird die Transportsicherheit mit TLS 1.2 und der Cipher Suite *TLS RSA WITH AES 256 CBC SHA256* bereitgestellt (OPC Foundation 2018e). Hierbei ist zu beachten, dass die Rechenleistung der Systeme wächst und somit Verschlüsselungsalgorithmen mit der Zeit unsicher werden. Eine TLS Verbindung mit schwacher Cipher Suite stellt keine sichere Verbindung bereit. Des Weiteren wurden in den Implementierungen von TLS bereits schwerwiegende Fehler verursacht, welche die Transportsicherheit wie z. B. im Falle von *Heartbleed* einschränken können.

Eine weitere Bedrohung stellt das genrelle Verfahren der Ausstellung von Zertifikaten bereit. Diese Zertifikate werden von Dienstleistern ausgestellt, welche als vertrauenswürdig eingestuft und als Root-Certificate Authority (CA) bezeichnet werden. Die Herstellung der Vertrauenswürdigkeit eines Ausstellers liegt im Ermessen des Softwareherstellers und dessen Aufnahme in die Liste vertrauenswürdiger CA.

Die Verwaltung der Zertifikate im Netzwerk kann, um ein erhöhtes Maß an Sicherheit zu gewährleisten, durch Bereitstellung einer CA, Registration Authority (RA) und Validation Authority (VA) im Netzwerk selbst umgesetzt werden. Diese Bestandteile beschreiben eine Public-Key Infrastructure (PKI). Sie dient der Erzeugung, Verteilung, Überprüfung, Verwaltung und Speicherung der öffentlichen sowie privaten, asymmetrischen Schlüssel und Zertifikate. Die intern erstellten und genutzten Zertifikate können erst für die Kommunikation mit externen Partnern genutzt werden, wenn dieser die CA des Unternehmens als vertrauenswürdig einstuft. Geschieht dies nicht, ist die Herstellung einer vertrauenswürdigen Verbindung nur über ein Zertifikat eines akkreditierten Zertifizierungsdienstanbieters möglich.

### 3.6.4 CoAP

Um den in Unterabschnitt 2.3.1 beschriebenen Einsatzmöglichkeiten in ressourcenbeschränkten Umgebungen sowie der M2M Kommunikation gerecht zu werden, stellt das Protokoll CoAP, welches im Rahmen des IETF im RFC 7252<sup>21</sup> standardisiert wird, eine einfache Paketstruktur für einen geringen Overhead bei der Kommunikation im Netzwerk bereit. Der Header des Protokolls CoAP besteht aus 32 Bit. Dieser wird von einem *Token*, weiteren *Options* Parametern sowie dem *Payload* gefolgt. CoAP basiert auf dem Transportprotokoll UDP. Der minimale Header sowie die Nutzung von UDP ermöglicht es, auch bei häufiger Kommunikation der Komponenten im Netzwerk die Netzlast gering zu halten. Das Nachrichtenformat des CoAP Protokolls wird in Abbildung 3.10 dargestellt.

Die Nutzung des Protokolls UDP macht es weiterhin möglich Multicast Nachrichten im Netzwerk zu verbreiten. Dies ermöglicht das Auffinden von Ressourcen im Netzwerk und ist für M2M Kommunikation in Industrie 4.0 Umgebungen von großer Bedeutung. CoAP Server werden mit Hilfe ihrer Uniform Resource Identifier (URI) referenziert. Werden neue Server im Netzwerk integriert, so ist es möglich, den Server mit Hilfe eines Broad- oder Multicast im Netz oder Teilnetzen bekannt zu machen. (Trapickin 2013)

UDP verhindert jedoch, dass eine Verschlüsselung der Nutzdaten über TLS bereitgestellt werden kann. TLS benötigt eine zuverlässige Übertragung der Pakete, da es auf einer sequenziellen Integritätsprüfung der Daten beruht. Diese Anforderungen

---

<sup>21</sup>RFC 7252 The Constrained Application Protocol (CoAP) - <https://tools.ietf.org/html/rfc7252>

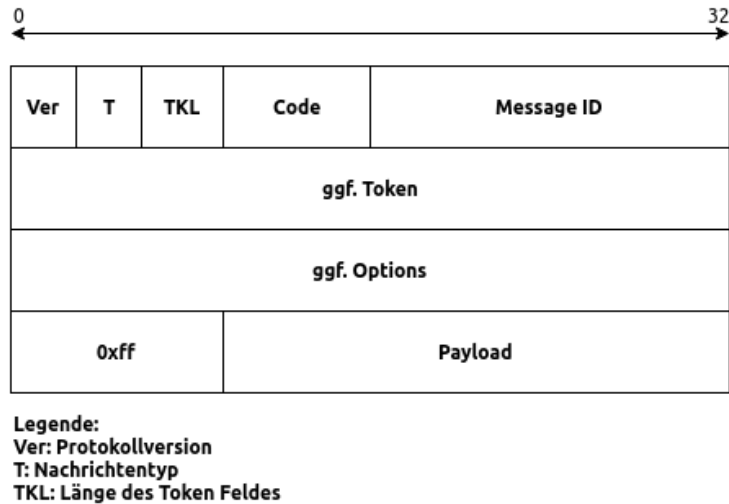


Abbildung 3.10: CoAP Message Format

werden vom unzuverlässigen Datagramm UDP nicht erfüllt. Eine Sicherung der Datenübertragung muss mit Hilfe von Datagram Transport Layer Security (DTLS) hergestellt werden.

### 3.7 Zwischenfazit

Das Ziel einer weitreichenden Vernetzung aller Komponenten in Industrie 4.0 Umgebungen erfordert ein hohes Maß an Kommunikation zwischen den Komponenten. Neue Industrie 4.0 Netze basieren auf etablierten Technologien wie TCP, UDP und IP und deren Dienste und Übernehmen deren Eigenschaften sowie Vor- und Nachteile der unteren Ebenen des TCP/IP Referenzmodells. Durch die Vereinheitlichung der Netzwerkkommunikation über den IP Stack und der Vernetzung von Industriekomponenten mit Business- und Anwendungsprozessen, spielt die Bereitstellung einer sicheren Kommunikation im Netzwerk und der Schutz der Produktionssysteme vor unbefugten Zugriffen eine zentrale Rolle.

Der Fokus der Weiterentwicklung der Kommunikation in Industrie 4.0 Netzwerken liegt auf der Etablierung neuer Anwendungsprotokolle zur effizienten Nachrichtenübermittlung. Darunter zählt die umfangreiche Industrielösung OPC UA sowie ressourcenschonende Protokolle für integrierte Lösungen wie CoAP. OPC UA stellt ein zukunftsorientiertes, generisches Protokoll zur Kommunikation im Netzwerk bereit. Durch die hohe Flexibilität, welche durch die weitreichenden Anforderungen der Industrie erforderlich ist, erfordert die Umsetzung einer Infrastruktur mit

diesem Protokoll ein hohes Maß an administrativem Aufwand und kann bei Fehlkonfiguration eine Schwachstelle im Netzwerk darstellen.

Die in Kapitel 3 überprüften Angriffsszenarien werden in Tabelle 3.1 mit deren zuständigen Ebenen des TCP/IP Referenzmodells dargestellt.

**Tabelle 3.1:** Angriffsszenarien und Ebenen des TCP/IP Referenzmodells

Angriff	Ebene	Angriffsziel
ARP Spoofing	Netzzugangs-, Internetschicht	Datenspionage
DHCP Spoofing	Netzzugangs-, Internetschicht, Anwendungsschicht	Datenspionage
SYN-Flood	Transportschicht	Denial of Service
Sockstress	Transportschicht	Denial of Service
DNS Amplification	Transport-, Anwendungsschicht	Denial of Service
DNS Spoofing	Transport-, Anwendungsschicht	Datenspionage
CoAP Kommunikation	Transport-, Anwendungsschicht	Datenspionage
OPC UA Secure Channel	Anwendungsschicht	Datenspionage

Es ist zu erkennen, dass verschiedene Angriffsszenarien einen Eingriff in die Netzkommunikation auf unterschiedliche bzw. mehrere Ebenen des TCP/IP Referenzmodells beinhalten. Aufgrund der Entwicklung der Industrie 4.0 Netzwerke auf Basis vorhandener Technologien genügt es nicht, ausschließlich die Sicherheit der neuen Anwendungsprotokolle zu betrachten. Um den in Unterabschnitt 2.3.5 genannten Schutzzielen auch in der Industrie 4.0 gerecht zu werden und einen ausreichenden Schutz gegen die in Abschnitt 3.1 genannten Bedrohungen bereitzustellen, muss die Sicherheit auf allen Schichten Ebenen des Netzwerkstacks bereitgestellt werden.

Die Ziele dieser Angriffe sind einerseits der DoS, welcher einen Ausfall eines Dienstes oder Systems im Netzwerk provozieren soll, um die Kommunikation zu beeinträchtigen oder Stillzulegen. Diese Angriffe sind durch das dauerhafte Eintreffen von Netzwerkpaketen zu erkennen. Sie können durch *Blacklisting*, IDS oder das Stoppen des Routings dieser Pakete beim Internet Service Provider (ISP) unterbunden werden.

Andererseits dienen die beschriebenen Angriffe der Datenspionage, welche aus der Manipulation der Wegfindung der Pakete im Netzwerk und der damit hervorgehenden Abhörung des Netzwerkverkehrs besteht. Diese Angriffe beschreiben einen großen Teil der in Abschnitt 3.1 beschriebenen Bedrohungsszenarien und stellen für Industrie 4.0 Netze eine hohe Bedrohung dar, da sie, ohne die Produktivität des Netzwerks beeinschränken zu müssen, agieren können. Der Abfluss von Produktions-, Firmen- und Kundendaten sowie die Manipulation des Netzwerkverkehrs von Pro-

duktionssystemen kann erhebliche finanzielle Verluste sowie einen Imageschaden nach sich ziehen. Die Angriffsformen arbeiten Entweder direkt auf der Anwendungsschicht und analysieren und manipulieren Pakete und Nutzdaten oder sie nutzen die Architektur des im Netzwerk zugrundeliegenden Protokolls IP und dessen Dienste. Dies macht Industrie 4.0 Umgebungen zu einem Ziel für diese Angriffsformen. Es müssen Maßnahmen auf allen Ebenen des TCP/IP Referenzmodells wie die Unterbindung von physikalischem Zugang, die Bereitstellung einer vor Manipulation gesicherten Netzwekinfrastruktur sowie die Nutzung anforderungsgerechter Protokolle und Verschlüsselungsalgorithmen getroffen werden.



## Kapitel 4

# Anwendungsszenarien

Im folgenden Teil der Thesis werden die gewonnenen Erkenntnisse der in Kapitel 3 durchgeführten Analyse der Netzwerkkommunikation genutzt, um die Auswirkungen dieser Bedrohungen anhand verschiedener Szenarien im Netzwerk des Testsystems darzustellen. Die beschriebenen Anwendungsszenarien wurden gewählt, um die Nutzung eines Schichtenmodells im Netzwerk hervorzuheben. Die Einführung eines neuen Protokolls auf einer Ebene des Referenzmodells hat keine Auswirkungen auf die Funktionsweise der anderen, genutzten Schichten. Jede Schicht im Netzwerk kann durch Sabotage die Manipulation des Netzwerks ermöglichen.

Wie in Abschnitt 3.7 beschrieben, wurde sich nach Abwägung der Faktoren zeitlicher Aufwand, Umsetzbarkeit, Darstellungsmöglichkeit und Mehrwert für das System für die folgenden Anwendungsszenarien entschieden.

Die Umsetzung der Anwendungsszenarien SYN-Flood, ARP Spoofing und DNS Amplification wurde nicht durchgeführt, da die Manipulation des Netzwerks und dessen Kommunikation im gegebenen Testsystem aufgrund der genutzten Software nur begrenzt ausführbar war und somit die Bereitstellung einer Netzwerkinfrastruktur wesentlicher Bestandteil der Thesis darstellte. Dies wird in Abschnitt 5.4 näher erläutert.

### 4.1 OPC UA Kommunikation

Die Kommunikation des OPC UA Protokolls findet laut Spezifikation, wie in Unterabschnitt 3.6.3 beschrieben, immer im *Secure Channel* statt. Der *Secure Channel* stellt verschiedene *Security Policies* für unterschiedliche Anwendungsfälle zur Ver-

fügung. Administratoren müssen abwägen inwiefern Ressourcen und Latenz für die Absicherung der Kommunikation im Netzwerk gewährleistet werden können. Die Kommunikation zwischen OPC UA Komponenten und die verschiedenen Sicherheitsprofile können im vorhandenen Testsystem (Weber 2018) untersucht werden. Hierfür wird das Netzwerkanalysetool Wireshark<sup>1</sup> genutzt, um den Netzwerkverkehr zwischen den Komponenten abzuhören. In Verbindung mit dem OPC UA *Secure Channel* wird das System erweitert, um verschiedene Sicherheitsprofile für die Kommunikation bereitzustellen und somit die Auswirkungen einer Fehlkonfiguration darstellen zu können.

### 4.2 MitM

Im vorhandenen System soll die Darstellung eines MitM Angriffs ermöglicht werden. Dieser wird mit Hilfe eines Rogue DHCP Servers durchgeführt. Es soll ermöglicht werden, die Netzwerkkonfiguration einer Komponente so zu manipulieren, um die Kommunikation mithören zu können. Dies beinhaltet die Bereitstellung einer Netzwerkinfrastruktur inklusive DHCP und DNS.

### 4.3 Manipulation von ungesichertem Netzwerkverkehr

Im dritten Anwendungsszenario sollen die durch den durchgeführten MitM Angriff gewonnenen Informationen genutzt werden, um die Funktionalität eines weiteren Systems im Netzwerk zu stören und somit direkt Einfluss auf einen Prozess in einem Industrienetzwerk nehmen. Aufgrund der in Unterabschnitt 2.3.1 beschriebenen Faktoren und der immer weiteren Vernetzung ressourcenschwacher Komponenten soll das Anwendungsszenario anhand einer minimalen IIoT Komponente am Protokoll CoAP durchgeführt werden.

---

<sup>1</sup>Wireshark - <https://www.wireshark.org/>



## Kapitel 5

### Konzept

Im folgenden Kapitel wird das entwickelte Konzept zur Erweiterung des Testsystems beschrieben. Das Konzept wurde entwickelt, um anhand der in Kapitel 3 gewonnenen Erkenntnisse, verschiedene Angriffsformen in einer Industrie 4.0 Netzwerkkommunikation demonstrieren zu können. Da die entstehende Integration und Implementierung des Konzepts für Test- und Lehrzwecke genutzt werden soll, in Zukunft um weitere Funktionalitäten erweitert werden soll und flexibel einsetzbar sein soll, stehen die Aspekte Portabilität, Skalierbarkeit und Erweiterbarkeit bei der Entwicklung des Konzepts im Vordergrund.

Das Konzept beinhaltet die Darstellung der Verteilungs-, Baustein- und Laufzeitsicht. Dabei wird die entwickelte Netzwerkinfrastruktur, die einzelnen Komponenten sowie die Gesamtfunktionalität des Systems beschrieben.

Um eine ganzheitliche Infrastruktur mit den grundlegenden Netzwerkdiensten bereitstellen zu können, kann die Kommunikation der Systeme nicht auf der Abstraktionsebene des Docker Containernetzwerks stattfinden. Das IPAM im Netzwerk sowie die gewünschten Dienste DHCP und DNS können dort nicht ausreichend konfiguriert werden. Es mussten im Laufe der Entwicklung, aufgrund des gegebenen Systems und der genutzten Software, mehrere Konzepte zur Umsetzung verschiedener Anwendungsszenarien verworfen werden. Die Softwarebeschränkungen und deren Auswirkungen auf die Umsetzung des Konzepts sowie der Integration werden in Abschnitt 5.4 erläutert.

## 5.1 Verteilungssicht

Die Skalierbarkeit und Erweiterbarkeit des Testsystems wird auf der Verteilungssicht durch eine virtuelle Maschine (VM) und deren Docker Container realisiert. Um die Heterogenität des Systems gering zu halten, jedoch ein vollwertiges Netzwerk abbilden zu können, werden der vorhandenen Grundstruktur des Testsystems (Weber 2018) VM zwei weitere Maschinen hinzugefügt.

Die VMs simulieren, im Gegensatz zur Containervirtualisierung, ein vollständiges System sowie dessen Hardware. Dies ermöglicht eine weitgehende Kontrolle über die Netzwerkschnittstellen und die Konfiguration gekapselter Netzwerkinfrastrukturen. Diese Vorteile werden genutzt, um die Netzwerkkommunikation mit Hilfe von virtuellen, internen Netzwerken auf der Abstraktionsebene der VMs durchzuführen.

Das Konzept der Netzwerkinfrastruktur ist in Abbildung 5.1 in Anlehnung an ein UML-Verteilungsdiagramm dargestellt. Zur Umsetzung der in Kapitel 4 beschriebenen Szenarien, ist es notwendig, den Netzwerkdienst DHCP bereitzustellen. Dieser wird, zusammen mit dem Dienst DNS, im Netzwerk „i40-network“ bereitgestellt. Das zusätzliche Netzwerk „i40-monitoring“ wird genutzt, um die Netzwerkkommunikation über ein Gateway umzusetzen und somit einen MitM Angriff durchführen zu können. Die Kommunikation zwischen den Netzwerken wird über Router realisiert.

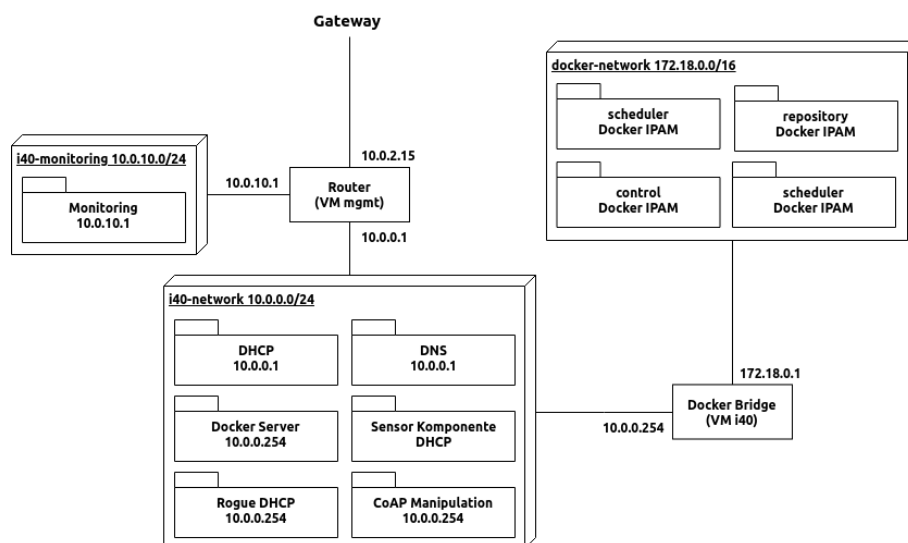


Abbildung 5.1: Netzwerkinfrastruktur

Die Kapselung und Sicherheit des Testsystems ist durch die Erweiterung um zusätzliche VMs und Dienste weiterhin gegeben. Die Kommunikation mit dem Hostsystem und externen Netzen findet ausschließlich über die Netzwerkschnittstelle des Routers statt und dient der Installation und Konfiguration der Komponenten. Diese kann im Betrieb deaktiviert werden, um eine vollständige Isolation der Umgebung zu erzielen.

Durch die Konfigurationsmöglichkeiten der Hardware und des Netzwerks ist eine weitere Kapselung der Netzwerke mit Hilfe von VLAN auf der Netzzugangssicht umsetzbar. Dies wird im Rahmen der Thesis jedoch aus zeitlichen Gründen nicht weiter bearbeitet.

### **5.1.1 Industrienetzwerk**

Das Industrienetzwerk „i40-network“ stellt den zentralen Bestandteil der Architektur dar. Dieses Netzwerk wird von den Diensten DHCP und DNS verwaltet und beinhaltet das Industrie 4.0 Produktionssystem und dessen Docker Sub-Architektur sowie die Sensor Komponente, welche Daten zum CoAP Monitoring liefert. Der Netzwerkverkehr sowie die Verwaltung des Containernetzwerks wird vom Docker Dienst und dessen Netzwerkbrücke übernommen. Die Kommunikation mit dem Monitoringnetzwerk sowie mit externen Netzen wird mit Hilfe von IP Forwarding und Network Address Translation (NAT) hergestellt. Der Rogue DHCP Server befindet sich ebenfalls in diesem Netz und dient der Manipulation des für das Netzwerk *authorativen* DHCP Servers. Die Umsetzung dieses Netzwerks, der beinhalteten Dienste und der vollständigen Kontrolle über diese ist die Basis für die Durchführung der Anwendungsszenarien.

### **5.1.2 Monitoring-Netzwerk**

Das Netzwerk „i40-monitoring“ simuliert ein zusätzliches Netzwerk, welches Dienste zur Analyse und Überwachung der Komponenten im Netzwerk bereitstellen soll. Im beschriebenen Konzept besitzt das Monitoring-Netzwerk ausschließlich eine Komponente zur Überwachung der gesendeten Daten des im „i40-network“ vorhandenen Sensors. Eine weitere Ausführung der Komponenten im Netzwerk hätte keinen Einfluss auf die gewählten Anwendungsszenarien (Abschnitt 4.2 und Ab-

schnitt 4.3) gehabt, da die Kommunikation über ein Gateway der ausschlaggebende Faktor für die Integration des zusätzlichen Netzwerks war. Aus diesem Grund wurde auch kein DHCP und DNS für das Netzwerk konfiguriert. Die Adressvergabe verläuft statisch.

### 5.1.3 Containernetzwerk

Das Containernetzwerk beschreibt das grundlegende Testsystem und wird in Weber 2018 beschrieben. Die bereitgestellten Container der Industrie 4.0 Umgebung werden durch den Docker Server verwaltet. Dieser übernimmt das IPAM sowie den DNS. Die Kommunikation zwischen den Containern sowie mit dem Hostsystem findet über eine Bridge<sup>1</sup> statt. Diese Form der Netzwerkkommunikation ermöglicht es das Anwendungsszenario Abschnitt 4.1 durchzuführen. Die Software-Bridge nimmt den gesamten Netzwerkverkehr entgegen und leitet ihn weiter. Somit ist es möglich diesen vom System, welches die Container verwaltet, zentral zu untersuchen.

## 5.2 Bausteinsicht

Die aus den Anwendungsszenarien (Kapitel 4) hervorgehenden Anforderungen müssen durch die Komponenten im System umgesetzt werden. Hinzu kommt, dass die beschriebenen Netzwerke durch erforderlichen Dienste verwaltet werden müssen, um die Kommunikation der Komponenten zu gewährleisten. Die logische Darstellung der Verteilungssicht unterscheidet sich grundlegend von der Umsetzung der Komponenten in der Bausteinsicht. Die Virtualisierung der Maschinen erlaubt es mehrere Komponenten auf einem System zusammenzufassen und mit mehreren Netzwerkschnittstellen in verschiedenen Netzen auszustatten, um multiple Systeme darstellen zu können.

In Abbildung 5.2 werden die VMs sowie deren Dienste und Schnittstellen in die Netzwerke dargestellt. Die Dienste DHCP, DNS im Netzwerk „i40-network“ sowie die generellen Routingfunktionalitäten werden von der VM „mgmt“ bereitgestellt. Des Weiteren wird dort der CoAP Server umgesetzt, welcher sich im Netzwerk „i40-monitoring“ befindet. Die VM „i40“ beinhaltet die Komponenten zur Manipu-

---

<sup>1</sup>Eine Bridge verbindet zwei Segmente im Computernetz

lation des Netzwerks sowie das Containernetzwerk. Der CoAP Client des Netzwerk „i40-network“ wird auf der VM „comp“ ausgeführt.

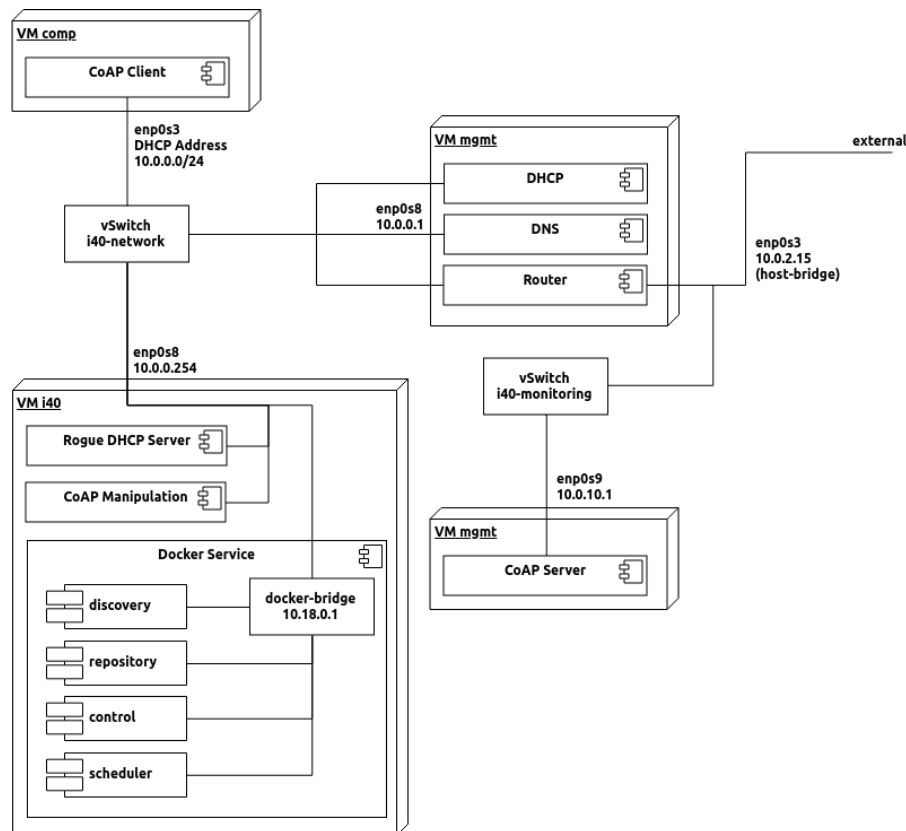


Abbildung 5.2: Virtuelle Maschinen und Dienste

### 5.2.1 Router

Die Routingfunktionalitäten werden auf der VM „mgmt“ umgesetzt. Die VM besitzt in jedem Netzwerk ein Interface, welches als Schnittstelle dient und zur Weiterleitung der Pakete genutzt wird. Die VM „mgmt“ ist die einzige Komponente der Architektur, welche eine Verbindung zum Hostsystem besitzt. Die Weiterleitung der Pakete wird auf der Internetschicht des TCP/IP Referenzmodells mit Hilfe von IPv4 Forwarding und NAT umgesetzt. Durch das Routing zum Hostsystem ist eine Verbindung der anderen, gekapselten Maschinen sowie zukünftiger Maschinen für Installations- und Konfigurationszwecke in externe Netzwerke möglich. Um die Sicherheit des Netzwerkverkehrs sicherzustellen dürfen nur Pakete von Verbindungen, welche aus einem der internen Netze initiiert wurden weitergeleitet werden. Abbildung 5.3 stellt die Schnittstellen der Komponente dar.

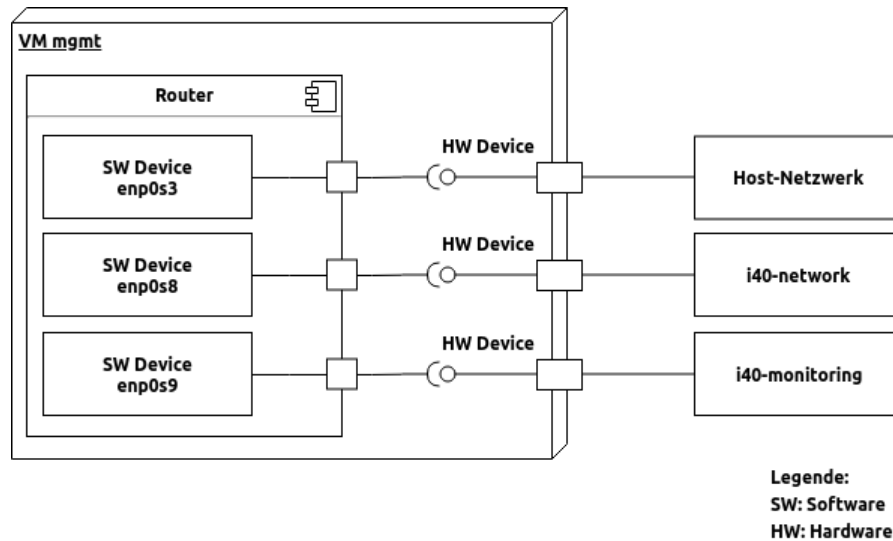


Abbildung 5.3: Routerkomponente

### 5.2.2 DHCP Server/DNS Server

Die Dienste DHCP und DNS werden zusammen auf der VM „mgmt“ konfiguriert, stellen ihre Dienste im Netzwerk „i40-network“ bereit, indem sie auf die zuständige Schnittstelle gebunden werden. Zur Umsetzung der Anwendungsszenarien Abschnitt 4.2 und Abschnitt 4.3 liegt der Fokus der bereitzustellenden Funktionalität auf dem DHCP Server. Dieser muss den weiteren Komponenten im Netzwerk beim DHCP *discover*, welcher über einen Broadcast<sup>2</sup> durchgeführt wird, eine Netzwerk-konfiguration bereitstellen. Dabei ist die Vergabe eines Standardgateways für die spätere Durchführung des MitM Anwendungsszenario essentiell. Das IPAM sowie die Konfiguration des DNS und dessen dynamische Zonenaktualisierungen spielen bei der Umsetzung des Angriffs nur eine nebensächliche Rolle. Sie werden jedoch trotzdem umgesetzt, da die Konfiguration des IPAM und der *address range* der DHCP *leases* eine Möglichkeit gibt den Wechsel des DHCP Servers zu Lehrzwecken visualisieren zu können. Die Bereitstellung eines mit dem DHCP Server kompatiblen DNS Servers vereinfacht durch die Namensauflösung die Verwaltung der virtuellen Maschinen in der Testumgebung und ermöglicht eine skalierbare Erweiterung des Systems. Die Verwaltung eines separaten DNS Servers ermöglicht die Umsetzung weiterer Anwendungsszenarien und die Analyse des Sicherheitsmechanismus DNSSEC am Testsystem. Diese Anwendungsmöglichkeiten sind kein Bestandteil der Thesis und werden im weiteren Verlauf nicht weiter erläutert. Sie

<sup>2</sup>Eine Nachricht, die an alle Teilnehmer des Netzes gesendet und von diesen empfangen wird

bieten jedoch Ansatzmöglichkeiten für zusätzliche Erweiterungen am System und werden in Kapitel 8 näher beschrieben.

Abbildung 5.4 zeigt die Komponenten DHCP Server und DNS Server und die genutzten Schnittstellen in Bezug auf das Gesamtsystem. Beide Dienste werden auf das Netzwerkinterface des Netzwerks „i40-network“ gebunden. Somit werden die Dienste ausschließlich im beschriebenen Netzwerk bereitgestellt.

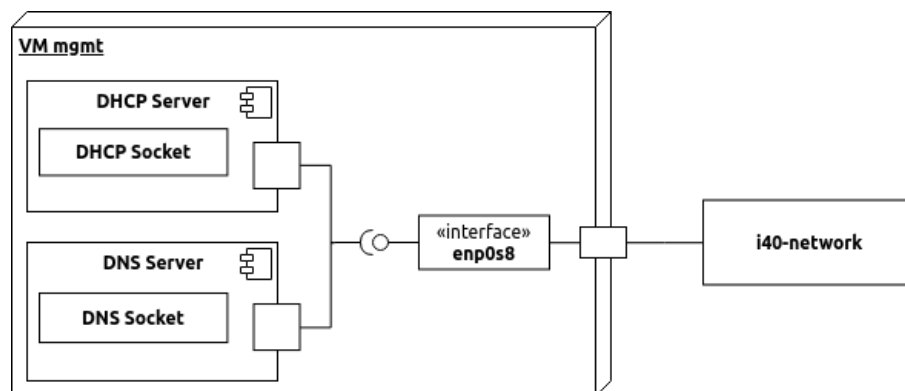


Abbildung 5.4: DHCP und DNS Server

### 5.2.3 CoAP Client/CoAP Server

Die Komponenten CoAP Client und CoAP Server dienen der Erweiterung des Testsystems um ein weiteres IIoT Protokoll zur Darstellung des in Abschnitt 4.3 beschriebenen Szenarios. Die Komponenten simulieren einen Temperatursensor sowie ein Monitoringsystem, welches ein Webinterface zur Darstellung der gemessenen Temperatur besitzt. Der CoAP Client wird auf der VM „comp“ realisiert und befindet sich im Netzwerk „i40-network“. Er sendet die gemessenen Daten zum zuständigen CoAP Server im Netzwerk „i40-monitoring“. Der CoAP Server wird, da er den einzigen Dienst in diesem Netzwerk darstellt, auf der VM „mgmt“ bereitgestellt. Die VM „mgmt“ besitzt bereits ein Interface im Netzwerk „i40-monitoring“. Der Dienst kann auf die Adresse der Schnittstelle gebunden werden. Es muss keine weitere VM zum Netzwerk hinzugefügt werden.

Abbildung 5.5 und Abbildung 5.6 visualisieren die Bestandteile der betroffenen Komponenten, deren bereitgestellte Dienste und die genutzten Schnittstellen.

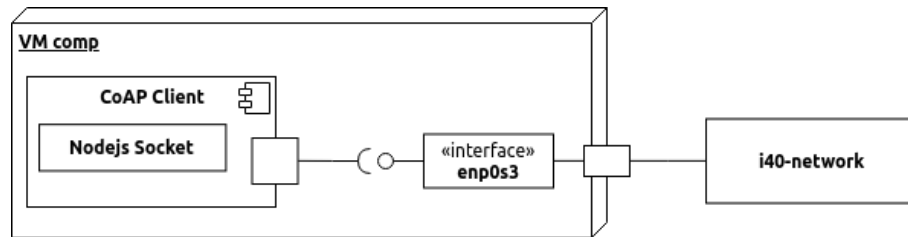


Abbildung 5.5: CoAP Client

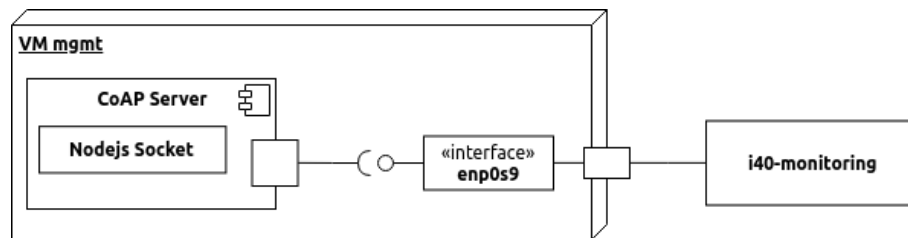


Abbildung 5.6: CoAP Server

### 5.2.4 Rogue DHCP Server

Die Bereitstellung des Rogue DHCP Servers findet auf der bestehenden VM „i40“ statt. Die bestehende virtuelle Maschine stellt bereits Tools zu Analyse der Netzkommunikation für das Dockernetzwerk bereit. Eine Erweiterung dieses Systems ermöglicht es die bereitgestellten Anwendungen zur Analyse in den Anwendungsszenarien des Netzwerks der VMs ebenfalls zu nutzen. Dies wird durch die Trennung der Netzwerkschnittstellen ermöglicht. Die Analyse der Pakete findet fortan auf der Schnittstelle „enp0s8“ der Docker Netzwerkbrücke statt. Um die Netzwerkpakete der anderen Teilnehmer über die Schnittstelle der VM zu leiten, muss die Maschine selbst als Gateway für die Kommunikation zwischen den Netzen genutzt werden. Der Rogue DHCP Server ermöglicht die Änderung des Standardgateways bei Erneuerung des DHCP *lease* der Client und kann somit den Verkehr auf das lokale System umleiten. Abbildung 5.7 zeigt die Eingliederung des Dienstes in das vorhandene System. Der Dienst muss im Netzwerk „i40-network“ agieren und wird somit auf das Interface „enp0s8“ gebunden.

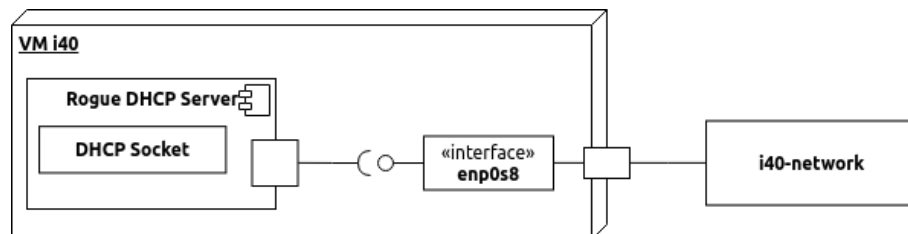


Abbildung 5.7: Rogue DHCP Server



### 5.2.5 CoAP Manipulationssystem

Das CoAP Manipulationssystem wird genutzt, um das CoAP Monitoringsystem durch falsche bzw. unzulässige Netzwerkpakete zu beeinflussen. Es wird ebenfalls auf der VM „i40“ bereitgestellt. Dies ermöglicht weiterhin die zentrale Verwaltung des Systems und die Durchführung der Anwendungsszenarien. Eine Bereitstellung des Manipulationsdienstes auf dem gleichen System wie der Rogue DHCP Server und die Anwendungen zur Netzwerkanalyse ist sinnvoll, da die Umleitung der Netzwerkpakete durch den Rogue DHCP Server und die anschließende Analyse des Verkehrs die Grundlage für die Manipulation des Monitoringsystems darstellt und voneinander abhängig ist.

Das CoAP Manipulationssystem versendet Netzwerkpakete mit gefälschten Daten zum CoAP Monitoringsystem. Diese werden über die Netzwerkschnittstelle „enp0s8“ in das „i40-network“ versandt. Die Verbindung in das Netzwerk „i40-monitoring“ wird über die Routingfunktionalitäten der VM „mgmt“ bereitgestellt. Abbildung 5.8 beschreibt den Aufbau der Komponente.

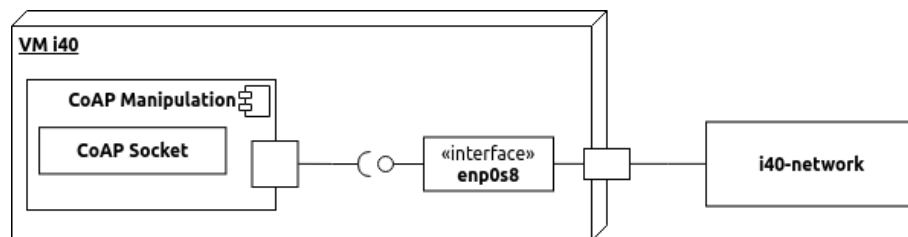


Abbildung 5.8: CoAP Manipulationssystem

### 5.2.6 Docker Service

An der Netzwerkkonfiguration sowie am Docker Service der VM „i40“ wurden keine Änderungen vorgenommen. Die genutzte Konfiguration des Dienstes ist in Weber 2018 erläutert. Eine Integration der neuen Komponenten als zusätzliche Container im bestehenden Netzwerk war nicht möglich, da dies die Darstellung der Anwendungsszenarien durch die Netzwerkimplementierung der Software Docker verfälscht bzw. verhindert hätte. Eine genaue Beschreibung der Beschränkungen, welche bei der Umsetzung des Systems zum Tragen kamen, wird in Abschnitt 5.4 durchgeführt.

### 5.3 Laufzeitsicht

Die Laufzeitsicht dient der Darstellung der Kommunikation zwischen den einzelnen Komponenten zur Bereitstellung einer Gesamtfunktionalität. In diesem Abschnitt werden die essentiellen Abläufe des Systems, welche die Netzwerkkommunikation und -konfiguration zwischen den Komponenten bereitstellen, in Anlehnung an UML-Sequenzdiagramme dargestellt.

#### 5.3.1 Routing

Um eine Verbindung zwischen den Netzwerken „i40-network“ und „i40-monitoring“ herzustellen und die Kommunikation der CoAP Komponenten im Netzwerk zu gewährleisten, muss die VM „mgmt“, welche als einziges System eine Schnittstelle in beiden Netzwerken bereitstellt, Routingfunktionalitäten übernehmen. Dabei müssen eine Weiterleitung der Pakete zwischen den Netzwerkschnittstellen der VM stattfinden.

#### 5.3.2 DHCP

Im Netzwerk „i40-network“ werden die Dienste DHCP und DNS zur dynamischen Konfiguration und Namensauflösung der Hosts genutzt. Abbildung 5.9 zeigt die Konfiguration eines Hosts beim Bezug der Netzwerkkonfiguration im „i40-network“ mit Hilfe des zuständigen DHCP Servers. Die Netzwerknachrichten der DHCP Konfiguration werden, da der Client zum Zeitpunkt der dynamischen Konfiguration noch keine IP Adresse im Netzwerk besitzt, über den Broadcast im Netzwerk versandt. Die Pakete werden ausschließlich von DHCP Servern angenommen und verarbeitet, weitere Clients im Netzwerk verwerfen die Pakete. Im Sequenzdiagramm ist, um die Übersichtlichkeit zu gewährleisten, nur die Kommunikation zwischen den aktiv beteiligten Komponenten während der dynamischen Konfiguration des Hosts dargestellt.

Um vollständige Funktionalität des Clients im Netzwerk bereitzustellen, werden IP Adresse, Netzwerkmaske, DNS sowie ein Gateway zur Verbindung in andere Netze benötigt. Nach dem DHCP Discover des Clients bietet der DHCP Server mit Hilfe des DHCP Offer Netzwerkkonfigurationen für den Client an. Dieser bestätigt die Konfiguration mit einem DHCP Request. Ist die vom Server angebotene Konfigu-

ration gültig und die IP Adresse weiterhin frei, wird vom Server ein DHCP Ack gesendet, um die Konfiguration zu bestätigen.

DNS und DHCP arbeiten im Testsystem zusammen. Der DHCP Server muss den DNS Server über neue Clients im Netzwerk informieren, um eine Namensauflösung dieser bereitstellen zu können. Die Authentifizierung zur Kommunikation und Aktualisierung der DNS Zonen geschieht mit Hilfe eines symmetrischen Schlüssels. Beide Komponenten müssen diesen Schlüssel besitzen, um sich beim anderen Dienst zu authentifizieren. Die dynamische Aktualisierung einer DNS Zone wird ebenfalls in Abbildung 5.9 beschrieben.

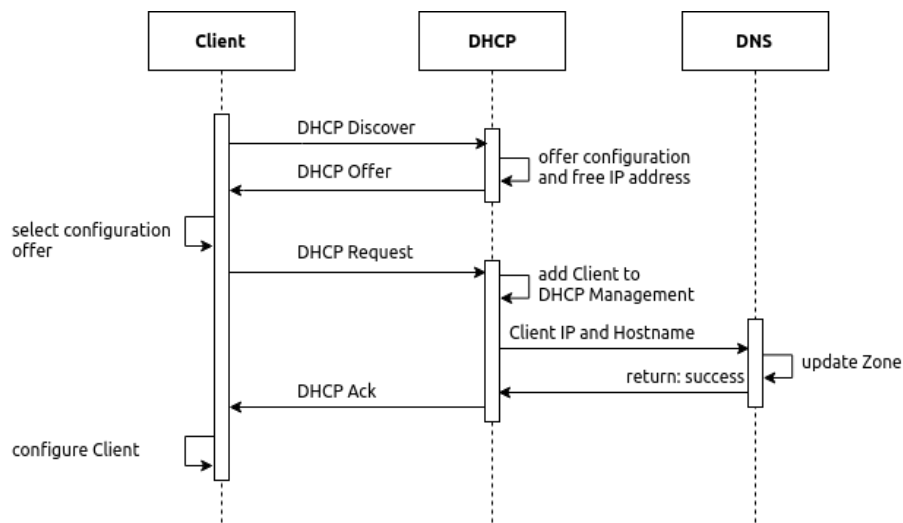


Abbildung 5.9: Dynamische Hostkonfiguration mit DHCP und DNS

### 5.3.3 DNS

Die Namensauflösung der internen Adressen findet direkt auf dem DNS Server statt. Bei einem DNS Request werden die lokalen Zonendateien durchsucht und in der Answer Section der DNS Response die gewünschten RR bereitgestellt. Das interne Netzwerk „i40-network“ besitzt eine Zone auf dem Nameserver. Dort müssen alle statischen Adressen zur Namensauflösung eingetragen werden. Die dynamischen Adressen werden ebenfalls in dieser Zone temporär hinterlegt. Um eine Namensauflösung in externe Netze zu gewährleisten, muss der DNS Server weitere Nameserver kennen, um Domainnamen, welche nicht in der Datenbank des lokalen Servers vorhanden sind, aufzulösen. Das DNS System nutzt Rekursion oder Iteration, um den *authorativen* Server im Netzwerk zu bestimmen und die Namensauflösung be-

reitzustellen. Der Ablauf der Namensauflösung wird vom zuständigen Nameserver bestimmt. Abbildung 5.10 stellt den Ablauf der rekursiven Namensauflösung einer externen DNS Zone vereinfacht dar. Der lokale DNS Server arbeitet als DNS-Forwarder. Er leitet die Anfrage zur unbekannten Zone an einen externen DNS weiter, welcher die Adresse auflöst und dem internen Nameserver das Ergebnis mitteilt. Die Rekursion der Befragung weiterer DNS Server findet solange statt, bis ein für die Domain zuständiger Nameserver gefunden wurde, welcher die Adresse auflöst. Bei der iterativen Namensauflösung sendet der DNS Server dem Client die Adresse des *authoritativen* DNS Servers zu. Dieser führt dann einen erneuten DNS Query bei diesem Server durch. Der Ablauf der iterativen Namensauflösung wird in Abbildung 5.11 dargestellt.

Die genutzte Form der Namensauflösung hat auf die Umsetzung des Konzepts keinen Einfluss. Um eine Namensauflösung in externe Netze bereitzustellen muss der DNS Server lediglich eine erreichbare DNS Forward-Adresse besitzen.

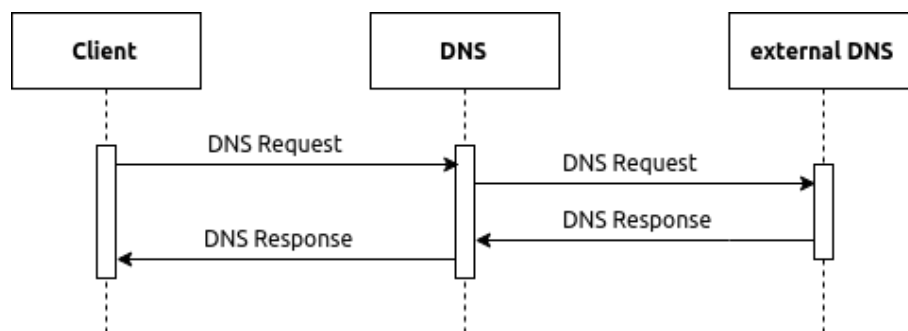


Abbildung 5.10: Rekursive DNS Namensauflösung

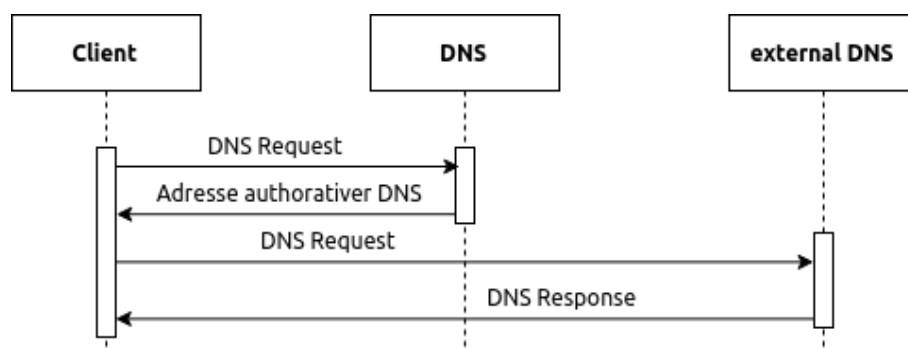
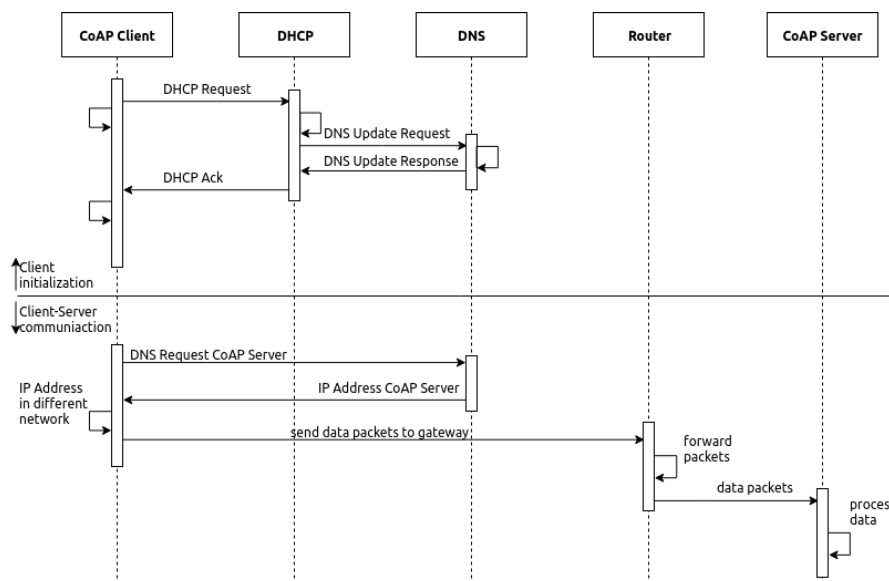


Abbildung 5.11: Iterative DNS Namensauflösung

### 5.3.4 Kommunikation CoAP Client und Server

Das Zusammenspiel der bisher beschriebenen Komponenten wird für die Kommunikation zwischen CoAP Client und CoAP Server benötigt. Im in Abschnitt 4.3 beschriebenen Anwendungsszenario findet zwischen den Komponenten ausschließlich eine unidirektionale<sup>3</sup> Kommunikation vom Client zum Server statt. Abbildung 5.12 zeigt die Netzwerkkonfiguration des Clients und die genutzten Komponenten bei der Übermittlung einer Nachricht vom Client zum Server und steht beispielhaft für die Kommunikation aller Komponenten im Netzwerk. Um die Übersichtlichkeit der Darstellung zu erhalten, findet nur noch eine einfache Beschreibung der Initialisierung des Clients statt. Diese wurde bereits in Abbildung 5.9 beschrieben. Die Kommunikation zwischen CoAP Client und DHCP findet im Netzwerk „i40-network“ statt. Die Kommunikation zwischen dem Client und Server erfordert die Nutzung eines Routers, da sich die Serverkomponente im Netzwerk „i40-monitoring“ befindet. Die Struktur der Netzwerkkommunikation gilt für alle Komponenten des Netzwerks „i40-network“.



**Abbildung 5.12:** Initialisierung von CoAP Client und Kommunikation zwischen CoAP Client und CoAP Server

<sup>3</sup>Eine unidirektionale Verbindung findet nur in eine Richtung an einen oder mehrere Empfänger statt

### 5.3.5 Manipulation des Netzwerkverkehrs

Durch die Aktivierung der Rogue DHCP Komponente auf der VM „i40“ wird ein zweiter DHCP Server im Netzwerk aktiviert. Komponenten, welche über einen DHCP Discover den für das Netzwerk zuständigen DHCP Server kontaktieren möchten, können nun auch eine Antwort des Rogue DHCP Servers erhalten. Dieser stellt eine DHCP Konfiguration mit sich selbst als Gateway bereit. Trifft der DHCP Offer des Rogue DHCP Servers vor dem DHCP Offer des eigentlichen DHCP Servers beim Client ein, sendet dieser den gesamten Netzwerktraffic, welcher für andere Netze bestimmt ist über den neuen DHCP Server. Um die Netzwerkkommunikation der Systeme, welche den Rogue DHCP Server als Gateway nutzen weiterhin bereitzustellen, muss dieser die Pakete wieder zum ursprünglichen Router weiterleiten. Der Ablauf der Kommunikation wird in Abbildung 5.13 vereinfacht beschrieben. DHCP Nachrichten werden nicht gerichtet an Systeme gesendet, diese werden über den Broadcast des Netzwerks kommuniziert. Die DNS Namensauflösung wurde in der Darstellung nicht aufgeführt, da sie zur Umleitung der Netzwerkpakete in diesem Beispiel keinen Beitrag leistet.

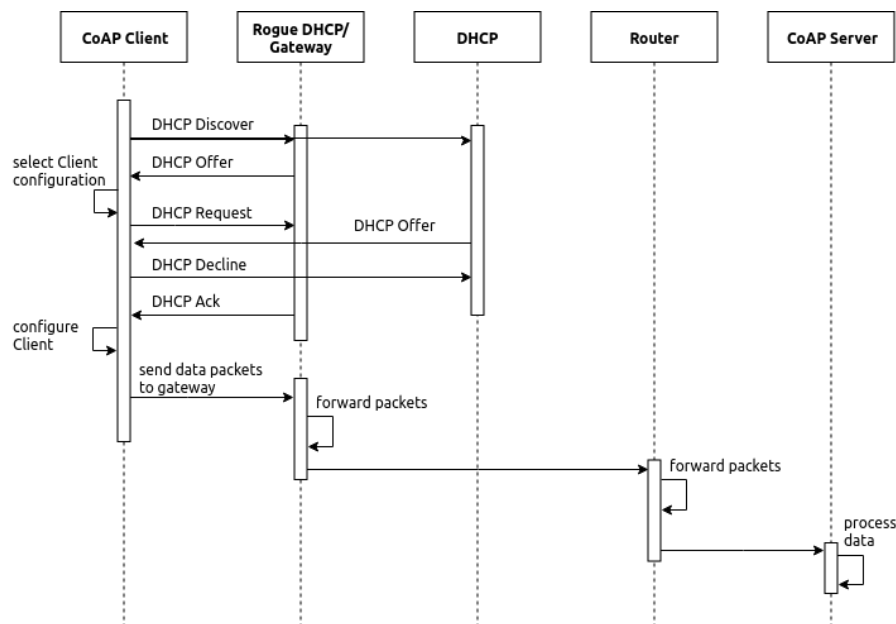


Abbildung 5.13: Umleitung der Netzwerkkommunikation durch Manipulation des Gateways

## 5.4 Anpassungen

Im Laufe der Entwicklung des Konzepts mussten immer wieder Anpassungen vorgenommen werden. Diese bezogen sich auf die Umsetzbarkeit des Konzepts in Bezug zu dem im Testsystem bisher verwendeten Softwarestack.

Ursprünglich wurde die Erweiterung des Testsystems um zusätzliche Docker Container, welche die aus den in Kapitel 4 beschriebenen Anwendungsszenarien hervorgehenden Anforderungen sowie die benötigte Netzwerkinfrastruktur umsetzen, geplant. Dies war nicht möglich, da die Containervirtualisierung kein vollständiges System inklusive Hardwarekomponenten simuliert, sondern lediglich ein isoliertes Gastsystem darstellt, welches den Kernel und die Komponenten des Hostsystems nutzt. Die Netzwerkimplementierung der genutzten Software Docker stellt vier Netzwerktreiber<sup>4</sup> zur Kommunikation der Container mit anderen Komponenten bereit. Jeder dieser Treiber stellt ein eigenes, statisches IPAM mit Hilfe des Docker Service bereit. Der Treiber *macvlan* simuliert zwar eine physikalische Schnittstelle der Container mit Hilfe einer Media Access Control (MAC) Adresse, jedoch übernimmt der Docker Service weiterhin das IPAM. Die Adressvergabe und Netzwerkkonfiguration ist somit weiterhin nur statisch beim Start der Container möglich.

Eine Alternative würde die Nutzung von Pipeworks<sup>5</sup> darstellen. Die Software ermöglicht es die Container zu einem logischen, physikalischen Interface zu verbinden, indem sie im Container einen zusätzlichen Netzwerkadapter bereitstellt. Somit könnte die externe Verwaltung der Docker Netzwerkschnittstellen über einen DHCP Server bereitgestellt werden. Die Software stellt keine solide Implementierung bereit und rät dazu, wenn möglich, auf die offiziellen Implementierungen von Docker zurückzugreifen. Mit der Erweiterung des Systems um zusätzliche Softwareimplementierungen können weitere Nebeneffekte oder Probleme bei der Umsetzung der Anwendungsszenarien aufgrund von Softwarebeschränkungen entstehen.

Da keiner der beschriebenen Ansätze eine zufriedenstellende Lösung zur Umsetzung der Anwendungsszenarien bereitstellt, wurde die Erweiterung des Systems und die Darstellung verschiedener Netzwerkkomponenten und deren Kommunikation mit Hilfe von VMs realisiert. VMs werden in Industrie 4.0 Netzwerken weitreichend und produktiv genutzt. Sie können die Infrastruktur repräsentieren und bieten auch für die Zukunft eine stabile Grundlage zur Integration weiterer Dienste

---

<sup>4</sup>Docker Netzwerktreiber - <https://docs.docker.com/network/>

<sup>5</sup>Pipeworks - <https://github.com/jpetazzo/pipework>

im Testsystem. Sie stellen umfangreiche Konfigurationsmöglichkeiten für die virtualisierte Hardware der Clients sowie das Netzwerk bereit.



## Kapitel 6

### Umsetzung

Die Umsetzung eines Prototyps soll der Validierung des erstellten Konzepts dienen. Um das in dieser Arbeit beschriebene Konzept zu überprüfen, wurden die in Kapitel 4 beschriebenen Anwendungsszenarien, welche die Analyse und Manipulation der Netzwerkkommunikation im System ermöglichen, umgesetzt. Die Bereitstellung dieser Anwendungsszenarien erfordert aufgrund der in Abschnitt 5.4 beschriebenen, durch die Softwarewahl auftretenden Beschränkungen der Netzwerkkonfiguration, eine Anpassung der Architektur sowie die Erweiterung des bestehenden Systems um weitere Komponenten.

Die vorhandene Implementierung des OPC UA Protokolls der Industrie 4.0 Testumgebung wurde um die Bereitstellung von Sicherheitsprofilen im Secure Channel erweitert. Dadurch ist es möglich, die Netzwerkkommunikation der Komponenten an der Netzwerkbrücke des Docker Services bzgl. der in Abschnitt 3.1 beschriebenen Anforderungen zu analysieren.

Des weiteren wurde das Testsystem um eine Netzwerkumgebung mit weiteren Netzwerkteilnehmern in verschiedenen Netzen erweitert. Diese stellen die Dienste DHCP sowie DNS bereit. Um die Kommunikation zwischen den Netzwerkteilnehmern und dem vorhandenen Containernetz bereitzustellen, wurde ein Router für den Transport und die Wegfindung der Pakete zwischen den verschiedenen Netzen konfiguriert. Dieser Verbund ermöglicht die Umsetzung einer MitM Attacke mit Hilfe eines Rogue DHCP Servers im Netzwerk.

Um den Eingriff und die Manipulation der Netzwerkkommunikation zweier Komponenten zu untersuchen, wurde eine CoAP Client-Server Architektur implementiert. Über die beschriebene MitM Attacke ist es möglich Informationen über die

Kommunikation der implementierten CoAP Komponenten zu erlangen und diese zu verändern.

Die Anzahl der benötigten virtuellen Komponenten wird gering gehalten, indem die vorhandenen VMs mit mehreren Netzwerkinterfaces bereitgestellt werden. Dies ermöglicht die logische Trennung der Dienste auf einer VM in verschiedene Netzwerke. Die Dienste werden auf die speziellen Netzwerkinterfaces gebunden. Somit kann eine Simulation der Kommunikation über Gateways ermöglicht werden.

### 6.1 Softwarewahl

Das Testsystem basiert auf einer Ubuntu Desktop 18.04 Long Term Support (LTS) virtuellen Maschine und der Containervirtualisierung Docker. Beim für die Erweiterung genutzten Softwarestack wurde sich weitestgehend am Testsystem orientiert, um die Kompatibilität zu bestehenden Komponenten zu gewährleisten und weiterhin ein flexibles System bereitzustellen. Für die Analyse der Netzwerkkommunikation des genutzten Protokolls OPC UA wurden die benötigten Änderungen direkt am Quellcode der NodeJS Implementierung des Industrie 4.0 Testsystems vorgenommen. Weitere Komponenten wurden, aufgrund von Abschnitt 5.4, in weiteren virtuellen Maschinen umgesetzt, um das IPAM des Netzwerks selbst bereitstellen und manipulieren zu können. Um Lizenzkosten zu vermeiden, wurde als Basis für die zusätzlichen virtuellen Maschinen das Betriebssystem Ubuntu Server in der letzten verfügbaren LTS Version genutzt. Die genutzten Softwarepakete und Bibliotheken sind Bestandteil des GNU-Projekts und sollten somit analog in anderen Unix Betriebssystemen genutzt werden können. Aufgrund der weiten Verbreitung und umfangreichen Dokumentation wurde die Software *isc-dhcp-server* und *bind9* genutzt. Die Routingfunktionalitäten wurden über *iptables* bereitgestellt. Als Hypervisor kommt weiterhin die Software „Oracle VM Virtual Box“ zum Einsatz, um die Komplexität des Systems gering zu halten.

### 6.2 Integration

Die Integration des Systems beschreibt die Bereitstellung und Konfiguration der System- und Netzwerkarchitektur. Um den Zeit- und Arbeitsaufwand für die Bereitstellung des Betriebssystems zu minimieren, wurde, um die zwei zusätzlichen

virtuellen Maschinen bereitzustellen, ein Minimalsystem des Ubuntu Server 18.04 (LTS) generisch installiert und als Vorlage genutzt. Hierbei wurde der Benutzer „i40“ mit dem Passwort „industrie40“ angelegt, welcher für alle Maschinen gilt.

Aus der Vorlage wurden die Klone „mgmt“ und „comp“ erstellt. Die VM „mgmt“ dient der Bereitstellung der im Testnetzwerk benötigten Dienste DHCP und DNS und dient als Router zwischen den verschiedenen internen Netzwerken sowie zum Host System. Auf der VM „comp“ wurde der CoAP Client umgesetzt. Die vorhandene VM „i40“ wird um einen Rogue DHCP Server erweitert.

Zuerst wurde die Netzwerkkonfiguration aller vorhandener virtueller Maschinen wie in Abbildung 5.2 beschrieben angepasst. Dies konnte in den Einstellungen des Hypervisors durchgeführt werden. Die Netzwerkkonfiguration der VM „i40“ wurde von NAT auf das interne Netzwerk „i40-netzwerk“ geändert. Der VM „mgmt“ wurden drei Netzwerkadapter hinzugefügt. Der erste Adapter gehört dem internen Netzwerken „i40-netzwerk“ an, der zweite Adapter dem internen Netzwerk „i40-monitoring“, der dritte Adapter dient dem Host-NAT. Die VM „comp“ besitzt nur einen Netzwerkadapter, welcher dem internen Netzwerk „i40-monitoring“ angehört.

Die Installation und Konfiguration aller Komponenten sowie deren Konfigurationsdateien werden in den jeweiligen Readme Dateien des Git Repositories<sup>1</sup> beschrieben.

### 6.2.1 Netzwerkverwaltung

Um die grundlegenden Netzwerkdienste in den internen Netzwerken bereitzustellen und die Kommunikation anderer Netzwerkteilnehmer mit externen Netzen wie dem Internet zur Installation und Konfiguration weiterer Software zu ermöglichen, wurde mit der Installation und Konfiguration der VM „mgmt“ begonnen.

Nach dem Start der VM wurde der Hostname zur Namensauflösung auf dem System geändert. Anschließend wurde die Netzwerkkonfiguration aller Adapter durchgeführt und den Schnittstellen der internen Netzwerke die statischen IP Adressen 10.0.0.1 und 10.0.10.1 zugewiesen. Der Adapter zum Hostsystem bleibt unverändert. Auf der IP Adresse 10.0.0.1 werden für das Netzwerk „i40-network“ die Dienste DHCP und DNS konfiguriert. Für das Netzwerk „i40-monitoring“ wird

<sup>1</sup>GitRepository - <https://github.com/fjnalta/thesis>

kein DHCP konfiguriert, da nur zwei Komponenten im Netzwerk vorhanden sind und die Form der Adressvergabe in diesem Netzwerk keinen Einfluss auf die Umsetzung des Konzepts hat.

### **DNS/DHCP**

Eine korrekte Namensauflösung in einem Netzwerk mit dynamischen IP Adressen kann nur ermöglicht werden, wenn die Dienste DNS und DHCP zusammenarbeiten. Die Authentifizierung zwischen DNS und DHCP zur automatischen Erstellung und Erneuerung von Zonen für Teilnehmer mit dynamischen Adressen findet mit Hilfe eines symmetrischen Schlüssels statt, welcher auf beiden Servern hinterlegt sein muss. Der Schlüssel wurde mit Hilfe des Tools *rndc-confgen* erstellt.

Anschließend wurde der DNS Server installiert und konfiguriert. Dabei wurden die Berechtigungen zum Anfragen des DNS Servers auf das gewünschte Netz 10.0.0.0/24 beschränkt, um die Nutzung des Servers als Open DNS zu verhindern, die DNS Server von Google (8.8.8.8) und OpenDNS (208.67.220.220) als Forwarder genutzt, der erstellte Schlüssel eingebunden und das Interface des Dienstes auf das Netzwerk „i40-network“ beschränkt. Auf die Konfiguration des Sicherheitsmechanismus DNSSEC wurde aus zeitlichen Gründen verzichtet.

Um eine Namensauflösung im Netzwerk bereitzustellen, wurde eine *Forward-* sowie *Reverselookup*-Zone für die Suchdomain „i40-network.lan“ erstellt und die statischen IP Adressen der VMs „i40“ und „mgmt“ hinterlegt. Nach dem Neustart des Dienstes wurde mit Hilfe der Software *dig* die korrekte Funktionalität der Namensauflösung im Netzwerk getestet.

Danach wurde der DHCP Server installiert. In der Konfiguration des Servers wurde ebenfalls der erstellte Schlüssel zur Aktualisierung des DNS Zonen hinterlegt. Es wurde das Feature „ddns-updates“ aktiviert, den Dienst auf das Interface der Netzwerks „i40-network“ beschränkt und die zu verteilenden DHCP Informationen wie DHCP Range, Gateway und Nameserver definiert. Die DHCP Range des Servers wurde auf die Adressen 10.0.0.2 - 10.0.0.100 beschränkt, um im späteren Verlauf einen Wechsel des DHCP Servers auf den anderen Systemen durch einen Wechsel der IP Adresse besser verdeutlichen zu können.

Die Validierung der Funktionalität des DHCP Servers wird durch die Konfiguration des DHCP Clients der VM „comp“ durchgeführt.

## Routing

Die Umsetzung der Routingfunktionalität benötigte keine zusätzliche Installation von Software. Sie wurde durch IP Forwarding und NAT mit Hilfe von *iptables* umgesetzt. Das IP Forwarding muss auf Betriebssystembasis durch Änderung einer Konfiguration<sup>2</sup> aktiviert werden. Anschließend konnten die folgenden Regeln definiert werden, um die Pakete bei Verbindungen, welche von den internen Netzen hergestellt wurden, weiterzuleiten.

```
# Routing i40-network (enp0s8 10.0.0.0) to i40-monitoring (enp0s9 10.0.10.0)
iptables -t nat -A POSTROUTING -o enp0s9 -j MASQUERADE
iptables -A FORWARD -i enp0s9 -o enp0s8 -m state --state RELATED,ESTABLISHED -j
ACCEPT
iptables -A FORWARD -i enp0s8 -o enp0s9 -j ACCEPT

# Routing from to (enp0s3 host-nat) to i40-network (enp0s8 10.0.0.0)
iptables -t nat -A POSTROUTING -o enp0s3 -j MASQUERADE
iptables -A FORWARD -i enp0s3 -o enp0s8 -m state --state RELATED,ESTABLISHED -j
ACCEPT
iptables -A FORWARD -i enp0s8 -o enp0s3 -j ACCEPT
```

Listing 6.1: Iptables

Das Interface „enp0s3“ beschreibt die Verbindung zum Hostsystem, der Adapter „enp0s8“ ist Teil des Netzwerks „i40-network“, der Adapter „enp0s9“ stellt die Schnittstelle des Routers im Netzwerk „i40-monitoring“ dar.

Um das Regelwerk bei jedem Neustart bereitzustellen wird es in einer Datei<sup>3</sup> gespeichert und durch das Softwarepaket *iptables-persistent* bei jedem Systemstart wiederhergestellt.

## Delay

Ein weiterer Bestandteil des Netzwerkstacks des Linux Kernels stellt das Tool *tc*<sup>4</sup> dar. Hiermit wurde im Netzwerkinterface des DHCP Servers ein Delay von 500ms simuliert. Dies ermöglicht im weiteren Verlauf, dass die Netzwerkpakete des Rogue DHCP Servers früher beim anzugreifenden Client eintreffen, als die Pakete des zuständigen Servers.

<sup>2</sup>IPv4 Forwarding : /etc/sysctl.conf

<sup>3</sup>iptables Konfiguration : /etc/iptables/rules.v4

<sup>4</sup>tc - traffic control

### 6.2.2 CoAP Server

Das Monitoringsystem der CoAP Komponente wurde auf der VM „comp“ umgesetzt. Nach dem Start der Maschine wurde auch hier der Hostname angepasst und die Netzwerkkonfiguration auf DHCP gesetzt. Dies stellte eine optimale Gelegenheit zum Testen des bereitgestellten DNS und DHCP Servers sowie der Routing-funktionalitäten dar.

Die Konfigurationsparameter des DHCP Servers, welche aus IP Adresse, DNS und Gateway bestehen, konnten auf dem Client mit Hilfe der Tools *ip* und *systemd-resolv* überprüft werden und somit die korrekte Funktionalität des DHCP Servers nachgewiesen werden. Die Funktionalität des DNS Servers im Netzwerk konnte auf diesem Server mit dem Tool *dig* nachgewiesen werden, indem die RR der Management-VM sowie die RR der dynamisch bezogenen Komponenten-VM abgefragt und überprüft wurden.

Zur späteren Ausführung des implementierten Überwachungssystems musste auf diesem System ein Webserver bereitgestellt werden. Dies geschieht durch das Paket *nodejs*, welches auf dem System installiert wurde.

## 6.3 Implementierung

Die Implementierung umfasst die Erweiterung und Anpassung des vorhandenen Systems sowie die Bereitstellung eines neuen Dienstes. Die vorhandene Implementierung über das Protokoll OPC UA wird angepasst, um die Kommunikation über den *Secure Channel* mit Hilfe verschiedener Sicherheitsprofile zu analysieren. Hierbei wird eine unverschlüsselte sowie verschlüsselte Kommunikation zwischen OPC UA Client und Server bereitgestellt.

Das Testsystem wurde um ein zusätzliches Monitoringsystem erweitert, welches eine CoAP Komponente überwacht. Die Ausführung dieser Architektur dient der Analyse eines weiteren IIoT Protokolls in Bezug auf die Manipulation von Netzwerktraffic und Verdeutlichung der Auswirkungen dieser Bedrohung.

### 6.3.1 OPC UA Secure Channel

Um die Verwendung verschiedener Sicherheitsrichtlinien im OPC UA *Secure Channel* bereitzustellen muss die Form des Verbindungsaufbaus der vorhandenen OPC UA Clients im Quellcode geändert werden. Die OPC UA Server des Testsystems stellen die verschiedenen Sicherheitsprofile *None*, *Basic128Rsa15*, *Basic256* und *Basic256Sha256* bereit. Diese beinhalten den für die Nachrichtenübermittlung genutzten Verschlüsselungsalgorithmus. Bei der Übertragung der Daten im *Secure Channel* wird der OPC UA *MessageSecurityMode* auf das Sicherheitsprofil angewandt. Hierbei stehen die Optionen NONE, SIGN und SIGNANDENCRYPT zur Verfügung. Im Testsystem werden keine Zertifikate verwaltet. Das Signieren der Nachrichten mit dem privaten Schlüssel des Absenders ermöglicht einen Zuwachs der Sicherheit der Netzwerkkommunikation, da dies die Integrität der Nachrichten sicherstellt. Da im Testsystem keine Verwaltung der Zertifikate stattfindet, ist kein Signieren der Nachrichten möglich. Im gegebenen System wurde jedoch die Verschlüsselung der Nachricht auf Anwendungsebene durch den Algorithmus *Basic256Sha256* implementiert.

Der Quellcode der OPC UA Clients in den Containern *scheduler* und *control* wurde so angepasst, dass eine Aktivierung und Deaktivierung der Verschlüsselung in der Konfigurationsdatei *config.json* der jeweiligen Server vorgenommen werden kann. Zur Anwendung einer Konfigurationsänderung ist ein erneutes Bauen sowie der Neustart des Containers notwendig. Die Installation und Konfiguration der Anpassungen am bestehenden Testsystem werden in den entsprechenden Readme Dateien des Repositories beschrieben und anhand von Scripten unterstützt.

### 6.3.2 CoAP Monitoringsystem

CoAP Client und Server dienen der Repräsentation eines MitM Angriffsszenarios. Beide Komponenten wurden mit minimaler Funktionalität implementiert. Für die Implementierung dieses Prototyps bietet sich der NodeJs Stack an, welcher mit *node-coap*<sup>5</sup> eine Bibliothek für das CoAP Netzwerkprotokoll bereitstellt und wenig Ressourcen benötigt.

Der CoAP Client besteht aus einem Server, welcher einen Temperatursensor einer Gießmaschine simuliert. Die Temperatur wird alle fünf Sekunden zum zuständigen

<sup>5</sup>node-coap - <https://github.com/mcollina/node-coap>

Überwachungssystem übermittelt. Die Übertragung erfolgt unverschlüsselt über das Transportprotokoll UDP, welches es möglich macht die Kommunikation im Netzwerk auch ohne Server analysieren zu können. Der Client sendet alle fünf Sekunden die Temperatur eines Sensors einer Gießmaschine zu einer in der Datei *config.json* konfigurierten Uniform Resource Locator (URL). Der CoAP Client wurde auf der VM „comp“ bereitgestellt.

Der CoAP Server stellt den Empfänger der Nachrichten dar. Er stellt ein Webinterface bereit, um die empfangenen Daten zu visualisieren. Aufgrund der Simplität der bereitgestellten Funktionalitäten wurde zur Implementierung des Systems ausschließlich ein *Pen-and-Paper-Protoyping* durchgeführt. Der CoAP Server bietet in der Datei *config.json* die Möglichkeit die IP Adresse, auf welche der Socket des Webservers gebunden wird zu bestimmen. Da das System auf der VM „mgmt“ ausgeführt wird und um dem Server im Testsystem das Netzwerk „i40-monitoring“ zuzuweisen, wurde die IP Adresse 10.0.10.1 in der Konfiguration gesetzt. Das Graphical User Interface (GUI) des Webinterface wird in Abbildung 6.1 dargestellt.

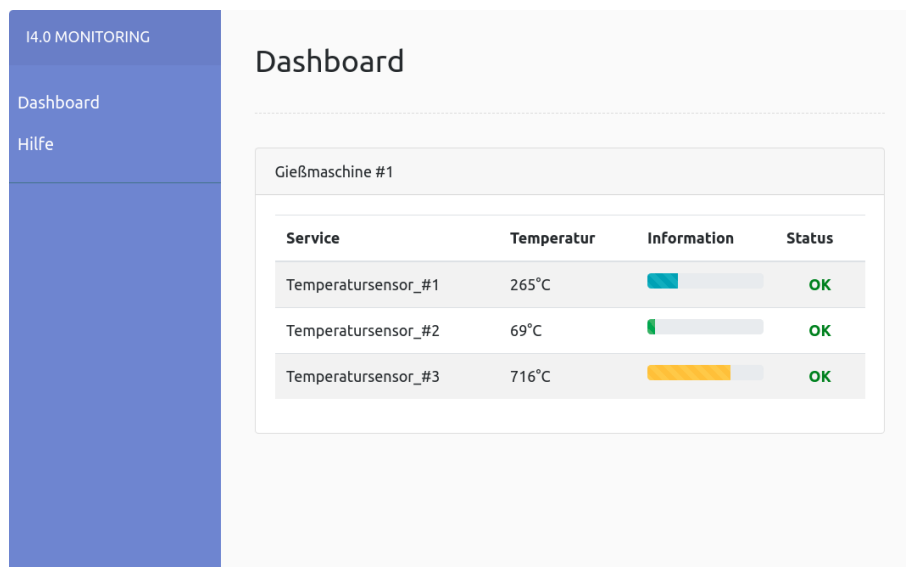


Abbildung 6.1: Screenshot I4.0 Monitoringsystem

### 6.3.3 CoAP Manipulationssystem

Als Grundlage der Implementierung des CoAP Manipulationssystems, diente der zuvor erstellte CoAP Client. Dieser wurde so geändert, dass der Zielservice, der Titel



der Nachricht sowie das Intervall, in welchem Daten zum Ziel gesendet werden sollen, beim Start des Servers über die Kommandozeile ermittelt werden können.

## 6.4 Quellcode

Der erstellte Quellcode ist im öffentlichen GitHub Repository<sup>6</sup> verfügbar. Der gesamte Quellcode befindet sich im Verzeichnis „src“ des GitHub Repositories <https://github.com/fjnalta/thesis>. Die Ordner „CoAP Client“, „CoAP Server“ und „CoAP Manipulation“ repräsentieren die Implementierungen der CoAP Komponenten und des Monitoringsystems. Im Ordner „OPCUA Security Patch“ werden die aktualisierten Dateien der OPC UA Komponenten bereitgestellt. Das genutzte Testsystem ist im Github Repository <https://github.com/sneppa/i40-testbed> zur Verfügung gestellt.

## 6.5 Dokumentation

Die Dokumentation der implementierten Komponenten, deren Inbetriebnahme und Funktionsweise findet neben der schriftlichen Ausarbeitung in den jeweiligen *Readme* Dateien des Repositories <https://github.com/fjnalta/thesis> und dessen Unterverzeichnissen statt. Die ermöglicht die Nutzung des Testsystems auch ohne Zugang zur schriftlichen Ausarbeitung.

---

<sup>6</sup><https://github.com/fjnalta/i40-testbed>



## Kapitel 7

# Validierung

Die in Kapitel 6 beschriebene, erfolgreiche Umsetzung des in Kapitel 5 erstellten Konzepts anhand der in Kapitel 4 beschriebenen Szenarien bestätigt die Bedrohungen (Abschnitt 3.1), welche auf Industrie 4.0 Netze und deren genutzte Protokolle wirken. Die in Kapitel 3 durchgeführte Analyse des in Industrie 4.0 Umgebungen genutzten Netzwerkstacks anhand des TCP/IP Referenzmodells lieferte Erkenntnisse über mögliche Angriffsvektoren bestehender Systeme, welche durch Inkompatibilität oder Ressourcenmangel ergründet werden können, sowie beim Einsatz neuer Technologien und Protokolle des IIoT, wenn diese nicht ausreichend für die benötigte Sicherheit der Datenübertragung konfiguriert sind, auftreten. Die Abhängigkeit der Industrie 4.0 Netzwerke auf der IP Netzwerktechnologie sorgt für eine Verschmelzung von Produktions-, Office- und Heimnetzen und deren Komponenten. Zur Bereitstellung der IP Netze in der Industrie werden somit auch die Dienste des IP Protokolls genutzt. Diese Dienste besitzen bekannte Schwachstellen, welche ausgenutzt werden können, um die Kommunikation im Netzwerk zu manipulieren und die Sicherheit zu beeinträchtigen.

Da eine Beibehaltung der Containerarchitektur des Systems wie in Abschnitt 5.4 beschrieben aufgrund von Softwarebeschränkungen nicht möglich war, wurde das System, um das gewünschte Ziel zu erreichen um weitere VMs erweitert. Um vollständigen Zugriff auf die von IP genutzten Dienste wie DHCP und DNS und die Netzwerkadapter der vorhandenen Komponenten zu erhalten und das System so nah als möglich an einer realen Umgebung zu orientieren, wurde die Netzwerkkommunikation des Testsystems von der Containervirtualisierung auf virtuelle Netzwerke der VMs verlagert. Dem bestehenden System wurden zwei neue VMs hinzugefügt. Eine VM, welche die Dienste DHCP und DNS im Netzwerk übernimmt und das

Routing zwischen verschiedenen Netzen bereitstellt sowie eine weitere Komponente, welche als Darstellung eines Systems in einem getrennten Netzwerk dient.

Das Testsystem konnte nach Änderung der Netzwerkarchitektur und Einführung neuer VMs um die in Kapitel 4 beschriebenen Anwendungsszenarien erfolgreich erweitert werden und somit das in Kapitel 5 erstellte Konzept validiert werden. Die Ergebnisse der Anwendungsszenarien können anhand der übertragenen Pakete mit Hilfe des Paketanalysetools Wireshark<sup>1</sup> untersucht sowie durch das GUI des CoAP Monitoringsystems visualisiert werden. Da die gewählten Anwendungsszenarien in keinem direkten Bezug zueinander stehen und keine gegenseitigen Abhängigkeiten besitzen, werden im folgenden die Ergebnisse der Umsetzung einzeln beschrieben.

Das in Abschnitt 4.1 beschriebene Anwendungsszenario beinhaltet die Erweiterung der im Testsystem vorhandenen Implementierung des OPC UA Protokolls. Nach der Erweiterung des Quellcodes um die Konfigurationsmöglichkeit der *Security Policy*, ist es möglich die Kommunikation zwischen den OPC UA Komponenten verschlüsselt und unverschlüsselt durchzuführen. Der Netzwerkverkehr der Docker Container des Testsystems wird über eine Software Bridge durchgeführt. Durch die Paketanalyse des Verkehrs an dieser Stelle ist es möglich die Kommunikation der Komponenten miteinander zu untersuchen.

Die Abbildungen Abbildung 7.1 und Abbildung 7.2 zeigen die Ergebnisse der Paketanalyse mit der *Security Policies* „none“. Der OPC UA Client des Containers „control“, welcher die Liste der im Netzwerk vorhandenen OPC UA Server abfragt besitzt die IP-Adresse 172.18.0.6, der Container des *Discoveryserver* die IP-Adresse 172.18.0.2. In Abbildung 7.1 ist der Request des Containers „control“ zum Aufbau eines *Secure Channel* dargestellt. Die verwendete *Security Policy* ist im Bereich „SecurityPolicyUri“ des OPC UA Protokolls beschrieben. In Abbildung 7.2 ist die Antwort des OPC UA Discovery Servers im *Secure Channel* dargestellt. Es ist zu erkennen, dass die Kommunikation, obwohl der *Secure Channel* genutzt wird, nicht verschlüsselt ist. Die Endpunkte sowie deren Adressen und bereitgestellte Methoden können aus den Paketen ausgelesen werden.

In den Darstellungen Abbildung 7.3 und Abbildung 7.4 wird erneut das Abfragen des Containers „control“ aller im Netzwerk vorhandenen Endpunkte beim OPC UA *Discoveryserver* mit Hilfe eines Request und der dazugehörigen Response beschrieben, jedoch wird das Sicherheitsprofil „Basic256Sha256“ mit dem *MessageSecu-*

---

<sup>1</sup>Wireshark - <https://www.wireshark.org/>

urityMode „SIGNANDENCRYPT“ genutzt. Der OPC UA Client besitzt die IP-Adresse 172.18.0.7. Der *Discoveryserver* weiterhin die Adresse 172.18.0.2. Es ist zu erkennen, dass der gesamte Netzwerkverkehr im *Secure Channel* durch den Algorithmus SHA256 verschlüsselt wurde.

No.	Time	Source	Destination	Protocol	Length	Info
15	2.808843433	172.18.0.6	172.18.0.2	OpcUa	128	Hello message
17	2.809097044	172.18.0.2	172.18.0.6	OpcUa	94	Acknowledge message
19	2.809440726	172.18.0.6	172.18.0.2	OpcUa	198	OpenSecureChannel message: OpenSecureChannelRequest
20	2.809904144	172.18.0.2	172.18.0.6	OpcUa	201	OpenSecureChannel message: OpenSecureChannelResponse
21	2.811656716	172.18.0.6	172.18.0.2	OpcUa	165	UA Secure Conversation Message: FindServersRequest
22	2.814352216	172.18.0.2	172.18.0.6	OpcUa	657	UA Secure Conversation Message: FindServersResponse
25	2.815424419	172.18.0.6	172.18.0.2	OpcUa	123	CloseSecureChannel message: CloseSecureChannelRequest

▶ Frame 19: 198 bytes on wire (1584 bits), 198 bytes captured (1584 bits) on interface 0

▶ Ethernet II, Src: 02:42:ac:12:00:06 (02:42:ac:12:00:06), Dst: 02:42:ac:12:00:02 (02:42:ac:12:00:02)

▶ Internet Protocol Version 4, Src: 172.18.0.6, Dst: 172.18.0.2

▶ Transmission Control Protocol, Src Port: 42854, Dst Port: 4840, Seq: 63, Ack: 29, Len: 132

▼ OpcUa Binary Protocol

Message Type: OPN

Chunk Type: F

Message Size: 132

SecureChannelId: 0

SecurityPolicyUri: http://opcfoundation.org/UA/SecurityPolicy#None

SenderCertificate: <MISSING>[OpcUa Null ByteString]

ReceiverCertificateThumbprint: <MISSING>[OpcUa Null ByteString]

SequenceNumber: 1

RequestId: 1

▼ Message : Encodeable Object

▶ TypeId : ExpandedNodeId

▶ OpenSecureChannelRequest

Abbildung 7.1: Paketanalyse OPC UA - Client Request bei Sicherheitsprofil „none“

No.	Time	Source	Destination	Protocol	Length	Info
15	2.808843433	172.18.0.6	172.18.0.2	OpcUa	128	Hello message
17	2.809097044	172.18.0.2	172.18.0.6	OpcUa	94	Acknowledge message
19	2.809440726	172.18.0.6	172.18.0.2	OpcUa	198	OpenSecureChannel message: OpenSecureChannelRequest
20	2.809904144	172.18.0.2	172.18.0.6	OpcUa	201	OpenSecureChannel message: OpenSecureChannelResponse
21	2.811656716	172.18.0.6	172.18.0.2	OpcUa	165	UA Secure Conversation Message: FindServersRequest
22	2.814352216	172.18.0.2	172.18.0.6	OpcUa	657	UA Secure Conversation Message: FindServersResponse
25	2.815424419	172.18.0.6	172.18.0.2	OpcUa	123	CloseSecureChannel message: CloseSecureChannelRequest

▼ OpcUa Service : Encodeable Object

▶ TypeId : ExpandedNodeId

▼ FindServersResponse

▶ ResponseHeader: ResponseHeader

▼ Servers: Array of ApplicationDescription

ArraySize: 4

▼ [0]: ApplicationDescription

ApplicationUri: urn:DiscoveryServer

ProductUri: DiscoveryServer

ApplicationName: LocalizedText

▶ EncodingMask: 0x02, has text

Text: DiscoveryServer

ApplicationType: DiscoveryServer (0x00000003)

GatewayServerUri: [OpcUa Empty String]

DiscoveryProfileUri: [OpcUa Empty String]

▶ DiscoveryUrls: Array of String

▼ [1]: ApplicationDescription

ApplicationUri: urn:SERVER\_5b2f9229d8dbfe0008ce2aff

ProductUri: SERVER\_5b2f9229d8dbfe0008ce2aff

ApplicationName: LocalizedText

▶ EncodingMask: 0x03, has locale information, has text

Locale: en

Text: Verpack

ApplicationType: Server (0x00000000)

GatewayServerUri: [OpcUa Null String]

DiscoveryProfileUri: [OpcUa Empty String]

▶ DiscoveryUrls: Array of String

Abbildung 7.2: Paketanalyse OPC UA - Server Response bei Sicherheitsprofil „none“

Das in Abschnitt 4.2 beschriebene Anwendungsszenario des MitM Angriffs kann ebenfalls mit Hilfe eine Paketanalyse durchgeführt und validiert werden. Hierzu müssen die Pakete der Netzwerkschnittstelle des Netzwerks „i40-network“ der VM „i40“ abgehört werden. Nach Aktivierung des Rogue DHCP Servers, der Aktualisierung der DHCP Konfiguration des Netzwerkadapters der VM „comp“ und der

## 7 Validierung

No.	Time	Source	Destination	Protocol	Length	Info
171	20.16426180	172.18.0.7	172.18.0.2	OpcUa	128	Hello message
173	20.16449744	172.18.0.2	172.18.0.7	OpcUa	94	Acknowledge message
175	20.16874817	172.18.0.7	172.18.0.2	OpcUa	1867	OpenSecureChannel message: ServiceId 0
177	20.17661573	172.18.0.2	172.18.0.7	OpcUa	1867	OpenSecureChannel message: ServiceId 0
179	20.18236768	172.18.0.7	172.18.0.2	OpcUa	210	UA Secure Conversation Message: ServiceId 0
180	20.18540794	172.18.0.2	172.18.0.7	OpcUa	690	UA Secure Conversation Message: ServiceId 0
183	20.18632026	172.18.0.7	172.18.0.2	OpcUa	162	CloseSecureChannel message: ServiceId 0
▶ Frame 175: 1867 bytes on wire (14936 bits), 1867 bytes captured (14936 bits) on interface 0						
▶ Ethernet II, Src: 02:42:ac:12:00:07 (02:42:ac:12:00:07), Dst: 02:42:ac:12:00:02 (02:42:ac:12:00:02)						
▶ Internet Protocol Version 4, Src: 172.18.0.7, Dst: 172.18.0.2						
▶ Transmission Control Protocol, Src Port: 36366, Dst Port: 4840, Seq: 63, Ack: 29, Len: 1801						
▼ OpcUa Binary Protocol						
Message Type: OPN						
Chunk Type: F						
Message Size: 1801						
SecureChannelId: 0						
SecurityPolicyUri: http://opcfoundation.org/UA/SecurityPolicy#Basic256Sha256						
SenderCertificate: 308204a030820388a003020102020900a9bbbd8145e619d6...						
ReceiverCertificateThumbprint: c656d2b62e679d3a242453e9bc4bb297c4d9ab3e						
SequenceNumber: 2906887337						
RequestId: 4079820223						
▼ Message : Encodeable Object						
▶ TypeId : ExpandedNodeId						

**Abbildung 7.3:** Paketanalyse OPC UA - Client Request bei Sicherheitsprofil „Basic256Sha256“ und MessageSecurityMode „SIGNANDENCRYPT“

No.	Time	Source	Destination	Protocol	Length	Info
171	20.16426180	172.18.0.7	172.18.0.2	OpcUa	128	Hello message
173	20.16449744	172.18.0.2	172.18.0.7	OpcUa	94	Acknowledge message
175	20.16874817	172.18.0.7	172.18.0.2	OpcUa	1867	OpenSecureChannel message: ServiceId 0
177	20.17661573	172.18.0.2	172.18.0.7	OpcUa	1867	OpenSecureChannel message: ServiceId 0
179	20.18236768	172.18.0.7	172.18.0.2	OpcUa	210	UA Secure Conversation Message: ServiceId 0
180	20.18540794	172.18.0.2	172.18.0.7	OpcUa	690	UA Secure Conversation Message: ServiceId 0
183	20.18632026	172.18.0.7	172.18.0.2	OpcUa	162	CloseSecureChannel message: ServiceId 0
▶ Frame 180: 690 bytes on wire (5520 bits), 690 bytes captured (5520 bits) on interface 0						
▶ Ethernet II, Src: 02:42:ac:12:00:02 (02:42:ac:12:00:02), Dst: 02:42:ac:12:00:07 (02:42:ac:12:00:07)						
▶ Internet Protocol Version 4, Src: 172.18.0.2, Dst: 172.18.0.7						
▶ Transmission Control Protocol, Src Port: 4840, Dst Port: 36366, Seq: 1830, Ack: 2008, Len: 624						
▼ OpcUa Binary Protocol						
Message Type: MSG						
Chunk Type: F						
Message Size: 624						
SecureChannelId: 33						
Security Token Id: 1						
Security Sequence Number: 1215344638						
Security RequestId: 1824677289						
▼ OpcUa Service : Encodeable Object						
▶ TypeId : ExpandedNodeId						

**Abbildung 7.4:** Paketanalyse OPC UA - Server Response bei Sicherheitsprofil „Basic256Sha256“ und MessageSecurityMode „SIGNANDENCRYPT“

gleichzeitigen Änderung des Standardgateways ist es möglich die Netzwerkpakete des in der VM simulierten Temperatursensors und dessen Empfängeradresse mitzulesen. Abbildung 7.5 stellt den Zugriff auf die Netzwerkpakete, welche für ein anderes Netz bestimmt sind, dar. Es ist zu erkennen, dass die Pakete von der IP Adresse 10.0.0.100 (IP Adresse der VM „comp“ in der Rogue DHCP Range) zur Adresse 10.0.10.1 (CoAP Monitoringsystem) bestimmt sind. Das System „i40“, auf welchem die Pakete analysiert werden, besitzt die IP Adresse 10.0.0.254, wie im unteren Teil der Darstellung zu erkennen ist. Es leitet die Pakete weiter und dient als MitM.

Das Anwendungsszenario der Manipulation des Monitoringsystems (Abschnitt 4.3) dient der Visualisierung der Auswirkungen eines MitM Angriffs und der Darstellung eines Angriffsszenarios durch die gewonnen Daten. Die durch die MitM ge-

No.	Time	Source	Destination	Protocol	Length	Info
2	1.726842037	10.0.0.100	10.0.10.1	CoAP	111	CON, MID:62426, GET, TKN:4d b1 25 b3, /moldingmachine/1
3	1.726899224	10.0.0.100	10.0.10.1	CoAP	111	CON, MID:62426, GET, TKN:4d b1 25 b3, /moldingmachine/1

```

i40@i40-VirtualBox: ~
Datei Bearbeiten Ansicht Suchen Terminal Hilfe
i40@i40-VirtualBox:~$ ip a
1: lo: <LOOPBACK,UP,LOWER_UP> mtu 65536 qdisc noqueue state UNKNOWN group default qlen 1000
    link/loopback 00:00:00:00:00:00 brd 00:00:00:00:00:00
    inet 127.0.0.1/8 scope host lo
        valid_lft forever preferred_lft forever
    inet6 ::1/128 scope host
        valid_lft forever preferred_lft forever
2: enp0s8: <BROADCAST,MULTICAST,UP,LOWER_UP> mtu 1500 qdisc fq_codel state UP group default qlen 1000
    link/ether 08:00:27:94:1b:5e brd ff:ff:ff:ff:ff:ff
    inet 10.0.0.254/24 brd 10.0.0.255 scope global noprefixroute enp0s8
        valid_lft forever preferred_lft forever
  
```

Abbildung 7.5: Paketanalyse Rogue DHCP - Nachweis des Man-in-the-Middle

wonnene Empfängeradresse des CoAP Servers wird genutzt, um diesem selbst Pakete unter dem selben Topic zuzusenden und somit die Temperaturdaten des Sensors im Monitoringsystem zu beeinflussen. Dem Monitoringsystem werden hohe Temperaturen des Sensors zugesendet, um dort einen Alarm auszulösen und somit den Produktionsprozess zu manipulieren. Die Funktionalität dieses Eingriffs kann anhand der Visualisierungen im Monitoringsystem nachvollzogen werden und wird in Abbildung 7.6 dargestellt.

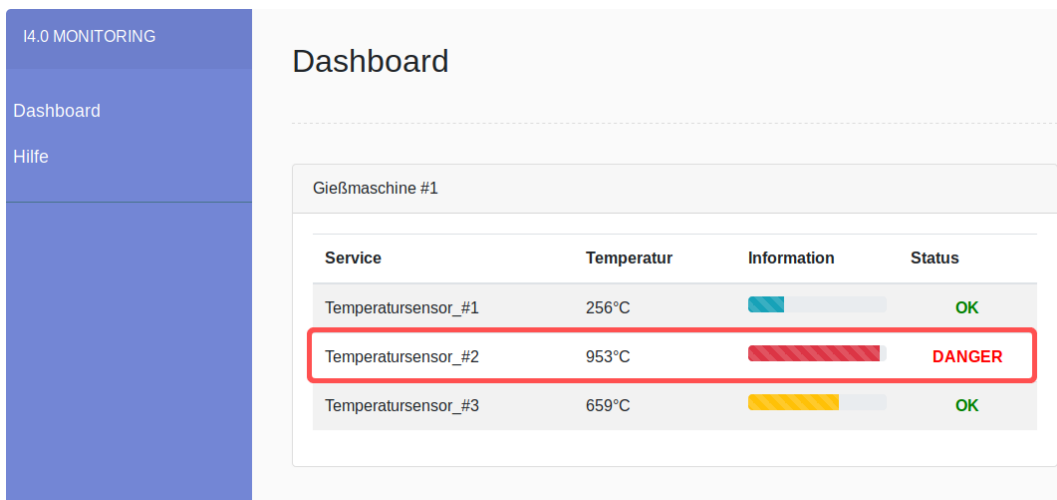


Abbildung 7.6: Manipulation des Monitoringsystems





## Kapitel 8

### Fazit

Die Ziele der durchgeführten Arbeiten bestanden zum Einen aus der Analyse der Netzwerkkommunikation in Industrie 4.0 Netzen und zum Anderen aus der Erweiterung des Testsystems anhand der Ergebnisse der Analyse. Die Darstellung der Ergebnisse der Analyse durch verschiedene Anwendungsszenarien war mit Hilfe des vorhandenen Softwarestacks im Testsystem nur begrenzt möglich. Um das Angriffsszenario eines MitM Angriffs mit Hilfe eines Rogue DHCP Servers darstellen zu können, wurde die Netzwerkkommunikation der in den Ergebnissen dargestellten Komponenten durch die Virtualisierung von zwei Netzwerken umgesetzt. Die Netzwerke beinhalten zwei weitere VMs welche die verschiedenen Komponenten des Netzwerks repräsentieren. Diese bestehen aus DHCP, DNS, CoAP Client und Server sowie Manipulations- und Monitoringsystem. Der DHCP stellt die Netzwerkkonfiguration bereit und ermöglicht den Betrieb der weiteren Komponenten. Durch die eigene Verwaltung des DNS Servers ist es in Zukunft möglich weitere Anwendungsszenarien am Testsystem darzustellen. Dazu gehören u. a. der in Abschnitt 3.6.1 beschriebene Angriff der DNS Amplification durch die Generierung eigener Zonen mit extrem vielen RR, um eine möglichst große DNS Response zu provozieren sowie das DNS Spoofing und die Analyse der Sicherheitsmechanismen von DNSSEC. Die CoAP Komponenten werden zur Durchführung und Visualisierung der Kommunikation im Netzwerk genutzt.

Die Angriffsszenarien sowie die Änderungen am Testsystem wurden zuerst konzipiert und anschließend durchgeführt. Die Erweiterung des Testsystems nimmt, mit Ausnahme der Implementierung eines Verschlüsselungsverfahrens während dem Nachrichtenaustausch der Komponenten, keinen Einfluss auf den bisher implementierten Produktionsprozess und dessen Containervirtualisierung.

Die Skalierbarkeit des Testsystems bleibt hinsichtlich weiterer dargestellter Komponenten und Prozesse durch das Protokoll OPC UA sowie der Erweiterung des virtuellen Netzwerks um weitere VMs und zur Analyse neuer Technologien erhalten.

Die Analyse der Kommunikation in Industrie 4.0 Umgebungen ergab, dass die Übertragung der Daten in diesen Umgebungen auf dem Protokoll IP basiert. In Verbindung mit dem Protokoll IP werden die Transportprotokolle TCP und UDP genutzt. Auf diesem vorhandenen Netzwerkstack setzen die beispielhaft analysierten Protokolle der Industrie 4.0 wie OPC UA, DDS und CoAP auf. Die Protokolle OPC UA und DDS erfüllen die Anforderungen der RAMI4.0 bzw. IIRA und wurden nach dem Prinzip *Security by Design* entwickelt. Diese Protokolle sind abstrakt beschrieben, um den verschiedenen Anforderungen der Industrie 4.0 gerecht zu werden und durch den Verzicht auf Features Latenzen zu optimieren oder den Ressourcenverbrauch minimieren zu können. Diese Konfigurationsmöglichkeiten müssen während der Integration der Komponenten beachtet werden und u. U. durch weitere Sicherheitsmaßnahmen wie der Abschottung des Netzes unterstützt werden, um die IT-Sicherheit zu gewährleisten.

Die im Rahmen dieser Arbeit gewählten Anwendungsszenarien sollen die mit der geschichteten Kommunikation im Netzwerk einhergehenden Probleme anhand von bekannten Bedrohungsformen der niedrigen Schichten des TCP/IP Referenzmodells verdeutlichen und die Auswirkungen während der Nutzung von Industrie 4.0 Protokollen auf der Anwendungsschicht darstellen. Das Testsystem ermöglicht es dies mit Hilfe der eingeführten Konfigurationsparameter und des bereitgestellten GUI.

Die durchgeführte Analyse der Netzwerkkommunikation beschränkt sich auf beispielhafte Protokolle und deren Dienste als Vertreter der Schichten im TCP/IP Referenzmodell. In den heterogenen Industrie 4.0 Umgebungen werden weitere Technologien wie MQTT, Lightweight Directory Access Protocol (LDAP) und TLS bzw. DTLS genutzt oder Authentifizierungsmechanismen wie Open Authorization (OAuth) und ein Zertifikatsmanagement mit Hilfe einer PKI bereitgestellt. Diese wurden im Rahmen der Arbeit nicht beschrieben und bieten Ansatzpunkte für nachfolgende Arbeiten. Durch die Implementierung eines Authentifizierungsmechanismus wäre die Möglichkeit gegeben, die Angriffsform des *Bruteforce* sowie weiterer Techniken des Herausfinden von Benutzerdaten in Bezug auf das Protokoll OPC UA zu untersuchen. Des Weiteren setzt das genutzte Testsystem die Kommu-

nikation mit IPv4 voraus. Dies ist für heutige Industrienetzwerke noch zutreffend, jedoch wird eine stetige Migration zum Protokoll IPv6 stattfinden. Eine Migration des Systems zum Protokoll IPv6 stellt ebenfalls eine Erweiterung des Testsystems dar.

Der Prozess der 4. industriellen Revolution ist nicht abgeschlossen. Es ist abzuwarten, welche Technologien sich in Zukunft, vor allem im Bereich der M2M Kommunikation, in der Industrie etablieren werden. Das Testsystem bietet mit seiner gekapselten Umgebung und der Nutzung von virtuellen Maschinen gute Voraussetzungen für zukünftige Technologien anwendbar und erweiterbar zu sein.



# Abkürzungsverzeichnis

<b>IEEE</b>	Institute of Electrical and Electronics Engineers
<b>ISO</b>	International Organization for Standardization
<b>OSI</b>	Open Systems Interconnection Model
<b>IPC</b>	Industrie PC
<b>SPS</b>	speicherprogrammierbare Steuerungen
<b>SCADA</b>	Supervisory Control and Data Acquisition
<b>ERP</b>	Enterprise Resource Planning
<b>MES</b>	Manufacturing Execution System
<b>RAMI4.0</b>	Referenzarchitekturmodell Industrie 4.0
<b>IIRA</b>	Industrial Internet Reference Architecture
<b>IIAF</b>	Industrial Internet Architecture Framework
<b>IIC</b>	Industrial Internet Consortium
<b>IoT</b>	Internet of Things
<b>IIoT</b>	Industrial Internet of Things
<b>IT</b>	Informationstechnik
<b>CPS</b>	Cyber-physisches System
<b>OPC UA</b>	Open Platform Communications Unified Architecture
<b>M2M</b>	Machine to Machine
<b>QoS</b>	Quality of Service
<b>ICS</b>	Industrial Control System
<b>REST</b>	Representational State Transfer
<b>IETF</b>	Internet Engineering Task Force
<b>MAN</b>	Metropolitan Area Network
<b>WAN</b>	Wide Area Network
<b>GAN</b>	Global Area Network

<b>OPC COM</b>	Open Platform Communications
<b>IIS</b>	Industrial Internet Systems
<b>HRG</b>	Harvard Research Group
<b>AEC</b>	Availability Environment Classification
<b>DA</b>	Data Access
<b>A&amp;E</b>	Alarms and Events
<b>HDA</b>	Historical Data Access
<b>PER</b>	Packet Error Rate
<b>IP</b>	Internet Protocol
<b>TCP</b>	Transmission Control Protocol
<b>DNS</b>	Domain Name System
<b>UDP</b>	User Datagram Protocol
<b>SOA</b>	Service Oriented Architecture
<b>OMG</b>	Open Management Group
<b>DDS</b>	Data Distribution Services
<b>HTTP</b>	Hypertext Transfer Protocol
<b>HTTPS</b>	Hypertext Transfer Protocol Secure
<b>SOAP</b>	Simple Object Access Protocol
<b>CoAP</b>	Constrained Application Protocol
<b>XMPP</b>	Extensible Messaging and Presence Protocol
<b>MQTT</b>	Message Queue Telemetry Transport
<b>AMQP</b>	Advanced Message Queuing Protocol
<b>VM</b>	virtuelle Maschine
<b>PKI</b>	Public-Key Infrastructure
<b>BSI</b>	Bundesamt für Sicherheit in der Informationstechnik
<b>DoS</b>	Denial of Service
<b>DDoS</b>	Distributed Denial of Service
<b>IDS</b>	Intrusion Detection System
<b>IEC</b>	International Electrotechnical Commission
<b>ARP</b>	Address Resolution Protocol
<b>DHCP</b>	Dynamic Host Configuration Protocol
<b>RFC</b>	Request for Comments

<b>IETF</b>	Internet Engineering Task Force
<b>RR</b>	Resource Record
<b>BAF</b>	Base Amplification Factor
<b>DRDoS</b>	Distributed-Reflected-Denial-of-Service
<b>VLAN</b>	Virtual Local Area Network
<b>IPAM</b>	IP Address Management
<b>SYN</b>	synchronise
<b>ACK</b>	acknowledge
<b>SYN-ACK</b>	synchronise-acknowledge
<b>FIN</b>	final
<b>VoIP</b>	Voice over IP
<b>SNMP</b>	Simple Network Management Protocol
<b>TLS</b>	Transport Layer Security
<b>DTLS</b>	Datagram Transport Layer Security
<b>SMTP</b>	Simple Mail Transfer Protocol
<b>MOM</b>	Message oriented Middleware
<b>ACL</b>	Access Control List
<b>URL</b>	Uniform Resource Locator
<b>URI</b>	Uniform Resource Identifier
<b>UA</b>	Unified Architecture
<b>XML</b>	Extensible Markup Language
<b>CA</b>	Certificate Authority
<b>RA</b>	Registration Authority
<b>VA</b>	Validation Authority
<b>UACP</b>	OPC UA Connection Protocol
<b>IPsec</b>	Internet Protocol Security
<b>USB</b>	Universal Serial Bus
<b>AH</b>	Authentication Header
<b>ESP</b>	Encapsulating Security Payload
<b>VPN</b>	Virtual Private Network
<b>SSL</b>	Secure Sockets Layer
<b>TSIG</b>	Transaction Signature

<b>WS</b>	Webservice
<b>ISP</b>	Internet Service Provider
<b>LTS</b>	Long Term Support
<b>MitM</b>	Man in the Middle
<b>GUI</b>	Graphical User Interface
<b>UML</b>	Unified Modeling Language
<b>NAT</b>	Network Address Translation
<b>DNSSEC</b>	Domain Name System Security Extensions
<b>MAC</b>	Media Access Control
<b>OAuth</b>	Open Authorization
<b>LDAP</b>	Lightweight Directory Access Protocol



# Tabellenverzeichnis

2.1	Availability Environment Classification nach Harvard Research Group	19
2.2	Schichten des TCP/IP Referenzmodells . . . . .	21
3.1	Angriffsszenarien und Ebenen des TCP/IP Referenzmodells . . . .	50



# Abbildungsverzeichnis

2.1	Kommunikationsbeziehungen in einer Industrie 4.0 Umgebung . . .	5
2.2	Automatisierungspyramide . . . . .	6
2.3	Das Internet der Dinge . . . . .	7
2.4	RAMI 4.0 . . . . .	10
2.5	Die Grundebenen der IIRA . . . . .	11
2.6	OPC UA Spezifikation . . . . .	15
2.7	OPC UA Client-Server Architektur . . . . .	15
3.1	ARP Paketformat . . . . .	30
3.2	TCP Verbindungsaufbau . . . . .	34
3.3	Sockstress Sequenzdiagramm . . . . .	37
3.4	Wireshark - ID im DNS Header . . . . .	39
3.5	Schematisches Beispiel: DNS Amplification . . . . .	40
3.6	DNS Amplification am Beispiel von isc.org . . . . .	42
3.7	Netzlast bei DNS Amplification . . . . .	43
3.8	OPC UA Security Architecture . . . . .	45
3.9	OPC UA Kommunikationswege . . . . .	46
3.10	CoAP Message Format . . . . .	49
5.1	Netzwerkinfrastruktur . . . . .	56
5.2	Virtuelle Maschinen und Dienste . . . . .	59
5.3	Routerkomponente . . . . .	60
5.4	DHCP und DNS Server . . . . .	61
5.5	CoAP Client . . . . .	62
5.6	CoAP Server . . . . .	62
5.7	Rogue DHCP Server . . . . .	62
5.8	CoAP Manipulationssystem . . . . .	63
5.9	Dynamische Hostkonfiguration mit DHCP und DNS . . . . .	65
5.10	Rekursive DNS Namensauflösung . . . . .	66
5.11	Iterative DNS Namensauflösung . . . . .	66
5.12	Initialisierung von CoAP Client und Kommunikation zwischen CoAP Client und CoAP Server . . . . .	67
5.13	Umleitung der Netzwerkkommunikation durch Manipulation des Gateways . . . . .	68

6.1	Screenshot I4.0 Monitoringsystem . . . . .	78
7.1	Paketanalyse OPC UA - Client Request bei Sicherheitsprofil „none“	83
7.2	Paketanalyse OPC UA - Server Response bei Sicherheitsprofil „none“	83
7.3	Paketanalyse OPC UA - Client Request bei Sicherheitsprofil „Basic256Sha256“ und MessageSecurityMode „SIGNANDENCRYPT“	84
7.4	Paketanalyse OPC UA - Server Response bei Sicherheitsprofil „Basic256Sha256“ und MessageSecurityMode „SIGNANDENCRYPT“	84
7.5	Paketanalyse Rogue DHCP - Nachweis des Man-in-the-Middle . . .	85
7.6	Manipulation des Monitoringsystems . . . . .	85

# Listings

6.1	Iptables . . . . .	75
-----	--------------------	----



# Literatur

- Bundesamt für Sicherheit in der Informationstechnik, BSI (2016). *Industrial Control System Security*.
- Bundesministerium für Wirtschaft und Energie, BMWi (2016a). „Netzkommunikation für Industrie 4.0“. In: *Publikationen der Plattform Industrie 4.0*.
- (2016b). *Technischer Überblick: Sichere unternehmensübergreifende Kommunikation*.
- Burke, Manfred (2013). *Rechnernetze*. Springer.
- Christoph Meinel, Harald Sack (2011). *Internetworking - Technische Grundlagen und Anwendung*. Springer.
- Dieter Spath, Oliver Ganschar, Stefan Gerlach, Moritz Hämmerle, Tobias Krause, Sebastian Schlund (2013). „Produktionsarbeit der Zukunft - Industrie 4.0“. In: *Fraunhofer Institut für Arbeitswirtschaft und Organisation IAO*.
- DIN SPEC (2016). *DIN SPEC 91345:2016-04: Referenzarchitekturmodell Industrie 4.0 (RAMI4.0)*.
- Dr.-Ing. Mike Heidrich, Dr. Jesse Jijun Lui (2016). „Industrial Internet of Things: Referenzarchitektur für die Kommunikation“. In: *Fraunhofer Institut für Eingebettete Systeme und Kommunikationstechnik ESK*.
- Drath, Rainer (2014). „Industrie 4.0 - eine Einführung“. In: *openautomation.de*.  
URL:  
[https://www.openautomation.de/fileadmin/user\\_upload/Stories/Bilder/oa\\_2014/oa\\_3/oa\\_3\\_14\\_ABB.pdf](https://www.openautomation.de/fileadmin/user_upload/Stories/Bilder/oa_2014/oa_3/oa_3_14_ABB.pdf).
- DTAG, Deutsche Telekom AG (2016). *Sicherheit im Industriellen Internet der Dinge*.
- Harvard Research Group, Inc. (2003). *Availability Environment Classifications (AEC)*. URL: <http://www.hrgresearch.com/pdf/AEC%20Defintions.pdf>.

- Hoppe, Stefan (2018). *OPC Foundation announces OPC UA PubSub release as important extension of OPC UA communication platform*. URL: <https://opcfoundation.org/news/press-releases/opc-foundation-announces-opc-ua-pubsub-release-important-extension-opc-ua-communication-platform/>.
- Industrial Internet Consortium, IIC (2017a). *The Industrial Internet of Things - Volume G1: Reference Architecture*.
- (2017b). *The Industrial Internet of Things - Volume G4: Security Framework*. URL: [https://www.iiconsortium.org/pdf/IIC\\_PUB\\_G4\\_V1.00\\_PB.pdf](https://www.iiconsortium.org/pdf/IIC_PUB_G4_V1.00_PB.pdf).
- Lass Sander, Kotarski David (2014). „IT-Sicherheit als besondere Herausforderung von Industrie 4.0“. In: *Kersten W, Koller H, Lödding, H (ed) Industrie 4.0: Wie intelligente Vernetzung und kognitive Systeme unsere Arbeit verändern*.
- Ledermüller, Thomas (2009). *DNS-Sicherheit im Rahmen eines IT-Grundschutz-Bausteins*.
- Olsen, Camilla (2003). „Security issues relating to the use of UDP“. In: *Global Information Assurance Certification Paper*.
- OPC Foundation (2014). *OPC Unified Architecture - Wegbereiter der 4. industriellen (R)Evolution*.
- (2018a). *OPC Unified Architecture Specification Part 1: Overview and Concepts*. URL: <https://opcfoundation.org/UA/Part1/>.
- (2018b). *OPC Unified Architecture Specification Part 2: Security Model*. URL: <https://opcfoundation.org/UA/Part2/>.
- (2018c). *OPC Unified Architecture Specification Part 3: Address Space Model*. URL: <https://opcfoundation.org/UA/Part3/>.
- (2018d). *OPC Unified Architecture Specification Part 5: Information Model*. URL: <https://opcfoundation.org/UA/Part5/>.
- (2018e). *OPC Unified Architecture Specification Part 7: Profiles*. URL: <https://opcfoundation.org/UA/Part7/>.
- Plattform Industrie 4.0 (2015). *Umsetzungsstrategie Industrie 4.0*.
- Plattform Industrie 4.0 (2016a). „Reference Architectural Model Industrie 4.0 (RAMI 4.0): An Introduction“. In: *Publikationen der Plattform Industrie 4.0*. URL: [https://www.plattform-i40.de/I40/Redaktion/DE/Downloads/Publikation/rami40-eine-einfuehrung.pdf?\\_\\_blob=publicationFile&v=9](https://www.plattform-i40.de/I40/Redaktion/DE/Downloads/Publikation/rami40-eine-einfuehrung.pdf?__blob=publicationFile&v=9).



- (2016b). „Technischer Überblick: Sichere Identitäten“. In: *Publikationen der Plattform Industrie 4.0*. URL: [https://www.plattform-i40.de/I40/Redaktion/DE/Downloads/Publikation/sichere-identitaeten.pdf?\\_\\_blob=publicationFile&v=11](https://www.plattform-i40.de/I40/Redaktion/DE/Downloads/Publikation/sichere-identitaeten.pdf?__blob=publicationFile&v=11).
  - (2017). „Sichere Kommunikation für Industrie 4.0“. In: *Publikationen der Plattform Industrie 4.0*. URL: [https://www.plattform-i40.de/I40/Redaktion/DE/Downloads/Publikation/sichere-kommunikation-i40.pdf?\\_\\_blob=publicationFile&v=6](https://www.plattform-i40.de/I40/Redaktion/DE/Downloads/Publikation/sichere-kommunikation-i40.pdf?__blob=publicationFile&v=6).
- Prof. Dr. Henning Kagermann, Frank Riemensperger, Dr. Peter Weckesser, Prof. Dr. Gesche Joost, Bernd Leukert, Prof. Dr. Wolfgang Wahlster (2016). *Smart Service Welt - Digitale Serviceplattformen*.
- Schleupner, Linus (2016). *Sichere Kommunikation im Umfeld von Industrie 4.0*. Springer.
- Torscht, Dipl.-Ing. Robert (2014). „Kommunikation bei Industrie 4.0“. In: *SPS-Magazin, Fachzeitschrift für Automatisierungstechnik*.
- Trapickin, Roman (2013). *Constrained Application Protocol (CoAP): Einführung und Überblick*.
- W.A. Halang, H. Unger (Hrsg.) (2016). *Internet der Dinge*. Springer.
- Weber, Martin (2018). *Ein Konzept für ein virtuelles Security Testbed für eine Industrie 4.0 Umgebung mit prototypischer Implementierung*.

